

**YILDIZ TEKNİK ÜNİVERSİTESİ
FEN BİLİMLERİ ENSTİTÜSÜ**

**5,6-DİAMINO-1,10-FENANTROLİNDEN YENİ
vic-DİOKSİM LİGANDLARI ve BAZI METAL
KOMPLEKSLERİNİN SENTEZİ ve
KARAKTERİZASYONU**

Kimyager İbrahim ERDEN

**F.B.E. Kimya Anabilim Dalı Anorganik Kimya Programında
Hazırlanan**

106705

YÜKSEK LİSANS TEZİ

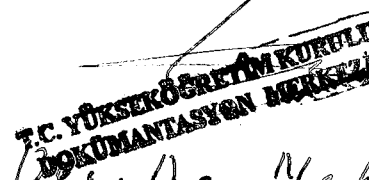


Prof. Dr. Ahmet Güll

Tez Danışmanı: Doç. Dr. Nebahat Demirhan


Prof. Dr. Uluvi Arciata

İSTANBUL, 2001


**T.C. YÜKSEKÖĞRETİM KURULU
DOKUMANTASYON MERKEZİ**

**Doç. Dr. Nebahat
Demirhan**

İÇİNDEKİLER

	Sayfa
KISALTMA LİSTESİ	iv
ŞEKİL LİSTESİ	v
ÇİZELGE LİSTESİ.....	vi
ÖNSÖZ	vii
ÖZET	viii
ABSTRACT	ix
1. GİRİŞ	1
2. GENEL BİLGİ	3
2.1 Oksimler	3
2.1.1 Oksimlerin Özellikleri	4
2.1.2 Oksimlerin Yapısı ve İzomerleri	6
2.1.3 Oksimlerin Sentez Yöntemleri	7
2.1.4 Oksimlerin Kimyasal Özellikler	12
2.1.5 Oksim Ligandları ve Kompleksleri	20
2.1.6 Oksimlerin Spektral Özellikleri	25
2.1.7 Oksimlerin ve Oksim Komplekslerinin Kullanımı.....	26
3 KULLANILAN KİMYASAL MADDELER VE CİHAZLAR	
3.1 Kimyasal Maddeler	28
3.2 Çözeltiler	28
3.3 Kullanılan Cihazlar.....	28
3.4 Uygulanan Yöntemler	29
3.4.1 Potansiyometrik titrasyon yöntemi ile stabilité sabitinin tayini.....	29
3.4.2 Magnetik suszeptibilite ile magnetik özelliklerin incelenmesi.....	30
4. DENEYSEL KISIM	
4.1 Sentezler	32
4.1.1 Daha Önce Sentezlenmiş Olan Başlangıç Maddelerinin Sentezi.....	32
4.1.1.1 5-Nitro-1,10-fenantrolinin sentezi	32
4.1.1.2 5-Nitro-6-amino-1,10- fenantrolinin sentezi	33
4.1.1.3 5,6-Diamino-1,10- fenantrolinin Sentezi	33
4.1.1.4 Klor amfi-glioksim sentezi	34
4.1.1.5 Anti-Kloroglioksim sentezi	35
4.1.1.6 Anti-Dikloroglioksin sentezi	36
4.1.1.7 Klor-isonitroso aseton sentezi	36
4.1.1.8 Anti-Klorometilglioksim sentezi	37

4.1.2	Yeni Maddelerin Sentezi	38
4.1.2.1	1,10-fenantrolino(5,6-b)2,3 dihidroksiimino(1,4)diazin (L ₁).....	38
4.1.2.2	1,10-fenantrolino(5,6-b)2,3 dihidroksiimino(1,4)diazin'in Kobalt kompleksinin Sentezi (L ₁ -Co).....	39
4.1.2.3	1,10-fenantrolino(5,6-b)2,3 dihidroksiimino(1,4)diazin'in Nikel kompleksinin Sentezi (L ₁ -Ni).....	40
4.1.2.4	1,10-fenantrolino-5,6-bis (2,3-dihidroksiimino-1-aza)propan (L ₂).....	41
4.1.2.5	1,10-fenantrolino-5,6-bis (2,3-dihidroksiimino-1-aza)propan Kobalt Kompleksinin Sentezi (L ₂ -Co)	42
4.1.2.6	1,10-fenantrolino-5,6-bis (2,3-dihidroksiimino-1-aza)propan Kobalt Kompleksinin Sentezi (L ₂ -Ni)	42
5.	TARTIŞMA VE SONUÇLAR	44
	KAYNAKLAR	78
	EKLER.....	54
	Ek 1 Şekiller.....	54
	Ek 2 Çizelgeler.....	74
	ÖZGEÇMİŞ	81

KISALTMA LİSTESİ

B.M.	: Bohr Magnetonu
DMSO	: Dimetil Sülfoksit
IR	: Kızıl ötesi (Infrared)
L	: Ligand
M	: Metal, molar
NMR	: Nükleer Manyetik Rezonans (Nuclear Magnetik Rezonans)
TLC	: İnce Tabaka Kromatografisi (Thin Layer Chromatography)
UV	: Morötesi (ultraviole)
VİS	: Görünür (Visible)
MS	: Kütle spektroskopisi

ŞEKİL LİSTESİ

sayfa

Şekil Ek1.1	5-Nitro-1,10-fenantrolinin IR Spektrumu.....	54
Şekil Ek1.2	5-Nitro-6-amino-1,10-fenantrolinin IR Spektrumu.....	55
Şekil Ek1.3	5,6-Diamino-1,10-fenantrolinin IR Spektrumu.....	56
Şekil Ek1.4	5,6-Diamino-1,10-fenantrolinin UV Spektrumu.....	57
Şekil Ek1.5	L ₁ Ligandının Sentezi.....	58
Şekil Ek1.6	L ₁ -Co(II) Kompleksini.....	58
Şekil Ek1.7	L ₁ -Ni(II) Kompleksi.....	58
Şekil Ek1.8	L ₁ Ligandının UV Spektrumu.....	59
Şekil Ek1.9	L ₁ Ligandının ve L ₁ -Co(II), L ₁ -Ni(II) Komplekslerinin UV Spektrumu.....	59
Şekil Ek1.10	L ₁ Ligandının IR Spektrumu.....	60
Şekil Ek1.11	L ₁ -Co(II) Kompleksinin IR Spektrumu.....	61
Şekil Ek1.12	L ₁ -Ni (II) Kompleksinin IR Spektrumu.....	62
Şekil Ek1.13	L ₁ Ligandının ¹ H NMR Spektrumu.....	63
Şekil Ek1.14	L ₁ -Co(II) Kompleksinin MS Spektrumu.....	64
Şekil Ek1.15	L ₁ Ligandının Dağılım Diyagramı.....	65
Şekil Ek1.16	L ₁ -Co(II) Kompleksinin Dağılım Diyagramı.....	65
Şekil Ek1.17	L ₂ Ligandının Sentezi.....	66
Şekil Ek1.18	L ₂ - Co(II) Kompleksi.....	66
Şekil Ek1.19	L ₂ -Ni(II) Kompleksi.....	66
Şekil Ek1.20	L ₂ Ligandının UV Spektrumu.....	67
Şekil Ek1.21	L ₂ Ligandının ve L ₂ -Co(II), L ₂ -Ni(II) Komplekslerinin UV Spektrumu	67
Şekil Ek1.22	L ₂ Ligandının IR Spektrumu.....	68
Şekil Ek1.23	L ₂ - Co(II) Kompleksinin IR Spektrumu.....	69
Şekil Ek1.24	L ₂ - Ni (II) Kompleksinin IR Spektrumu.....	70
Şekil Ek1.25	L ₂ Ligandının ¹ H NMR Spektrumu.....	71
Şekil Ek1.26	L ₂ Ligandının Dağılım Diyagramı.....	72
Şekil Ek1.27	L ₂ - Co(II) Kompleksinin Dağılım Diyagramı.....	72

ÇİZELGE LİSTESİ

Sayfa

Çizelge 2.1 Bazı oksimlerin X-ışını ile Belirlenen Bağ Uzunlukları	5
Çizelge Ek2.1 Ligandlar ve Co(II), Ni(II) Komplekslerinin Saptanan Fiziksel Değerleri	73
Çizelge Ek2.2 L ₁ ve L ₂ Ligandlarının ¹ H NMR Spektrumu.....	73
Çizelge Ek2.3 Ligand ve Komplekslerin Karakteristik IR Bantları.....	74
Çizelge Ek2.4 L ₁ ve L ₂ ligandinin ve Co(II), Ni(II) kompleksleri (DMSO'da UV-vis elektronik geçiş değerleri	74
Çizelge Ek2.5 Sentezlenen Komplekslerin Magnetik Süssebililiteleri.....	74
Çizelge Ek2.6 L ₁ Ligandına Ait Stabilite Sabiti Değerleri.....	75
Çizelge Ek2.7 L ₁ -Co Kompleksine Ait Stabilite Sabiti Değerleri.....	75
Çizelge Ek2.8 L ₁ -Ni Kompleksine Ait Stabilite Sabiti Değerleri.....	75
Çizelge Ek2.9 L ₂ Ligandına Ait Stabilite Sabiti Değerleri.....	76
Çizelge Ek2.10 L ₂ -Co Kompleksine Ait Stabilite Sabiti Değerleri.....	76
Çizelge Ek2.11 L ₂ -Ni Kompleksine Ait Stabilite Sabiti Değerleri.....	76

ÖNSÖZ

Tez çalışmamın yanında Yıldız Teknik Üniversitesi Fen-Edebiyat Fakültesi Kimya Bölümünde çalışma hayatına başladığım andan itibaren her türlü yardımı sağlayan ve değerli önerileri ile bana yol gösteren tez yöneticim Sn. Doç.Dr. Nebahat DEMİRHAN'a ve değerli hocam Sn. Prof. Dr. Ulvi AVCIATA'ya;

Çalışmalarım süresince her türlü yardımlarını esirgemeyen İstanbul Teknik Üniversitesinden değerli hocam Sn. Prof. Dr. Ahmet Gül'e;

Eğitim ve öğrenimimde hiçbir fedakarlıktan kaçınmayan Annem ve Babama;

Saygı ve Teşekkürlerimi Bir Borç Bilirim.

ÖZET

Koordinasyon bileşikleri, analitik kimya, biyokimya, boyalar ve ilaç kimyasındaki gibi geniş kullanım alanının oluşundan, son yıllarda pek çok araştırmacuya konu olmuştur. Özellikle, koordinasyon kimyasında 1,2-dioksimlerin (vic-dioksim) kompleksleri önemli bir yer tutar. vic-Dioksimlerin geçiş metal kompleksleri biyolojik model bileşik olma özelliğine sahiptir. vic-Dioksimler, geçiş metalleri ile kararlı şelat tipi kompleksler oluşturduğundan büyük önem taşımaktadır. Değişik amaçlar için oldukça kararlı vic-dioksim kompleksleri hazırlanmıştır.

Bizim çalışmamızda ilk olarak 1,10-fenantrolinden dumanlı nitrik asit ve sülfat asidi ile 5-nitro-1,10-fenantrolin sentezlendi. İkinci basamakta 5-nitro-1,10-fenantrolinin, hidrosilamin hidroklorür ile indirgemesinden 5-nitro-6-amino-1,10-fenantrolin elde edildi. Sonraki basamakta ise 5-nitro-6-amino-1,10-fenantrolinin hidrazin hidratın Pd/aktif karbon katalizörüğünde indirgenmesinden 5,6-diamino-1,10-fenantrolin elde edildi. Çalışmamızda, 5,6-diamino-1,10-fenantrolin ve sırasıyla (E,E)-anti-dikloroglioksim ve (E,E)-anti-klorometilglioksim ile 1,10-fenantrolino(5,6-b)2,3- dihidroksiimino(1,4)diazin (L_1) ve 1,10-fenantrolino-5,6-bis (2,3-dihidroksiimino-1-aza)propan (L_2) ligantlarının sentezi açıklanmaktadır. Daha sonra elde edilen ligantların, Co(II) ve Ni (II) tuzları ile, Co(II) ve Ni (II) kompleksleri sentezlenmiştir.

Sentezlenen yeni bileşikler elementel analizle birlikte FTIR, $^1\text{H-NMR}$ (DMSO-d₆), MS, UV-vis spektrofotometre ve magnetik suszeptibilite ile karakterize edildi. Ligandların ve Co(II) ve Ni(II) komplekslerinin protonasyon sabitleri ve toplam teşekkül sabitleri potansiyometrik olarak, TITFIT bilgisayar programı kullanılarak hesaplandı.

L_1 ligandının Co(II) ve Ni (II) komplekslerinin metal/ligant oranları, Co(II)/ L_1 : 1/1 ve Ni (II)/ L_1 : 1/1 olarak bulundu. L_1 ve L_2 ligandlarının Co(II) ve Ni(II) komplekslerinin paramagnetik olduğu ve bunların magnetik suszeptibilite değerleri sırası ile Co(II)- L_1 : 7.5 ve Ni (II)- L_1 : 5.55 BM.

Anahtar Kelimeler : Oksimler, vic-oksimler, 1,10-fenantrolin

ABSTRACT

Recently, with the increasing use of coordination compounds in analytical, biological, pigment and medical chemistry, many investigators have studied these topics. Especially the important role of the complexes of 1,2-dioximes in coordination chemistry. The transition metal complexes of vic-dioximes are of particular interest as biological model compounds. vic-Dioximes have great importance since they are used as chelating agents because of their stable complexes with transition metals. vic- Dioximes have great importance since they are used as chelating agents because of their stable complexes with transition metals. The high stability of the complexes prepared with vic-dioximes ligands have been used extensively for various purposes.

The first step in our work is the synthesis of the 5-nitro-1,10-phenanthroline from the 1,10-phenanthroline with the fuming nitric acid and sulphuric acid (oleum). In the second step, 5-nitro-1,10-phenanthroline and hydroxylamine hydrochloride with reduction reaction to obtain 5-nitro-6-amino-1,10-phenanthroline. The other step, 5-nitro-6-amino-1,10-phenanthroline and hydrazine hydrate were reacted to obtain 5,6-diamino-1,10-phenanthroline. In this reaction Pd- activated C was used as catalyst. Here in we report the synthesis of new dioxime ligands; 1,10-phenanthrolino(5,6-b)2,3-dihydroxyimino(1,4)diazin (L_1) ve 1,10-phenanthrolino-5,6-bis(2,3-dihydroxyimino-1-aza)propane (L_2) starting from 5,6-diamino-1,10-phenanthroline with (E,E)anti-dicloroglyoxime and (E,E)anti-chloromethylglyoxime respectively. The resulting ligands were reacted with and Co(II) ve Ni(II) salts and synthesised Co(II) and Ni(II) complexes.

Synthesised new components have been characterized with FTIR, ^1H NMR (DMSO- d_6), MS, UV spectro and magnetic susceptibility. Ligands and cobalt(II) and nickel(II) complexes have been studied potentiometrically. Protonation constants of the ligand and overall formation constants have been calculated from potentiometric data using the program TITFIT.

Metal to ligand ratio of the Ni(II) and Co(II) complexes were found for L_1 , Co(II)/ L_1 : 1/1, Ni(II)/ L_1 : 1/1. Co(II), Ni(II) complexes of L_1 and L_2 ligands are paramagnetic and their susceptibility values are for L_1 -Co(II): 7.5, L_1 -Ni(II): 5. 55 BM.

Keywords : oximes, vic-oximes, 1,10-phenantrolin

1. GİRİŞ

Anorganik kimyanın en hızlı gelişen dalı koordinasyon kimyasıdır. Koordinasyon kimyasının temeli, 1895 yılında A. Werner tarafından atılmıştır. Bu alandaki çalışmalar, bu yüzyılın ilk on yılından itibaren büyük bir ilerleme göstermiştir.

Koordinasyon bileşikleri organik ve anorganik karakterlerin bir bileşimi olarak ortaya çıkar. Bu tür bileşikler genel olarak metal olan bir merkez atomunun etrafının iyon veya moleküllerle sarılıp bağ teşkili ile oluşur.

Koordinasyon bileşiklerinde, bir metal iyonu bir elektron verici (elektron donör) grupta bağ oluşturmuş durumdadır. Bu şekilde meydana gelen maddeye kompleks ya da koordinasyon bileşiği denir. Metal iyonu ile reaksiyona giren maddede iki veya daha fazla donör özelliğe sahip gruplar varsa bu durumda reaksiyon sonucunda bir veya daha fazla halka meydana gelir. Meydana gelen molekül, çelat bileşiği veya metal çelat olarak adlandırılır. Metal iyonu ile reaksiyona giren maddeye de çelat teşkil edici denir.

Ligantların donör özelliklerinin bağ teşkilinde önemli olması sebebiyle, olacak olan koordinasyon bağı metal ve ligantların özelliklerine bağlı olarak değişik iyonik ve kovalent karakterlere sahiptir. Bu sebeple kompleks veya çelat bileşığının gösterdiği özellikler, reaksiyona giren metal iyonunun elektronik konfigürasyonuna, koordinasyon sayısına ve ligandin taşıdığı aktif grup veya gruplar ile moleküldeki diğer atomların elektron delokalizasyonuna bağlıdır. Bu sebepten dolayı koordinasyon bileşikleri,

Koordinasyon bileşiklerinin çok önemli bir grubunu oluşturan vic-dioksimler ve makrosiklik bileşiklerin gösterdikleri çeşitli özellikler, bu grup bileşiklerin bilimsel ve ticari bakımdan çok önemli bir duruma gelmesine neden olmuştur. Koordinasyon bileşiklerinin bu grubu; boyar maddeler ve lak sanayiinde, otooksidasyon katalizörlerinde, polimerizasyon endüstrisinde, analitik reaktifler olarak, su geçirmezlik ve ateşe dayanıklı malzeme yapımında, ilaç sanayiinde, cevher zenginleştirmede, metal ekstraksiyonunda, biyolojik sistemlerde model bileşikler olarak kullanılmaktadır. Biyolojik mekanizmaların aydınlatılmasında model bileşik olarak kullanılan ve anti-tümör tesirinden dolayı kanser araştırmalarında da önem kazanan vic-dioksimler ve kompleksleri üzerinde gün geçtikçe daha fazla araştırma yapılan bileşiklerden olmuştur.

Son yıllarda anti-kloroglioksim ve anti-dikloroglioksim kullanılarak çok çeşitli amino ve tio glikozimler sentezlenmiş, bunların ve komplekslerinin yapıları UV-VIS, IR, ¹H-NMR ve elementel analiz yöntemleri ile aydınlatılmıştır.

Çalışmamızda, 1,10-fenantrolin başlangıç maddesinden çeşitli ara basamaklardan geçilerek literatürde belirtildiği gibi (Simith vd., 1947 ; Amouyal vd., 1990 ; Bolger vd., 1996 ; Camren vd., 1996) 5-nitro-1,10-fenantrolin, 5-nitro-6-amino-1,10-fenantrolin ve 5,6-diamino-1,10-fenantrolin sentezlendi. 5,6-diamino-1,10-fenantrolinin anti-dikloroglioksim ve anti-klorometilglioksim ile kondenzasyonu sonucu elde edilen vic-dioksim ligantlarını sentezlemeyi, bu ligantlar ile metal kompleksleri oluşturup yapılarını elementel analiz, IR, ¹H-NMR, UV-VIS spektrometre, kütle spektrumu, magnetik ve potansiyometrik titrasyon (TITFIT programı kullanarak) teknikleri ile aydınlatmayı amaçladık.

Çalışmamızda oksim ligantlarının ve komplekslerinin ilk defa sentezlenmiş olmaları nedeni ile kullanım alanlarının araştırılmasının gerektiğini düşünmektediriz.

2. GENEL BİLGİLER

2.1. Oksimler

Oksimler, aldehit ve ketonlardan türetilen bileşiklerdir.

Aldehitden türeyen oksimlere aldoksim adı verilir.



Ketonlardan türeyen oksimlere ketoksim adı verilir.



Oksim adı oksi ve imin kelimelerinin birleşmesiyle oluşmuştur (-C=NOH). Bu gruba oxiimino grubu denir. Oksim kelimesi bu maddeler için genel bir adlandırmadır.

Oksimler ilk önceleri aldehit ve ketonlardan sentezlendikleri için aldehit ve koton adının sonuna “oksım” kelimesi getirilerek adlandırılıyordu (Smith, 1966).

Örneğin;



Benzofenon oksim

Yeni literatürlerde oksimler adlandırılırken “hidroksiimino” eki yardımıyla da adlandırılmaktadır.

Örneğin;



2-Hidroksiimino propiyonik asit



4-(Hidroksiimino)-1-metil-2,5-siklohekzadien-1-karboksilli asit

Oksimler yapılarında taşındıkları oksim grubu sayısına göre monoksim, dioksim, trioksim, olarak adlandırılabilirler.

2.1.1. Oksimlerin Özellikleri

Oksimler genellikle kristal katılarıdır, bu yüzden aldehit ve ketonların tanınmasında yararlı türevlerdir. Genelde renksizdirler. Orta derecede eriyen maddeler olup suda ve alkolde az çözünürler. Oksimler, sulandırılmış soğuk asit yada bazlarda sudakinden çok daha iyi çözünür. Oldukça kararlı maddelerdir ancak ışık ve hava etkisi altında bozunabilir (Noler, 1960; Cram, 1964).

Oksimler, amfoter bileşiklerdir. Oksimlerin yapısındaki azometin ($\text{C}=\text{N}$) grubu zayıf bazik özellik gösterirken, yapıda bulunan OH grupları nedeniyle zayıf asidik özellik gösterirler. Monoksimler zayıf asit karakteri gösterirler. α -dioksimler monoksimlerden daha kuvvetli asidik özelliğe sahiptirler (Elliot, 1950; Patai, 1975).

Değişik oksimlerin pKa değerleri şöyledir;

Dimetilglioksim	pKa: 10,72
Gilioksim	pKa: 9,11
Dietil α -hidroksiminomalonat	pKa: 5,48
Asetoksim	pKa: 12,42

Oksimler, primer aminların ve alkil siyanitların sentezinde başlangıç maddesi olarak kullanılırlar (Noler, 1960).

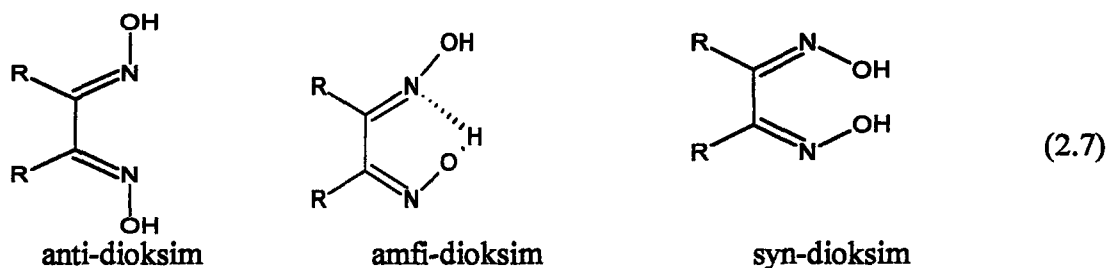
Bazı oksimlerin C=N bağ uzunluğu raman frekansları yoluyla bazı ketonların C=O bağ uzunluğuyla karşılaştırılmak suretiyle çıkarılmıştır. Hesaplanan bağ uzunluklarında kovalent yarıçap ve elektronegativite değerleri dikkate alınmıştır. Sonuç olarak C=O bağı için $1,215 \text{ \AA}^\circ$, C=N bağı için $1,24 \text{ \AA}^\circ$, N-O bağı için $1,44 \text{ \AA}^\circ$ olarak belirlenmiştir. Bu belirlenen değerler bağlı olan substituentlerle değişiklik gösterebilir (Layton vd., 1956; Boyer vd., 1957; Gnichetel, 1972). (C=N) sistemi zayıf bir kromofordur, ultraviyole alanda absorbsiyon gösterir.

Çizelge 2.1: Bazı oksimlerin X-ışınları analiz yöntemleri ile belirlenen bağ uzunlukları şöyledir (Smith, 1966).

Bileşik	Bağ Uzunluğu(\AA°)		Bağ Açısı($^\circ$)
	C=N	N-O	
Eosinoldakik	1 27	1 40	110

2.1.2. Oksimlerin Yapısı ve İzomerleri

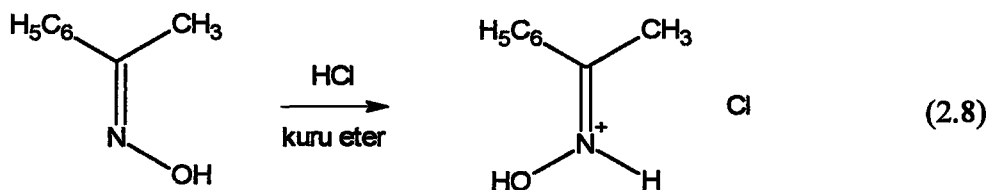
Spektral metodların gelişmesiyle oksimlerin yapıları kesin olarak belirlenmiştir. Oksim ve türevlerinin geometrik izomerleri syn-, anti- ve amfi- şeklinde gösterilebilir. Adlandırmada OH⁻ gruplarının birbirine göre konumları dikkate alınır (Nesmeyanov, 1976; Shirley, 1966).



Hantzsch ve Werner (1890) tarafından oksimlerin geometrik izomerliğinin nedeni, C=N bağı etrafında serbest dönenin olmadığı ve (C=N)'ne bağlı grupların uzaydaki farklı konumlarından ileri geldiği şeklinde belirtilmiştir. (C=N) bağıını teşkil eden karbon atomu iki farklı grubu ihtiva ederse geometrik izomeri mümkün olmaktadır. Asetoksimlerde olduğu gibi karbon atomu aynı iki grubu ihtiva ettiğinde, OH'a göre anti- durumdaki grubun bağ uzunluğu ve açı değerleri syn- durumdaki grubun değerlerinden daha farklımasına rağmen tek ürün vardır (Layer, 1962; Finar, 1973).

Genellikle oksim konfigürasyonlarında anti- formu, amfi- formuna göre daha düşük enerjilidir ve bu nedenle daha kararlıdır. Anti-formlarının erime noktası amfi ve syn formlarına göre daha yüksektir (Ploty and Steinbeck, 1902). Geometrik izomerizasyon oksimlerin farklı asidik karakter göstermesine neden olur. Anti- formu, amfi formuna göre daha asidiktir (Nesmeyanov, 1976).

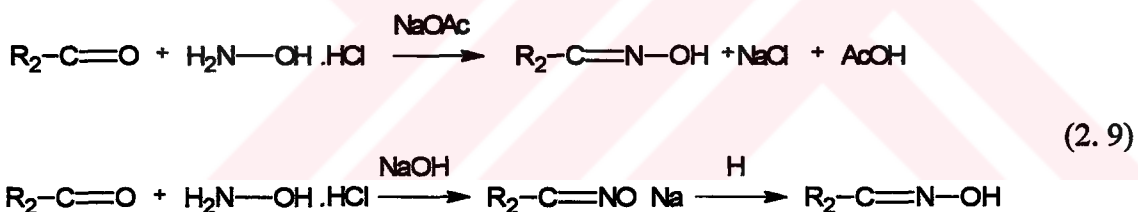
Oksim stereoizomerlerinin birbirine dönüşümü tuz oluşumundan sonra olur. Amfi- ve syn- formları HCl ile reaksiyona girip hidroklorür oluşumundan sonra anti- formuna dönerler (Smith, 1966).



2.1.3. Oksimlerin Sentez Yöntemleri

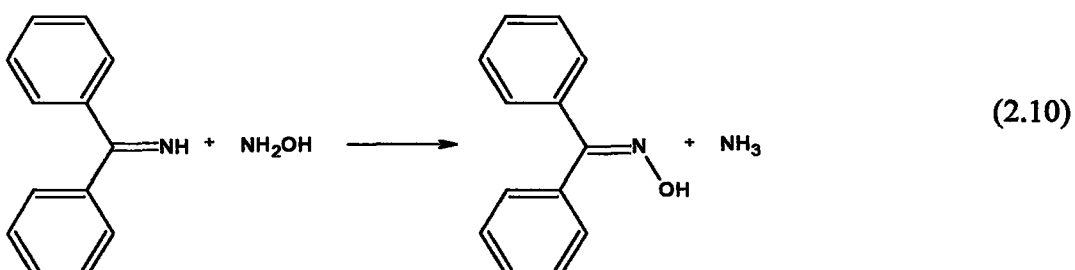
1. Aldehit ve ketonların hidroksilamin ile reaksiyonundan;

Oksimlerin en eski sentez yöntemlerinden biridir. Reaksiyon sulu alkali ortamda, optimum pH'larda ve genellikle oda sıcaklığında aşağıdaki gibi gerçekleşmektedir (Smith, 1966).



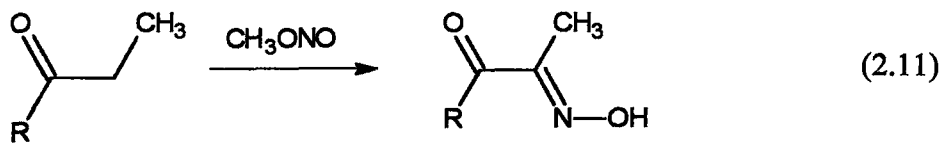
2. Ketiminlerin hidroksilamin ile reaksiyonundan;

Oksimler, ketonlara oranla, ketiminlerden daha kolay elde edilir (Angeli, 1890 ; Feist, 1894).



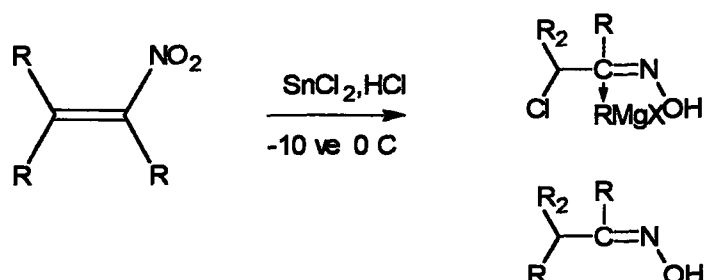
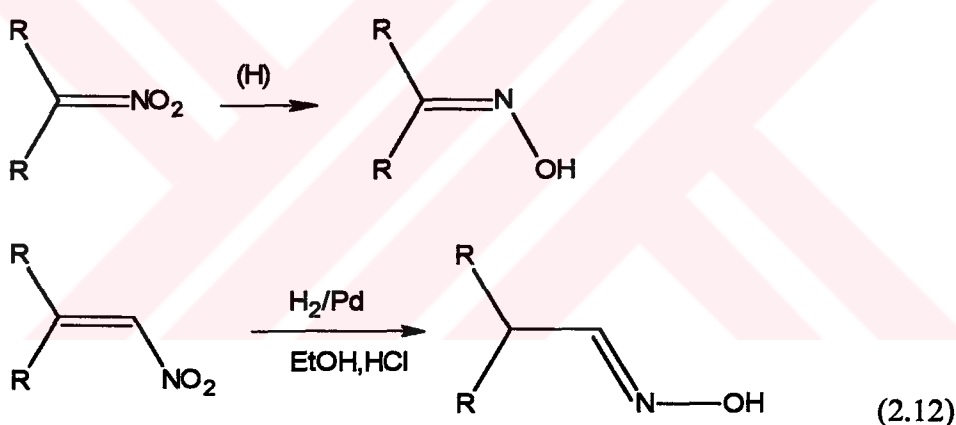
3. C-Nitrolama yöntemiyle;

C-nitrosolama, aktif metilen grubuna ihtiyaç duyar ve ketonlardan α -ketoksimlerin hazırlanışında en kullanışlı yoldur (Bischoff ve Nastvogel, 1890).



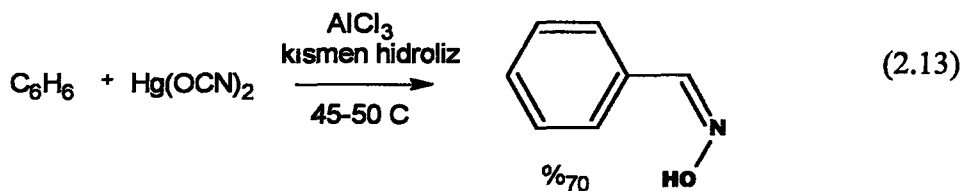
4. Alifatik nitro bileşiklerinin indirgenmesinden;

Kalay klorür, alüminyum amalgamı, sodyum amalgamı, sodyum, alkol ve çinko indirgen aracı olarak kullanılır (Bischoff ve Nastvogel, 1890).

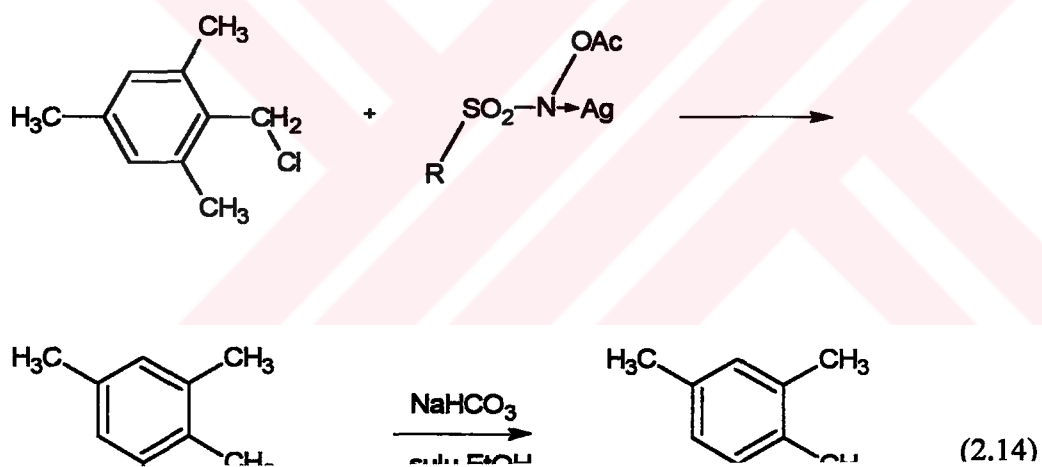


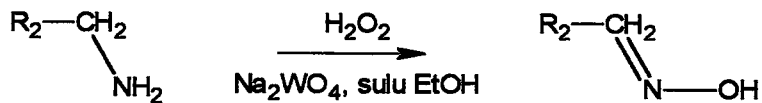
5. Fulmirik asit ile Friedel –Crafts tipi reaksiyonlar yoluyla;

Uygulanan metot direkt olmasına rağmen kimyacılarning çoğu ihtiyaç duyulan reaktiflerden dolayı bu yoldan sakınır (Serin, 1980).

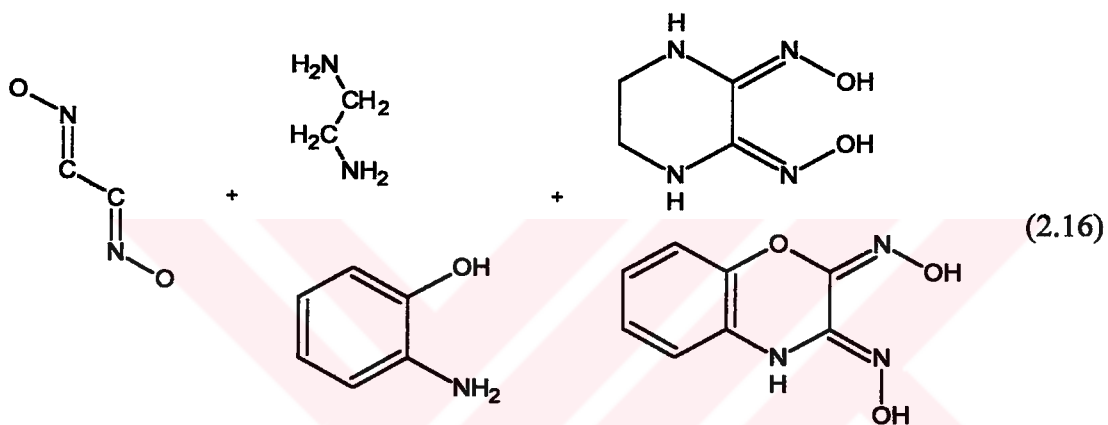


6. o-asetil benzensülfon hidroksamik asidin alkilleşmesi ve hidrolizi ile gerçekleştirilen oksim teşekkülü yoluyla (Serin, 1980).

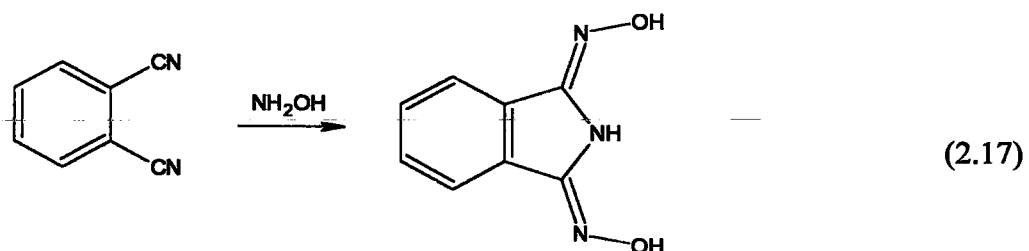




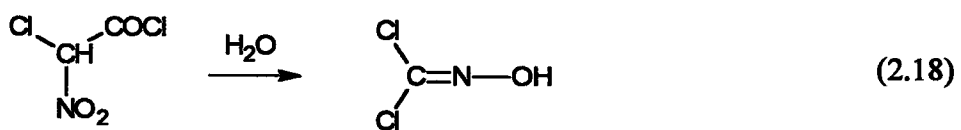
8. Disiyan-di-N-oksit Katılımasıyla (Grundman vd., 1965; Grundman vd., 1966).



9. Aromatik nitril bileşiklerinden de oksim elde edilmektedir.

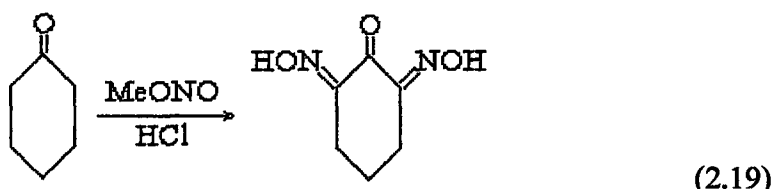


10. Klor nitroasetil klorürden çok zehirli fosgenoksim elde edilir.

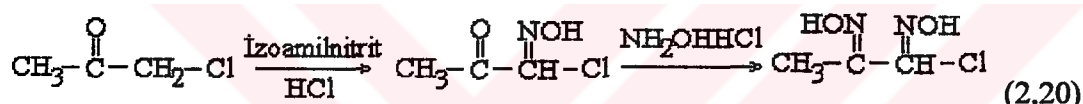


11. Alkil nitrit ile Ketonların Reaksiyonundan;

Halkalı ketonlardan Siklohekzanon ile metilnitritin HCl'li ortamda gerçekleştirilen reaksiyonundan keton grubu korunarak dioksim sentezi mümkündür (Macit, 1996).

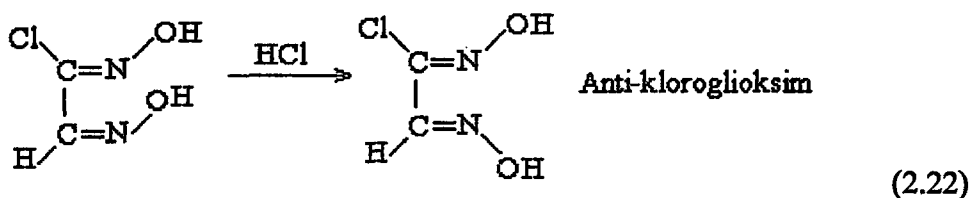
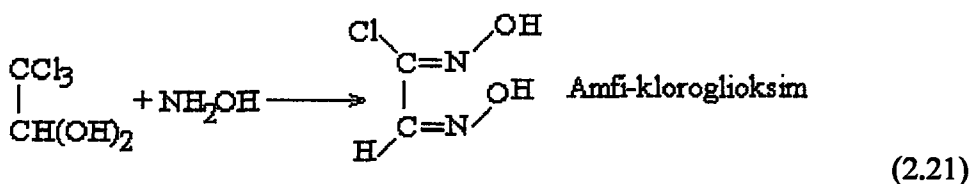


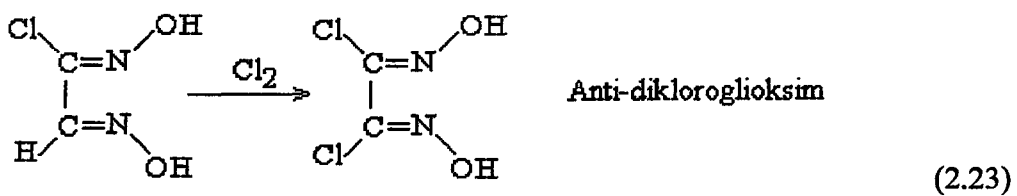
Bu reaksiyonu benzer şekilde keton grubuna komşu CH₂ içeren düz zincirli ketonlarda alkilnitrit ile HCl'li ortamda keton grubu korunarak oksimlenebilir. Örneğin;



12. Kloralhidrattan;

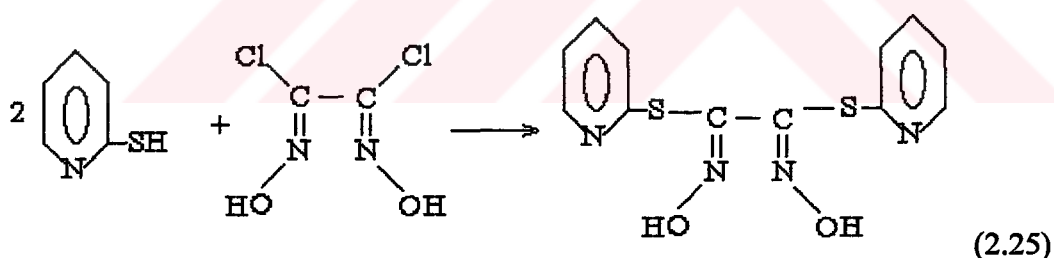
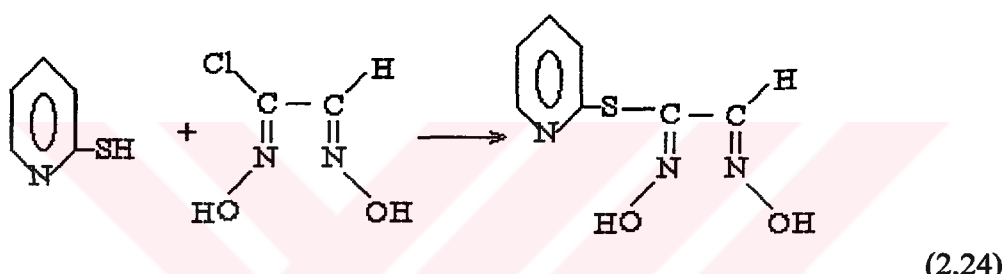
Kloralhidratın hidroksilamin hidroklorür ile reaksiyonundan dioksimler sentezlenebilir. Bu yolla sentez çok kullanılmakta olup bir kaç ara basamak sonucunda anti-kloroglioksime ve anti-dikloroglioksime kadar yürütülebilir.





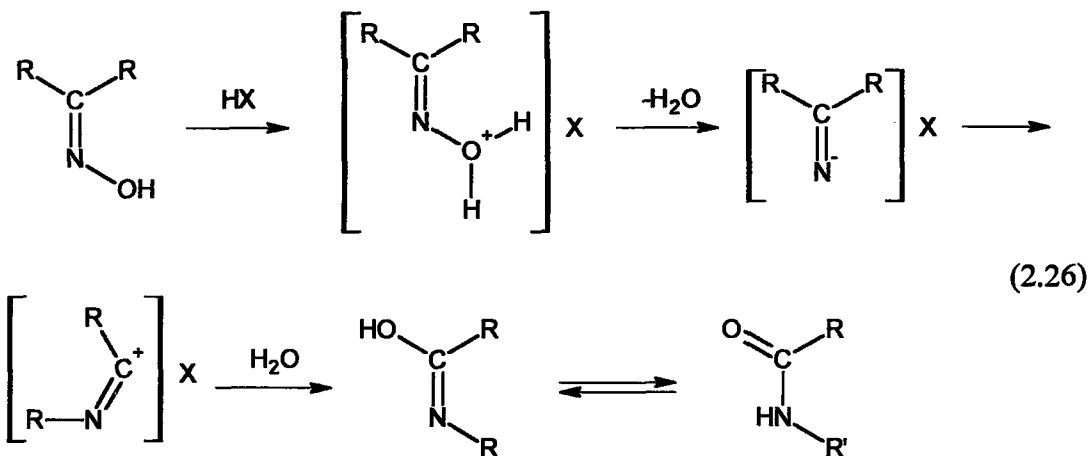
13. Kloroglioksim ve Dikloroglioksim ile Sübstitüsyon Reaksiyonlarından;

Üzerinde oynak proton taşıyan ArNH_2 ve ArSH gibi bileşikler dikloroglioksim ve kloroglioksim ile reaksiyon verirler. Sonuçta amino ve tiyo glioksimler oluşur. Bu yolla birçok dioksim bileşiği sentezlenmiştir (Uçan, 1993).

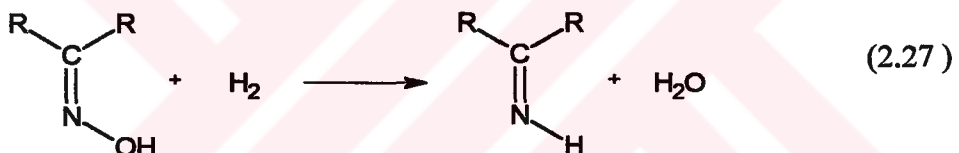


2.1.4 Oksimlerin Kimyasal Özellikleri

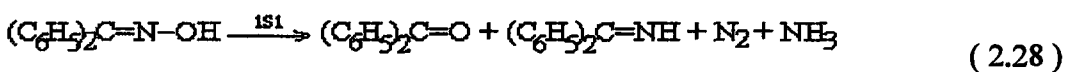
- Oksimlerin en çok bilinen reaksiyonu Beckmann dönüşümüdür. Ketoksimler asitlerle reaksiyona sokulunca amid yapısına dönüşürler. Beckmann çevrilmesinde sülfat asiti, polifosforik asit, fosfor pentaklorür gibi maddeler reaktif olarak kullanılır (Finar, 1973).



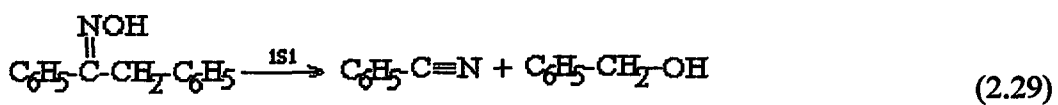
2. Alifatik ve aromatik ketonların oksimleri, hidrojen ve nikel ile basınç altında ketiminlere indirgenebilir. Asetofenon oksim %30 verimle imini verir (Layer, 1962)



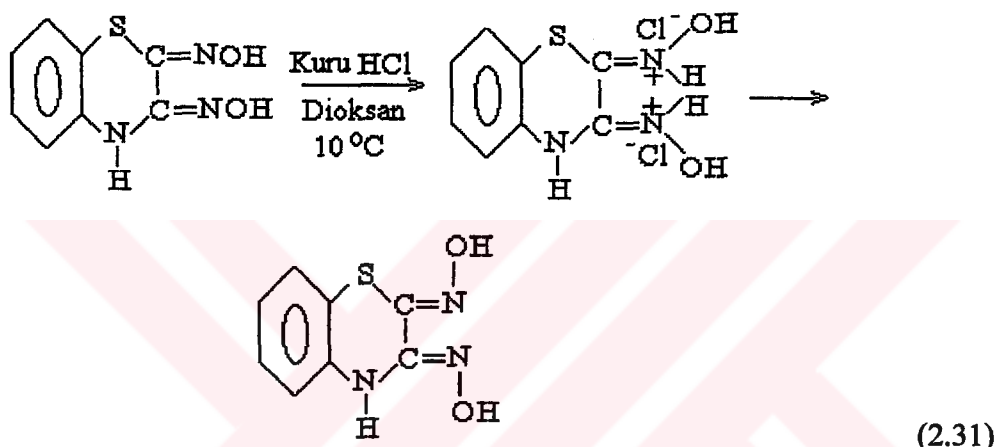
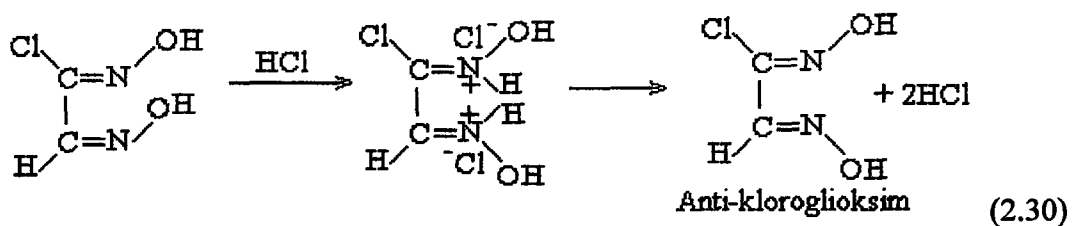
3. Oksimler oldukça kararlı bileşikler olmalarına rağmen uzun süre ışık ve havadan korunmadıkları takdirde karbonil ve azotlu organik maddeler oluşturarak bozunurlar. Kuvvetli ısıtmalarda bozunlara sebep olur. Örneğin Benzofenonoksım ısıtma sonucu benzofenon ve imine ayrılmaktadır (Smith, 1966).



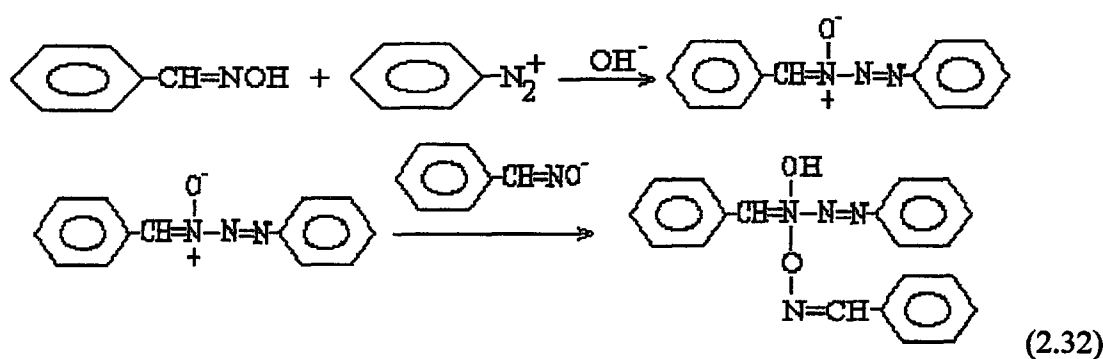
α -Hidrojeni taşıyan oksimler ısı etkisi ile alkol ve nitrile ayrılır.



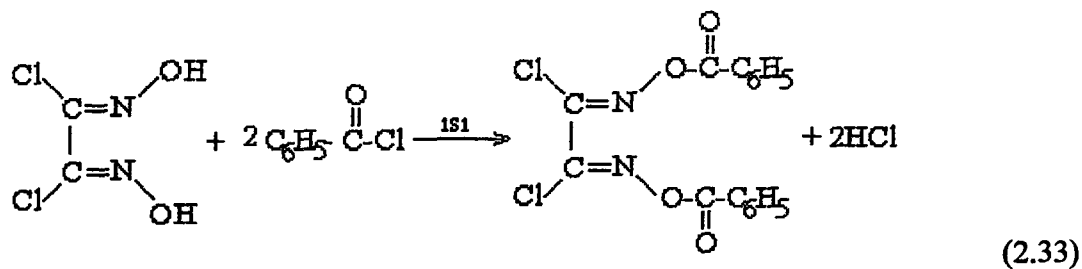
4. Kuvvetli mineral asitler oksimleri tuzlarına çevirirler. Oksimlerin izomer dönüşümleri için asit tesirinden yararlanılır. Amfi izomer HCl ile etkileştirildiğinde anti izomerine dönüşür



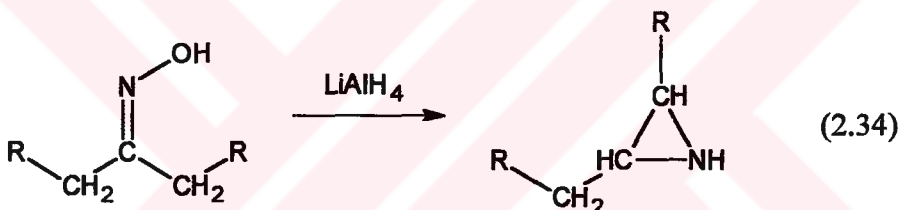
5. Diazonium bileşikleri bazik ortamda oksimlere karşı elektrofil olarak davranışları ve azota yönelirler. Reaksiyon ortamında bakır bileşikleri varsa oksim hidrojeni diazonyum bileşiğinin aril grubu ile yer değiştirerek serbest radikal oluşumu şeklinde reaksiyonun yürümesini sağlar.



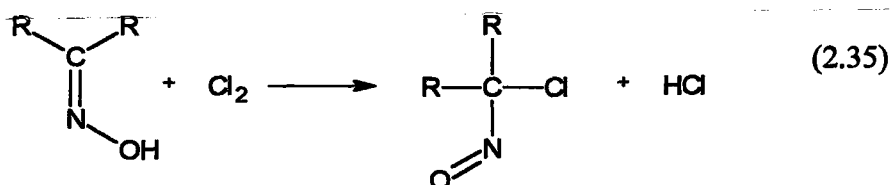
6. Açılleme reaktifleri oksimler ile reaksiyona girerek açılı türevlerini oluşturur. Doğrudan açılıasyon reaksiyonundan oksimlerin açılı türevleri elde edilir. Bunlar bazik ortamda hidroliz olarak oksimlere dönüşürler.



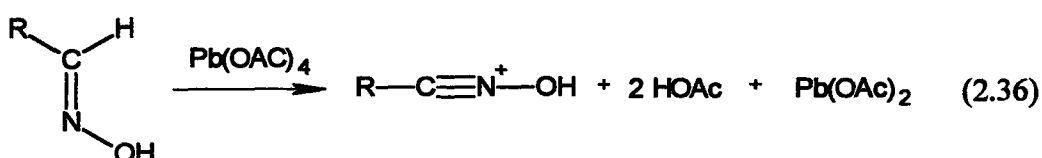
7. Oksimler ile LiAlH_4 'ün reaksiyonundan aziridinler oluşur (Kotera ve Kitahonoki, 1969)



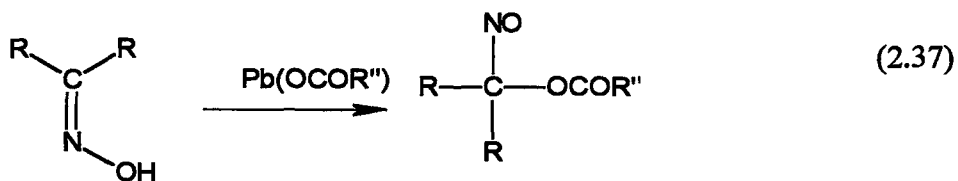
8. Ketoksimler; klorür, nitrozilklorür veya hipoklorit ile reaksiyonundan α -kloronitrozo bileşiklerine dönüşür (Ploty ve Steinback, 1894 ; Boyer, 1969)



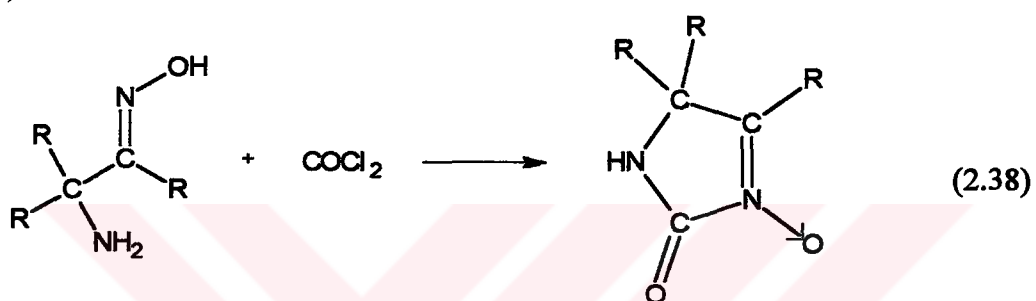
9. Syn-aldoksimler, Kurşuntetraasetat $[\text{Pb(OAc)}_4]$ ile yüksek bir verimle nitril oksitlere dönüşürler (Just ve Dahl, 1968; Butter vd., 1973).



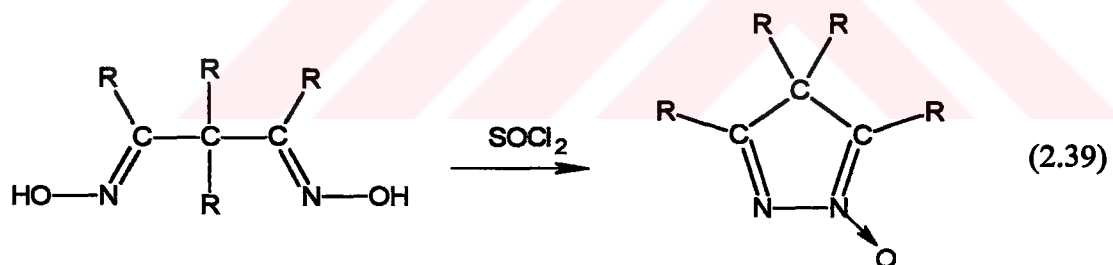
Alifatik ve alisiklik ketooksimlerin Pb(OCOR) ile oksidasyonu sonucu gem-nitroso asetatlar oluşur.



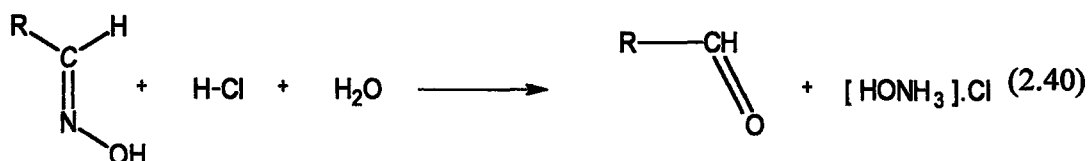
10. α -amino ketooksimler fosgenle halkalı yapıtlere dönüşürler (Gnichetel vd., 1972).

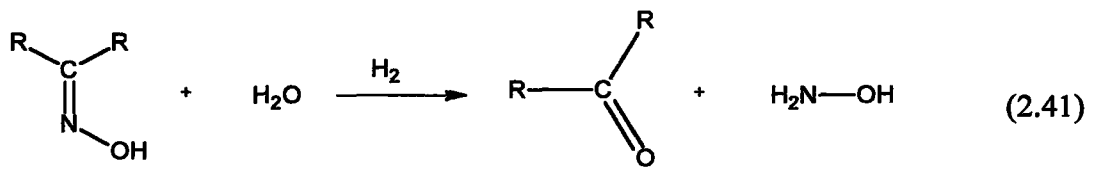


1,3-dioksimler tiyonil klorür (SOCl_2) ile N-oksitlere dönüşür (Pilgrim, 1970).

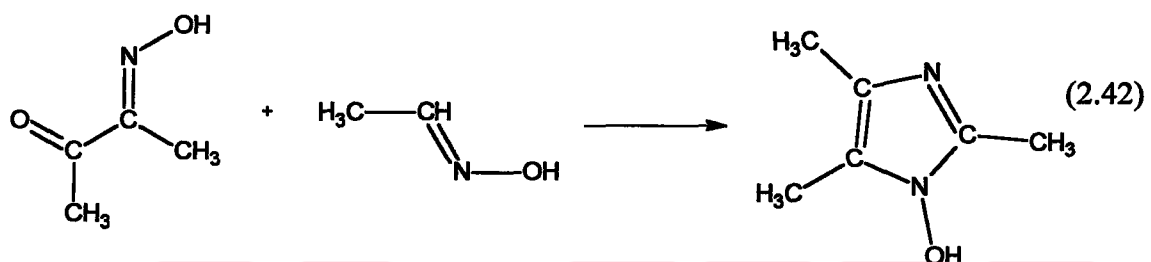


11. Oksimler, sulu HCl asitle ısıtıldıkları zaman, hidroksilamin hidroklorür ve aldehit yada keton oluşumu ile hidroliz olurlar.

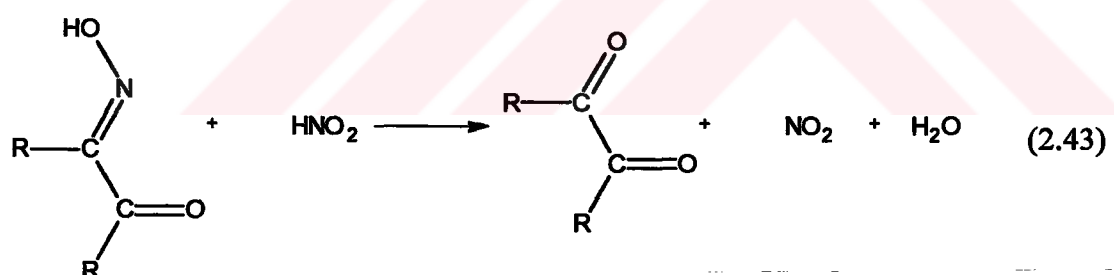




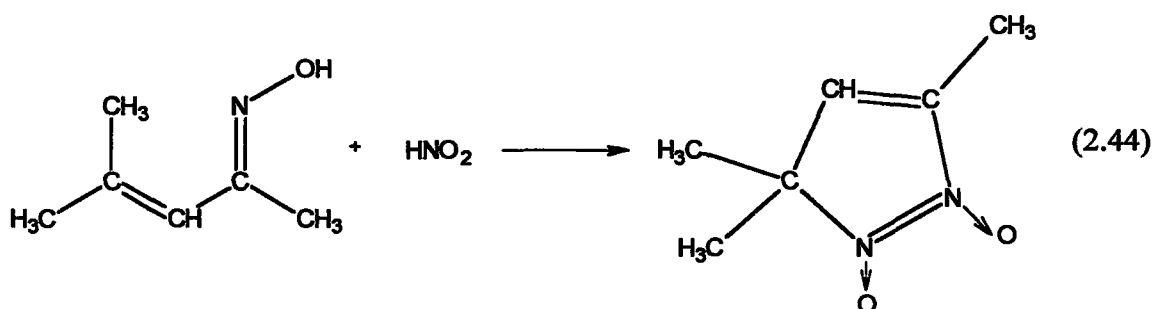
12. α -keto oksimlerin aldoksimlerle kondensasyonu sonucu N'-hidroksiimidazol N-oksitler oluşur (Wright, 1964).



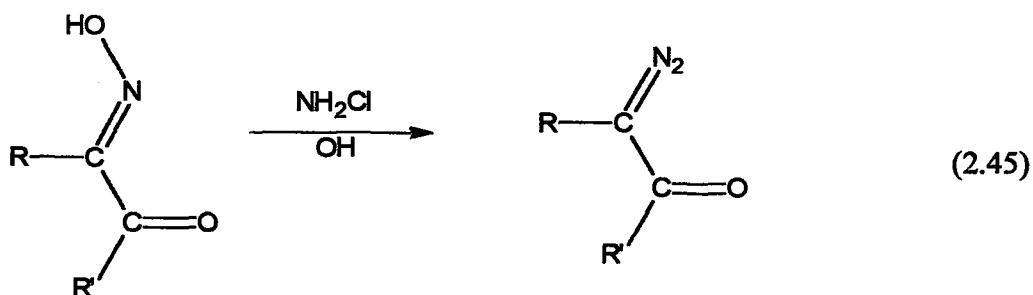
13. Claisen ve Manasse, α -oximino ketonları nitrik asit ile α -diketonlara dönüştürdü (Manning ve Stansbury, 1959 ; Jeremian, 1973).



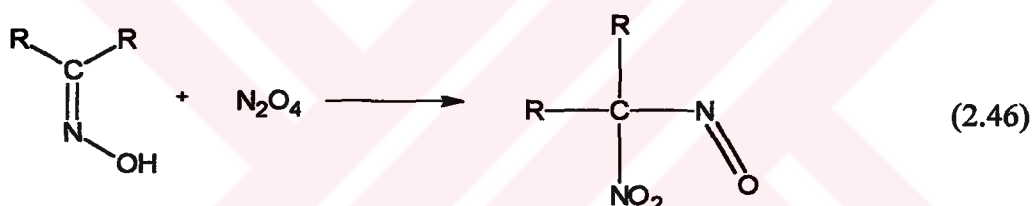
α - β doymamış oksimler, nitro bileşikleriyle muamelesi ile yeni heterosiklik bileşiklere dönüşür.



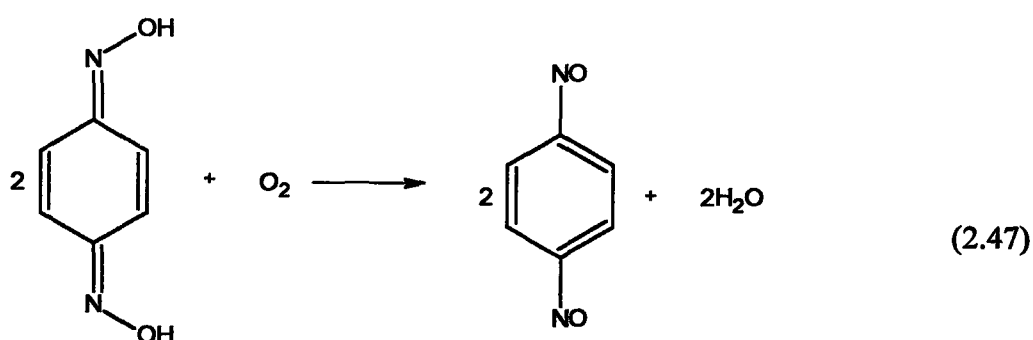
14. Oksimler, alkali ortamda kloramin (NH_2Cl) yada hidroksilamin-o-sülfonik asit'in etkisiyle diazoalkanlara dönüştürülür. Bu reaksiyon Forster reaksiyonu olarak bilinir (Forster, 1915).



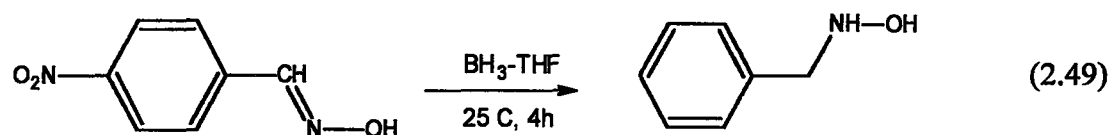
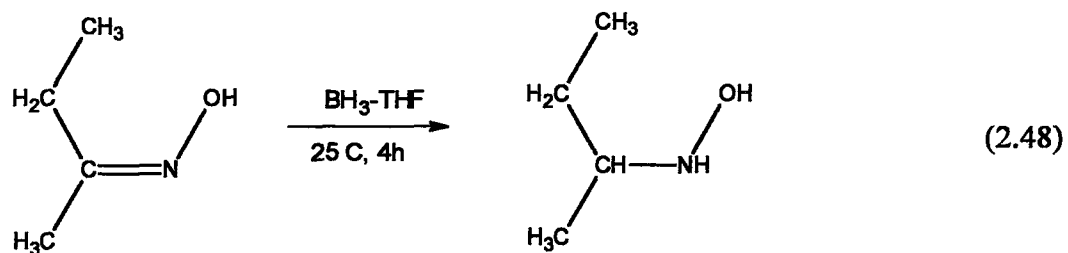
15. Birçok alifatik ketoksimler, eter içinde dinitrogen tetroxide (N_2O_4) ile muamelesi sonucu gem-nitronitroso bileşiklerine dönüşür (Riebsomer, 1945).



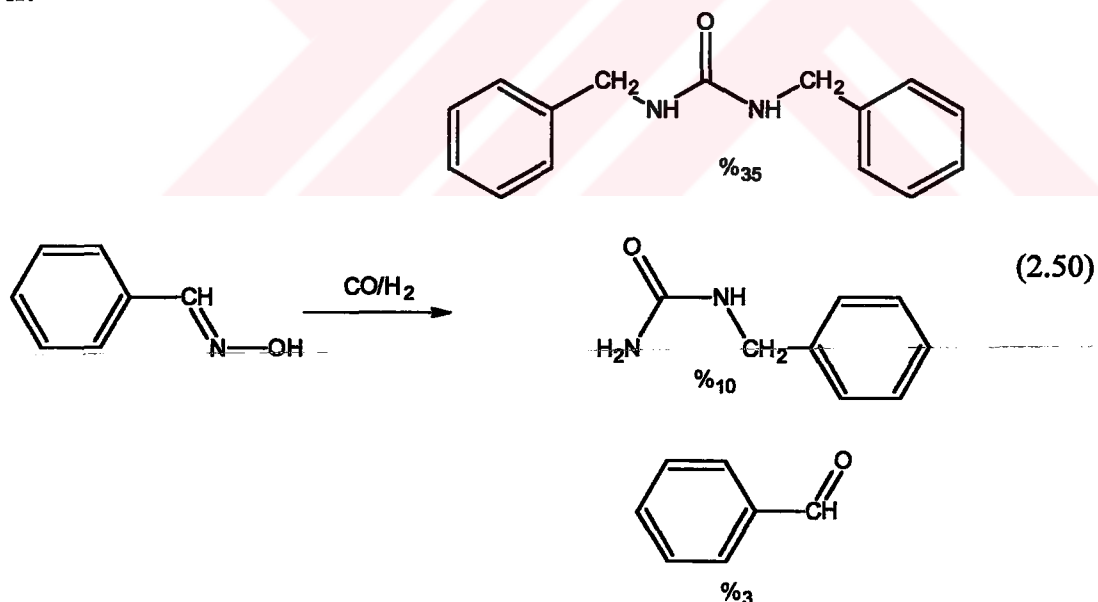
16. Farklı türdeki kinon dioksimlerin kolay elektron sunma özelliğinden yararlanarak, dinitroso benzen türevlerine dönüştürülebilir (Freeman, 1973).



17. Aldoksimler ve ketoksimler, $\text{BH}_3\text{-THF}$ ile kolayca indirgenerek N-monosubstituted hidroksilaminler sentezlenebilir (Freeman, 1973).

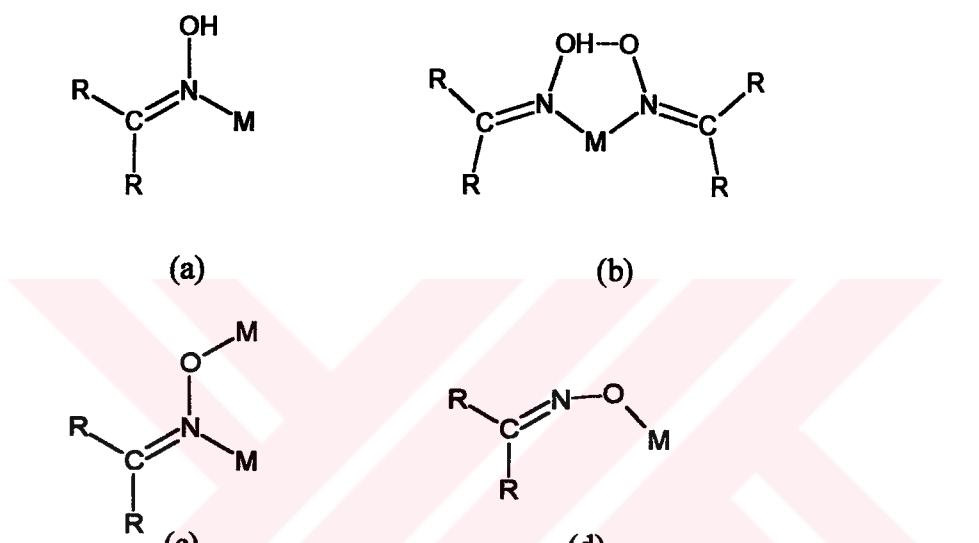


18. syn-benzaldoksim, CO ve H_2 ile benzen içinde ve dikobalt okta karbonil varlığında 300 atm . basınçta ve 220°C , $\text{N,N}'\text{-dibenzil üre}$ ve az oranda benzaldehit karışımı ele geçer.



2.1.5. Oksim Ligandları ve Kompleksleri

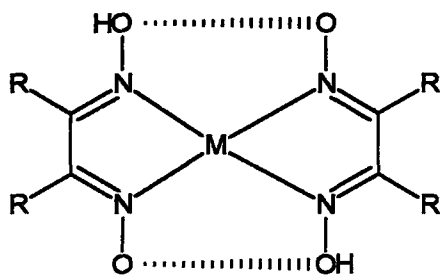
Oksimler, geçiş metallerinin çoğu ile sağlam kompleksler verirler. Komplekslerde azot veya oksijen atomları üzerinden farklı şekillerde koordinasyon bağı yaparlar. Oksim komplekslerinin büyük bir çoğunluğunda koordinasyon genellikle azot atomu üzerinden olur. Yapılan çalışmalarda metal-oksim bağlarının oluşum olasılıkları aşağıdaki şekilde gösterilebilir.



Oksimler, (a) yapısında olduğu gibi hidrojen atomunun olduğu veya olmadığı şekilde veya (b)'de olduğu gibi ikinci bir oksim molekülüyle hidrojen köprüsü oluşturacak şekilde reaksiyon verirler. (a) ve (b) formları en çok bilinen şekillerdir. (c) ve (d) formları ise yaygın değildir (Feigl,1949 ; Sarısalan,1975).

Basit oksimlerde bir oksim grubu ligant olarak etki eder. Bunların Cu(II), Ni(II) ve Co(II) tuzlarıyla $\text{M}(\text{oksim})_n \text{X}_2$ ($n:2,4$; X:Cl) tipinde kompleksler verirler.

Metal vic-dioksimlerin yapıları X-ışınları çalışmaları ile aydınlatılmıştır. Komplekslerin pek çokunda iki dioksim molekülündeki dört azot atomıyla koordinasyon yapan metal iyonu aynı düzlemededir ve oluşan iki tane hidrojen köprüsü kompleksin kararlılığını arttırmır (Godycki ve Rundle,1953).



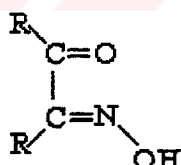
Metal ve metalin oksidasyon derecesine bağlı olarak düzleme dik olarak eksenel bir veya iki tane ligant olabilir. Kompleksleşme sonucunda N-O bağı kısalırken, C=N bağı pek etkilenmez.

OH----O gerilme ve eğilme titreşimleri genellikle $3200\text{-}3400\text{ cm}^{-1}$ ve $1400\text{-}1700\text{ cm}^{-1}$ arasında gözlenir. Her iki band da geniş ve zayıftır.

Monooksimler:

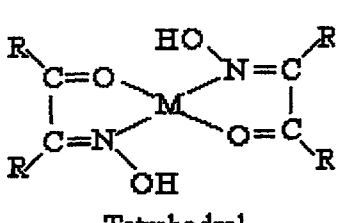
a) Karbonil oksimler:

Bu bileşikler komşu karbon üzerinde oksim karbonili bulundururlar.

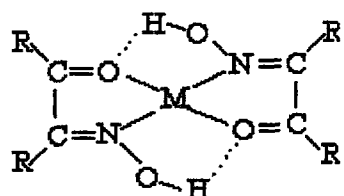


(2.51)

Karbonil oksimler geçiş metalleri ile $(\text{LH})_2\text{M}$ şeklinde kompleksler oluştururlar. Bu kompleksler genellikle karedüzlem veya tetrahedral yapıdadır.



Tetrahedral

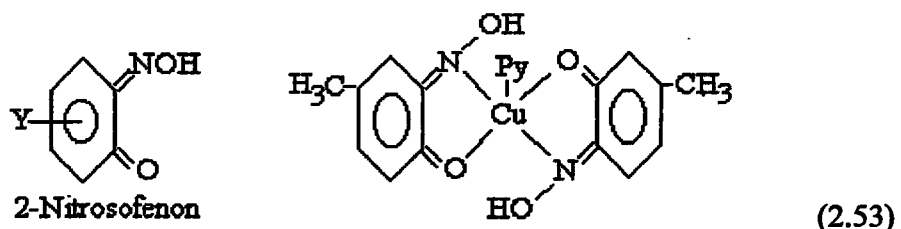


Kare Düzlem

(2.52)

b) Nitrozofenonlar (Guinonmonoooksimler):

Halkalı yapıda olan bu bileşikler Cu(II) ile tetrahedral yapıda bileşikler oluşturur. Ancak ortamda pridin bulunması halinde oluşan kompleks kare piramidal yapıdadır.



Ni(II) ise dimerik yapıda kompleks oluşturur.

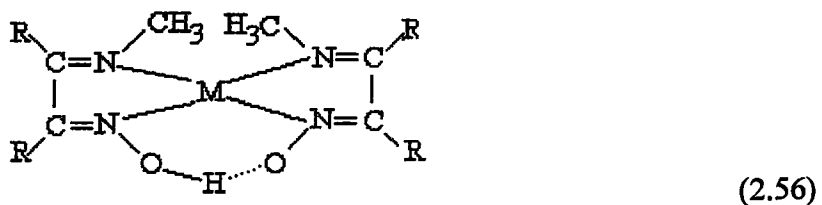


c) İminoksimler;

İminoksimler içerdikleri donör grup sayısına bağlı olarak metal iyonlarına iki, üç veya dört dişli ligandlar halinde bağlanarak kompleksler oluştururlar. Bağlanma imin üzerindeki Y grubuna göre değişiklik gösterir.

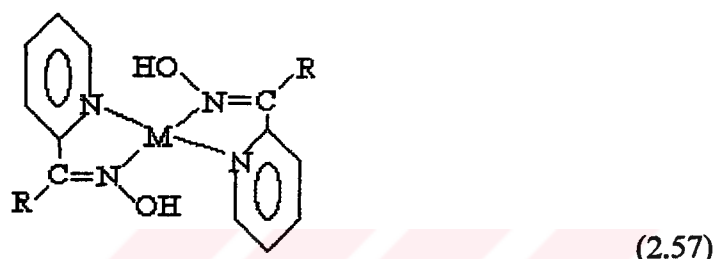


Molekülde $Y=CH_3$ ise ligand iki dişli olarak davranışır ve metal atomuna N üzerinden bağlanır.



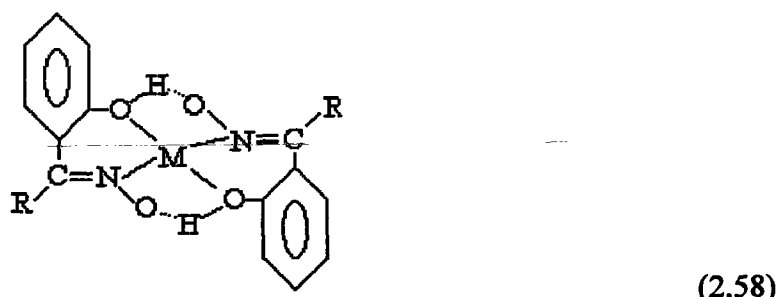
d) Piridin oksimler;

Bu tür ligand'larda metale bağlanma halkadaki ve oksim grubundaki azotlar üzerinden olur.



e) Hidroksioksimler:

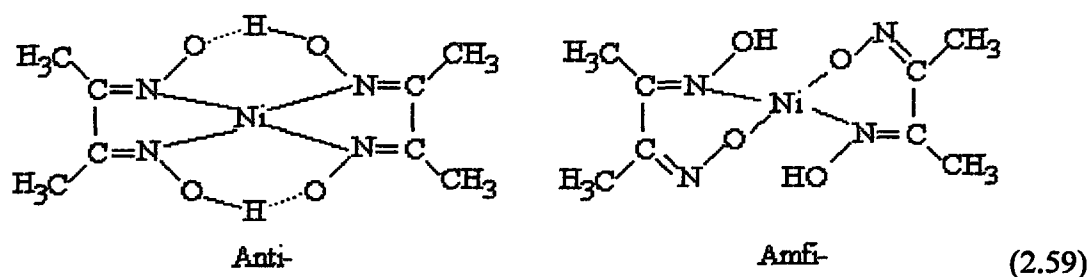
İki dişli olarak davranan bu oksimler, metallere oksijen ve azot atomları üzerinden bağlanır.



Dioksimler ;

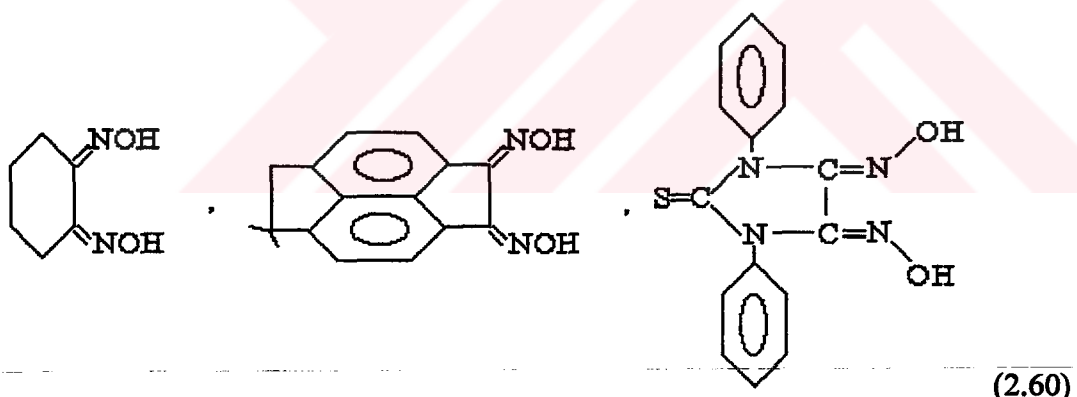
Dioksimler yapılarında iki tane -C=NOH grubu bulunduran bileşiklerdir. Dioksimlerin metallere koordinasyonu dioksimin anti veya amfi durumunda olmasına göre farklı veya aynı donör atomlar üzerinden gerçekleşebilir. Ligandların anti formundan sentezlenen Ni(II) kompleksleri genellikle kırmızı renkli ve kare düzlemdir. Amfidioksimlerden

sentezlenen Ni(II)'de liganda N ve O atomları üzerinden bağlanır ve sarı-yeşil renkte kompleks oluşturur. Dioksimler üzerine çalışmalar 1905 yılında Tschugaff'ın Nikel dimetilglioksimi sentezlemesi ile başlamıştır.



a) Halkasal dioksimler;

Bunlar doğrudan halka üzerinde birbirlerine komşu iki tane oksim grubu bulunduran bilesiklerdir.



b) Halkasal olmayan dioksimler:

Bu bileşikler kloroglioksim ve dikloroglioksimin NH_2 , SH gibi grupları içeren bileşiklerle etkileşiminden elde edilebilirler. Dikloroglioksimden elde edilen oksim ligandları simetrik yapıya sahiptir. NH_2 , SH gibi grupları içeren bileşiklerin disiyandi-N-oksit ile katılma reaksiyonu vererek simetrik oksimleri oluşturur.

2.1.6.Oksimlerin Spektral Özellikleri

Oksimlerin yapısını aydınlatmak için infrared spektrumları oldukça faydalıdır. Aldoksimler ve ketoksimler O-H, N-O ve C=N absorbsiyonları ile karakterize edilir. OH gerilme titreşimleri $3300\text{-}3150\text{ cm}^{-1}$ civarında, C=N titreşimleri $1600\text{-}1610\text{ cm}^{-1}$ civarında ve yine oksimler için karakteristik olan N-O titreşimleri $980\text{-}920\text{ cm}$ civarında gözlenir.

Oksimlerin OH pikleri çözücüye veya KBr tablette çekilmesine bağlı olarak değişik yerlerde çıkabilir. vic-Dioksim komplekslerinin IR spektrumlarında hidrojen köprüsü oluşumu nedeniyle OH gerilme ve büükülme titreşimleri 2350 ve 1700 cm^{-1} civarına kaymaktadır.

Doymuş konjuge olmayan oksimlerde C=N gerilme bandı $1685\text{-}1650\text{ cm}^{-1}$ de görülsede vic-dioksimlerde 1600 cm^{-1} e kadar kayabilir. Oksimlerde bir çift bağa komşu (N-O) gerilme titreşimi $970\text{-}923\text{ cm}^{-1}$ arasında şiddetli bir pik gözlenir. (N-O) frekansı konfigürasyonuna bağlı olarak önemli bir değişiklik göstermez.

H-NMR spektrumlarında hidroksil protonunun kimyasal kayması oksim grubuna bağlı sübstituentlere göre karakteristik değerler gösterir. Alifatik keton ve aldehitlerin oksimleri için tespit edilen OH kimyasal kaymaları $11,00\text{-}10,00\text{ ppm}$ arasındadır. Aromatik ve heteroaromatik oksimlerde $12,5\text{-}11,00\text{ ppm}$ arasında değerler alır (Bovey, F.A, 1967).

vic-dioksimlerde stereoizomerlerin tanınmasında H-NMR spektrumları yararlı olmaktadır. Anti-dioksimlerde OH piki geniş bir singlet halinde ortaya çıkarken, amfi-dioksimlerde (O-H----O) hidrojen köprüsü oluşumu nedeniyle protonlardan bir tanesi daha zayıf alana kaymakta , diğeri normal yerinde çıkmaktadır (Nakamoto,1970).

Oksimlerin UV-VIS spektrumlarında görülen en önemli karakteristik absorbsiyon bandı C=N grubunun $n\rightarrow\pi^*$ elektronik geçişine ait band olup yaklaşık olarak $250\text{-}300\text{ nm}$

arahıǵında görülür. Bu bileşiklerin geçiş metalleri ile oluşturdukları komplekslerde $n \rightarrow \pi^*$ geçişine ait bandlar bir miktar uzun dalga boyuna kaymaktadır.

Komplekslerin UV-VIS spektrumları kompleks geometrilerinin açıklanmasında yararlı olan d-d geçişlerini de içermektedir. Ancak bu geçişlerin yasaklı olması nedeni ile şiddetleri düşüktür. Ayrıca komplekslerin organik çözücülerde çözünürlüğünün düşük olması yapı aydınlatılmasında UV-VIS spektrumlarının kullanılmasının güçlendirilmektedir. Ayrıca kompleks ait d-d geçişlerine ait bandlar bazen ligandlara ait bandlarla çakışabilmekte, bu ise bu spektrumların kullanılmasını daha da güçlendirmektedir.

Alkol veya su gibi solventlerde 230 nm civarında glioksimler tek geniş bir band verirler. Bu bant çözeltinin pH'sına bağlıdır. Eğer pH:7'den büyükse 230 nm'deki molar absorptivite azalır ve 280 nm'de yeni bir maksimum pik ortaya çıkar.

2.1.7. Oksimlerin ve Oksim Komplekslerini Kullanımı

Oksim bileşiklerinin çelat oluşturabilme, oksijen tutma, biyolojik olarak kendiliğinden parçalanabilme özelliklerinin yanı sıra fotokimyasal ve biyolojik reaksiyonlar, antioksidan ve polimer başlatıcı reaktif, yakıtlarda oktan sayısının ayarlanması (vuruntu azaltıcı), boyar maddeler için ara ürün olarak, değerli metallerin geri kazanılmasında, deri ve dokuma sanayinde su geçirmeme özelliğinin sağlanması, magnetik teyp bantlarının yapısında, böcek öldürücü ilaçlarda, bazı antibiyotik ilaçlarda, hormonlarda, fotoğrafçılıkta, UV-stabilizatörlerde, tatlandırıcılarında, parfümerilerde, kozmetik nemlendiriciler olmak üzere pek çok kullanım alanı olması bu maddelere olan ilgiyi gittikçe artırmaktadır.

Vic-dioksimler ligant olarak koordinasyon kimyasında, bazı geçiş metallerinin kantitatif tayininde kullanılması nedeni ile analitik kimyada oldukça önemli yer tutmaktadır. Son yıllarda ülkemizde vic-dioksimler ve onların metal kompleksleri üzerinde oldukça geniş çalışmaların yapıldığı görülmektedir.

vic-dioksimlerin geçiş metal kompleksleri biyolojik model bileşikler olarak özellik göstermesi oldukça ilgi çekicidir. Canlı sistemlerdeki stabil kobalt-carbon σ bağı, mekanizmaları izahı için canlı hayat dışında model bileşiklerle yapılmıştır. Örneğin Cyano-pyridinatocobaloxime vitamin B12 modeli kabul edilir (Schrauzer and Kohne, 1964 ; Chakravorty, 1974).

Oksim ligandları kullanılarak metallerin sulu çözeltiden organik faza ekstraksiyonu ile ilgili önemli çalışmalar yapılmıştır. Standart olarak hazırlanan metal tuzları, organik fazda hazırlanan ligand çözeltisi ile organik faza ekstrakte edilmiş ve sulu fazda kalan metal derişimi AAS ile tayin edilmiş. Sonuçta organik faza ekstraksiyon verimi hesaplanarak kalibrasyon eğrileri çizilmiştir (Macit, 1996).

3. KULLANILAN KİMYASAL MADDELER VE CİHAZLAR

3.1. Kimyasal Maddeler

1,10 Fenantrolin monohidrat, H_2SO_4 (oleum, %25 SO₃), dumanlı HNO₃ hidroksiaminhidroklorür, aktif karbon Pd/C (%10 Pd), hidrazin hidrat (%80) kloral hidrat, kloroaseton, isoaminnitril, potasyum hidroksit, potasyum permanganat, sodyum hidroksit, sodyum bikarbonat, sodyum karbonat, derişik HCl, dioksan, eter, silikajel tabakalar, Merck firmasının, etil alkol, Riedel firmasının, saf çözücü ve kimyasal maddeleridir.

3.2. Çözeltiler

Potansiyometrik çalışmada aşağıdaki çözeltiler hazırlanmıştır:

A çözeltisi: HClO₄ (2.5 ml, 0.1 M), KNO₃ (5 ml, 1.0 M), etanol (17.5 ml)

B çözeltisi: HClO₄ (2.5 ml, 0.1 M), KNO₃ (5 ml, 1.0 M) LH₂'nin etanoldeki çözeltisi (2.5 ml, 0.01M), etanol (15 ml)

C ve D çözeltisi: HClO₄ (2.5 ml 0.1 M), KNO₃ (5 ml, 1.0 M), LH₂'nin Etanol deki çözeltisi (2.5 ml, 0.01M), CoCl₆.H₂O ve Ni (CH₃COO)₂.2H₂O'ün sulu çözeltisi (2.5 ml, 0.01 M), etanol (15 ml).

3.3. Kullanılan Cihazlar

1- FTIR Spektrofotometre: Mattson 1000 FTIR (KBr teknigi ile) (YTÜ).

2 - ¹H-NMR Spektrofotometre: Brucker AC-200 MHz (Çözücü olarak DMSO- d₆) (TÜBİTAK).

3 - Elementel Analiz: Carlo Erba 1106 (TÜBİTAK).

4 - Kütle Spektrofotomteresi (MS): VG Zap Spect-FAB (TÜBİTAK).

5 - UV- Vis Spektrofotometre: Philips PU 8700 UV-visible, Küvet, 10-10.45 mm Hellma, 100-QS (YTÜ).

6 - Magnetik suszeptibilite ölçümlerinde "Sherwood Scientific Magnetic Susceptibility Balance" kullanıldı (YTÜ).

7- TLC'de UV-VIS model, 50 Hz UVP (ultraviyole lamba) kullanıldı (YTÜ).

- 8 - Elde edilen saf maddelerin erime noktaları “Electrothermal IA 9100” dijital erime noktası cihazında tayin edildi (YTÜ).
- 9 - Potansiyometrik titrasyonda titratör olarak Metrohm E-415 dosimat ve Metrohm E-510 pH metre, PH ve e.m.f. ölçümlerinde Metrohm 6.0204.000 kombine cam elektrot ve reaksiyon ortamında sabit ısının temininde, termostatik su banyosu ile ısısı ayarlanabilen su ceketli titrasyon kabı kullanıldı (YTÜ).
- 10 - Su Banyosu Heisbad.
- 11- Destile Su Cihazı Maxima Ultra- Pure Water.
- 12 - Analitik Terazi Agust Sauter D- 7470.

3.4 Uygulanan Yöntemler

3.4.1 Potansiyometrik titrasyon yöntemi ile stabilite sabitinin tayini

M^{n+} ve B^{m-} gibi iki iyon, çözeltide reaksiyona girerek M_mB_n genel formülü ile ifade edilen bir kompleks teşkil eder. Stabilite iki veya daha fazla maddenin dengede bulunduğu çözeltilerdeki assosiasyon miktarını ifade eder. Verilen şartlar altında assosiasyon ne kadar büyükse, oluşan kompleks o derece sağlamdır (Bekaroğlu,1972).

Stabilite sabitlerini tayin etmek için kinetik veya dengeye dayanan medotlar vardır. İlk defa Bjerrum tarafından uygulanan denge medotları arasında potansiyometrik, polarografik, optik ve spektroskopik metodlar en çok kullanılmıştır. Stabilite sabiti assosiasyon derecesinin bir ölçümüdür. Büyük stabilite sabitleri, kompleks konsantrasyonunun onu meydana getiren bileşenlerin konsantrasyonlarına oranla daha büyük olduğunu belirtir.

Genellikle metal komplekslerinin stabilitesi, metal iyonunun yükü, merkez iyonunun çapının küçüklüğü ve elektron ilgisi ile birlikte artar. Bunun sonucu, alkali metal iyonları kompleks teşkiline çok az eğilim gösterirler. Buna karşılık eğilimi en fazla olanlar geçiş metallerinin iyonlarıdır (Thöm ve Hancock,1985).

Ligandın tabiatının kompleksin stabilitesini etkileyen faktörler ligandın bazikliği, ligand başına düşen metal şelat halka sayısı, şelat halkalarının büyülüklüğü, sterik etki, rezonans etkileri ve donör atomunun cinsi gibi faktörlere bağlıdır.

Ligandın ve ligandın metal iyonlarıyla vermiş olduğu komplekslerin stabilitelerini tayin etmek için potansiyometrik titrasyon metodu uygulanmıştır. 1.0 M KNO₃ ile iyonik şiddet sabit tutuldu. Tüm titrasyon çözeltileri toplam hacim 25 cm³ olacak şekilde hazırlandı ve sıcaklık 25°C'de sabit tutuldu. Titrasyon kabındaki çözelti azot atmosferinde magnetik karıştırıcı ile karıştırıldı. Tüm titrasyon karışımlarının seyreltme işlemlerinde aynı miktarda etanol kullanıldı.

Hazırlanan 25'er ml lik çözeltiler belirli hacimlerde 0.1'er M NaOH ile titre edilip pH ve potansiyel sabit kalana kadar beklendi ve tesbit edilen değerler kaydedildi. Çözeltideki pH değişimleri ölçülerek proton aktivitesi tesbit edildi. Daha sonra deneysel titrasyon değerlerinden yararlanarak ligand ve komplekslerinin stabilitet sabitleri potansiyometrik olarak "TITFIT" bilgisayar programı yardımıyla elde edildi.

3.4.2 Magnetik suszeptibilite ile magnetik özelliklerin tayini

Kompleksin magnetik tetkiklerinde Gouy terazisinden yararlanıldı.

Deneyde;

C_{Bal}: C_{Tüp} / (R-R_o) bağıntısından C_{Bal} düzeltme faktörü bulundu.

C_{Tüp}: Standart üzerinde yazan değer (988)

R_o : Standart üzerinde yazan değer (-33)

W₀ : Boş numune tüpünün ağırlığı

W : En az 1.5 cm olacak şekilde numune tüpüne doldurulmuş maddenin ağırlığı

m : W- W₀'dan tüpün içindeki madde miktarı

L : tüp içerisindeki madde yüksekliği

R_b : Madde dolu iken tübün aletten okunan değeri

$$\chi_g : \frac{C_{Bal} \cdot L / (R_m - R_b)}{10^9 \text{ m}} \quad (2.61)$$

eşitliği kullanılarak χ_g kütle magnetik suszeptibilitesi hesaplanır.

Molar suszeptibilite $\chi_m : \chi_g \cdot M_w$

$$\overline{\chi_m} : \chi_m - \chi_D$$

χ_D : Paskal sabitlerinden atomlara ve moleküller yapıya ait düzeltme değeri

M_w : Maddenin molekül ağırlığı, T: Ölçüm şartlarındaki ısısı.

Diamagnetik bileşikler için χ negatif paramagnetik bileşikler için χ pozitiftir.

μ_{eff} : $2.828 \sqrt{\chi_m} \cdot T$ bağıntısından efektif mag. moment elde edilir.

μ_{eff} : $\sqrt{n(n+2)}$ değeri BM Bağıntısından, n değerinden eşleşmemiş elektron sayısı bulunur.

4. DENEYSEL KISIM

4.1 Sentezler

4.1.1 Daha önce sentezlenmiş olan başlangıç maddeleri

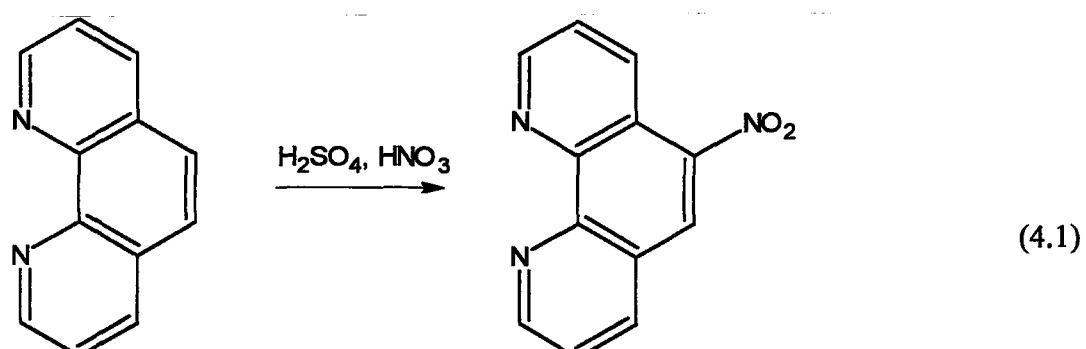
4.1.1.1 5-nitro-1,10-fenantrolin sentezi

30 g (166.6 mmol) 1,10-fenantrolin monohidrat 150 ml oleumda (%25 SO₃) çözülür ve derişik HNO₃'ün ($d=1.42 \text{ g/cm}^3$, yaklaşık %72) 80 ml si karıştırılarak ilave edilir. İlave öyle ayarlanmalıdır ki sıcaklık 170°C nin üstüne çıkmamalıdır. Nitrik asitin ilavesinden sonra 30 dakika daha sürekli karıştırılır. Reaksiyon karışımı dikkatli bir şekilde 2000 g. kırılmış buz üzerine dökülür. Kuvvetli asit çözeltisiyle muamele sonucunda, buz eridikten sonra nötral reaksiyon karışımı elde edilinceye kadar pH-kağıdı ile kontrol edilerek %30 luk NaOH çözeltisiyle muamele edilir. Aşırısı durumunda turnusol kağıdının rengi dönüşmeye kadar yeterli sulandırılmış HNO₃ ilave edilir. 5-Nitro-1,10-fenantrolin çöker. Çökelti gooch krozesi kullanılarak süzülür. Reaksiyonun çözünebilir maddelerini ayırmak için ürün soğuk suyla yıkanır. 5- Nitro-1,10-fenantrolin açık sarı kristal yapılı bir bileşiktir. Oda sıcaklığında veya 60 °C kurutulabilir.

Formül : C₁₂H₇N₃O₂

Erime noktası : 197-198 °C

Verim : % 60



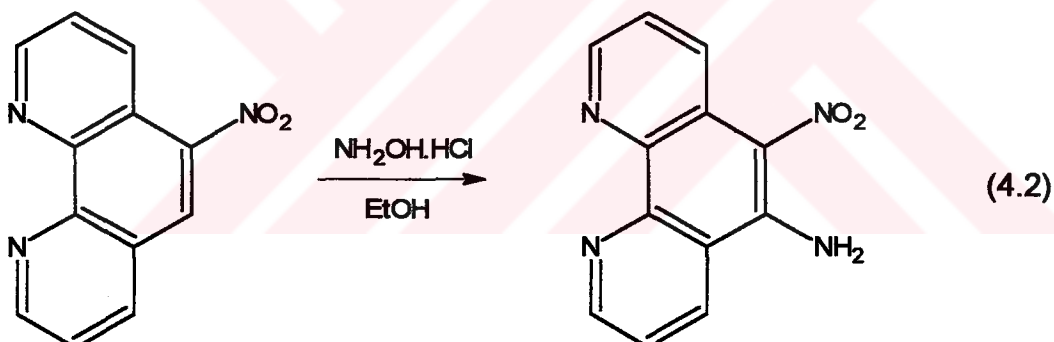
4.1.1.2 5 -Nitro-6-amino-1,10-fenantrolin sentezi

4.0 g (17.8 mmol) 5-nitro-1,10-fenantrolin ve 8.0 g (118.9 mmol) hidroksilamin hidroklorürü 100 ml. etanol içindeki süspansiyonuna 15 dak. refluş yaptırılır. Damlatma hunisi ile 100 ml etanol içinde hazırlanmış 9.0 g (160.4 mmol) KOH' in çözeltisi 45 dak. içinde damla damla ilave edilir. Reaksiyon karışımı 30 dak. daha refluş yaptırılarak soğumaya bırakılır ve 300 ml buz-soğuk su karışımına dökülür. Çökelti süzülür ve soğuk su sonra metanol ve CHCl₃ ile yıkandırılır. Ürün etil alkolde ve CHCl₃'de çözünüyor.

Formül : C₁₂H₈N₄O₂

Erime Noktası : 300 °C

Verim : % 70



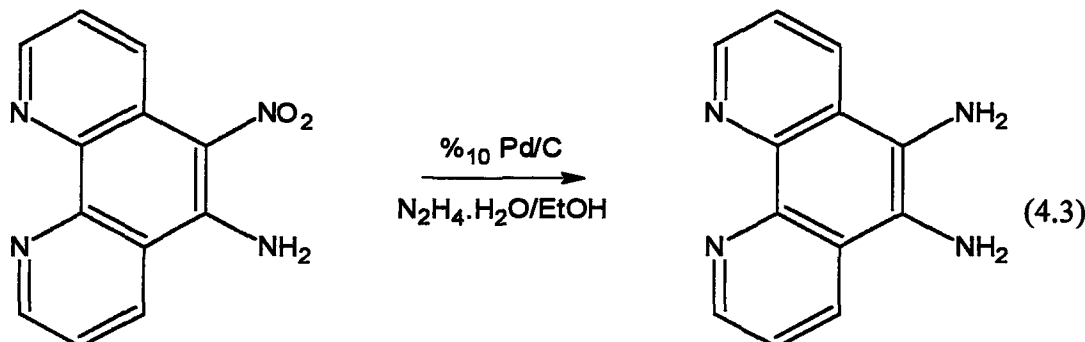
4.1.1.3 5,6-Diamino -1,10- fenantrolin sentezi

0.2 g (0.83 mmol) 5-Nitro-6-amino-1,10-fenantrolinin ve 0.1 g Pd/C (%10 Pd)'in 200ml etanol içindeki karışımına refluş yaptırılırken 1.0 ml (17.2 mmol) hydrazin hidrat damla damla 15 dak. ilave edilir. Reaksiyon karışımı 3-4 saat daha refluş edilir ve sıcakken süzülür. Vakum altında konsantr hale getirildikten sonra sarı renkteki ürün petrol eteri ilavesiyle soğuk filtrat'tan çöktürülür. Çökelti süzülür ve soğuk su sonra metanol ve CHCl₃ ile yıkandırılır.

Ürün Formül : C₁₂H₁₀N₄

Erime Noktası : 300 °C üzerinde.

Verim : % 55



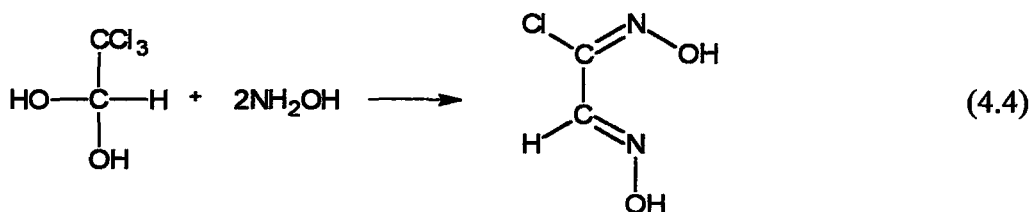
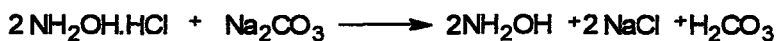
4.1.1.4 Amfi-kloro glioksim

61 g (0.877 mol) hidroksilamin hidroklorür 125 ml suda çözülür. Bu çözeltiye 48 g (0.453 mol) susuz sodyum karbonat yavaş yavaş ve karıştırarak (mekanik karıştırıcı ile) eklenir. Karıştırma işlemi bittikten sonra 50 g (0.302 mol) kloral hidrat yine yavaş yavaş ilave edilir. Bu karışım buzdolabında bir gece bekletilir. Kırımlı bir hale gelen karışımıma 54g sodyum hidroksitin 100 ml sudaki çözeltisi iç sıcaklık -5°C'yi geçmeyecek şekilde damlatılır. Bu ilave sonunda çözeltinin rengi beyazdan sarıya döner ve kloroform açığa çıkar. Daha sonra karışımıma 32-35 ml H₂SO₄ yine iç sıcaklık -5°C'nin altında olacak şekilde damlatılır. Bu kez çözeltinin rengi beyaza dönüşür. Karışım yarı saat kadar soğukta karıştırıldıktan sonra süzülür. Çökelti süzgeç kağıdında açıkta kurutulur ve eterle 5-6 kez ekstrakte edilir. Eter fazı sodyum sülfat ile kurutulup banyo sıcaklığı 35°C'yi geçmeyecek şekilde döner buharlaştırıcıda eteri ayrılır. Eter ekstraksiyonu sonucu geriye kalan çökelti suda çözülür (çoğu sodyum sülfattır) ve ayırma hunisinde eterle ekstrakte edilir. Eter fazları birleştirilir. Tüm eter uzaklaştırıldıktan sonra beyaz renkli kristaller halinde amfi-kloro glioksim elde edilir (Hantzsch, 1892 ; Houben ve Kaufmann, 1913 ; Panzio ve Baldracco, 1930).

Formül : C₂H₃CIN₂O₂

Erime noktası : madde 150 °C'de gaz çıkışıyla bozulur.

Verim : % 94,40

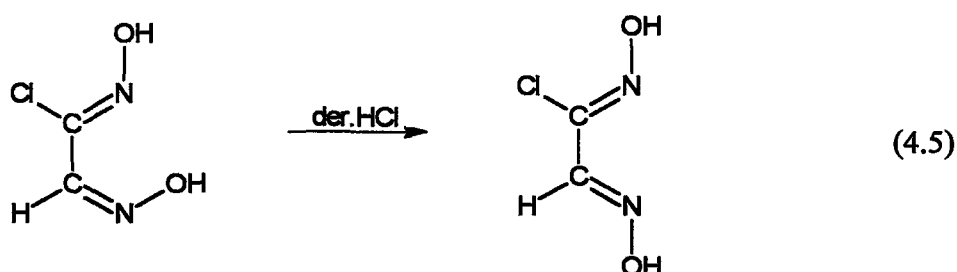


4.1.1.5 Anti-kloroglioksim

28 g (0,236 mol) klor amfi-glioksim havanda iyice öğütülp 40 ml der. HCl ile yarı saat oda sıcaklığında karıştırılır. Bu esnada karışımın rengi bejden beyaza döner. Böylece amfi- formundan anti- formuna dönüşümünü tamamladığı anlaşılır. Oluşan beyaz renkli ince çökeltiler süzülür, filtre üzerinde asidi iyice vakumla emdirilir ve desikatörde kurutulur (Panzio ve Baldracco, 1930; Brintzinger ve Titzmann, 1952).

Verim : %83,3

Erime Noktası : Madde 161 °C'de gaz çıkışıyla bozunur.



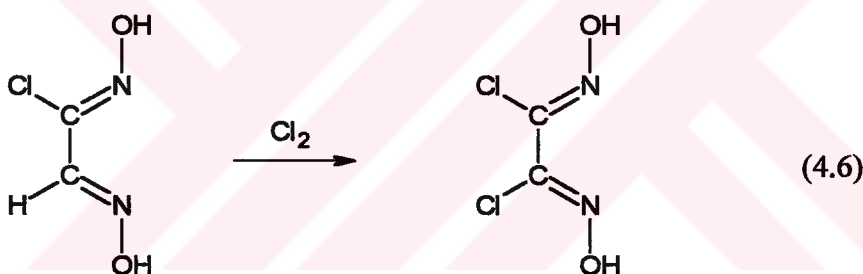
4.1.1.6. Anti-dikloroglioksim

29 g (0.236 mol) klor anti-glioksim 150 ml dioksanda çözülür ve 0 °C'de klor gazi geçirilir. Bu esnada çözeltinin rengi sarıdan yeşile döner. Klor gazi geçmeye başlayınca beyaz ipliksi kristaller halinde madde çöker. Bu çökeltiler süzülür. Diklor metanla yikanarak etüvde 100-110°C'de kurutulur. Dioksanlı süzüntüden tekrar klor gazi geçirilir. Çökme varsa yine süzülür. Böylece hiç çökme olmayincaya kadar klor gazi geçirmeye devam edilir. Oluşan çökeltiler birleştirilerek toluen:etanol karışımından (400 ml toluen + 25ml etanol) kristallendirilir (Panzio and Baldracco, 1930 ; Brintzinger and Titzmann, 1952).

Formülü : C₂H₂Cl₂N₂O₂

Erime noktası : 212-214 °C

Verim : %40.5



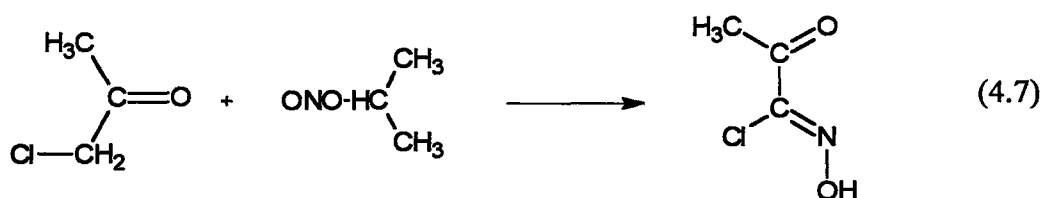
4.1.1.7 Klor- isonitroso aseton

Klor suyuyla doyurulmuş 100 ml eter içindeki 9.2 g monokloroaseton çözeltisine yavaş yavaş buzlu su ile soğutulmuş 11.7 g. isoamilnitril ilave edilir. Koyu kırmızı bir çözelti oluşur. Kalsiyum klorürün bulunduğu ortamda bir gece bekletilir. Kalsiyum klorür süzülerek ortamdan uzaklaştırılır. 60°C'de vakumda eter buharlaştırılarak uzaklaştırılır, yüksek verimle bir çökelti elde edilir. Nuche erleni üzerinde petrol eteri ile yılanır. (Hesse ve Krehbiel, 1955 ; Uçan ve Karataş, 1993).

Formülü : C₃H₄ClNO₂

Erime Noktası : 107-108 °C

Verim : %61



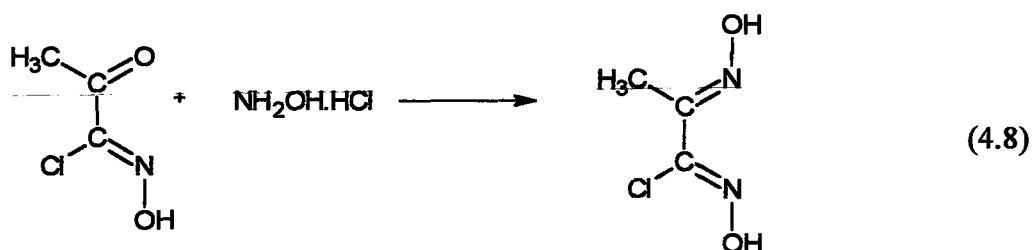
4.1.1.8 Anti-klorometilglioksim

Klor-isonitrosso aseton ile hidroksilamin hidrokloridinin su ile konsantrə çözeltisi hazırlanır. İğne şeklinde kristaller oluşur (Hesse ve Krehbiel, 1955 ; Uçan ve Karataş, 1993).

Ürün Formülü : C₃H₅CIN₂O₂

Erime noktası : 181-182 °C'dir.

Verim : % 72



4.1.2 Yeni Maddelerin Sentezi

4.1.2.1 1,10-Fenantrolino(5,6-b)2,3 dihidroksiimino(1,4)diazin (L_1)

1.6 mmol (0.336 g) 5,6 diamino-1,10-fenantrolinin 100ml mutlak etanoldeki çözeltisine aşırı katı NaHCO_3 katılıp, 30 dakika karıştırılır. Bu karışımı 0.437g anti-dikloroglioksim 10 ml etanoldeki çözeltisi 1 saat içinde damlatılır ve yaklaşık 65°C de 1.5 saat karıştırılır. Oda sıcaklığına soğutulur ve süzülür. Etanolde fraksiyonlu kristallendirerek saflaştırılır. 40°C 'de Vakum etüvünde kurutulur. Sentez reaksiyonu Şekil Ek 1.5'de görülmektedir.

Formülü : $\text{C}_{14}\text{H}_{10}\text{N}_6\text{O}_2$

Verim : % 48

Erime Noktası : $> 350^\circ\text{C}$

Çözünürlük : Bu bileşik etanolde ve kloroform'da çok az, DMSO'da az çözünmektedir.

IR (KBr tablet): $\nu=3200$ (OH), 3400 (NH), 3040 (Ar-CH), 1625 (C=N),

961 (N- O) cm^{-1} .

$^1\text{H-NMR (DMSO-d}_6$: $\delta = 9.81$ (s, N-OH), 7.80 (m, Ar-H), 8.99(m, Ar-H)

9.24 (s, C-NH).

Elementel Analiz: $\text{C}_{14}\text{H}_{10}\text{N}_6\text{O}_2$ (294 g/mol)

Hesaplanan : C, 57 ; H, 3.4 ; N, 28.5

Bulunan : C, 58.3 ; H, 3.58 ; N, 27.25

4.1.2.2 1,10-Fenantrolino(5,6-b)2,3 dihidroksiimino(1,4)diazin kobalt(II) kompleksinin sentezi (L_1 -Co)

0.320 g (1 mmol) L_1 ligandı 60 °C'de 200 ml etanolde reflux ettirilerek çözünür. 1 mmol (0.238 g) $\text{CoCl}_2 \cdot 6\text{H}_2\text{O}$ 10 ml mutlak alkoldeki çözeltisi ilave edilir. 60 °C'de 30 dak. karışım reflux edilir. pH=6'ya gelene kadar 0.05 N NaOH ilave edilerek. Co(II) kompleksinin tamamen çökmesi sağlanır. Çökelti etil alkol ile saflaştırılır.

Formülü : $C_{28}H_{24}N_{12}O_7Co_2$

Erime Noktası : >350°C;

Verim : %30.18

Çözünürlük : Ürün etanol, kloroform ve DMSO'da çok az çözülmektedir.

IR (KBr): $\nu = 3640$ (OH), 3113 (Ar-CH), 1651 (C=N), 1421(OH---O), 1100 (N-O) cm^{-1}

$^1\text{H-NMR}$: Çözünürlüğü DMSO ve CDCl_3 'da çok az olduğundan $^1\text{H-NMR}$ ile yapısı aydınlatılamadı.

Kütle Spektroskopisi (MS): Moleküler iyon (M+1) ait pik, m/z 758.9 olarak belirlenmiştir

Magnetik Ölçümler :

Hesaplanan değer : $\mu = 7.6$ B.M.

Bulunan değer : $\mu = 7.5 - 8.0$ B.M.

4.1.2.3 1,10-Fenantrolino(5,6-b)2,3 dihidroksiimino(1,4)diazin nikel (II) kompleksinin sentezi ($L_1\text{-Ni}$)

1 mmol (0.320 g) L_1 ligantı 60 °C'de 200 ml etanolde reflüx ettirilerek çözünür. 1 mmol (0.238 g) nikel asetat'ın 10 ml mutlak alkoldeki çözeltisi ilave edilir. 60 °C'de 30 dakika karışım reflüx edilir. pH=6'ya gelene kadar 0.05 N NaOH ilave edilerek Ni(II) kompleksinin tamamen çökmesi sağlanır. Çökelti etil alkol ile saflaştırılır.

Ürün Formülü : $C_{28}H_{18}N_{12}O_4Ni_2$

Verim : %28.69

Erime noktası : >350°C

Çözünürlük : Ürünün DMSO ve kloroformda çözünürlüğü oldukça az.

IR(KBr): $\nu = 3650$ (NH), 3113 (Ar-CH), 1630 (C=N), 1421(OH---O), 1038 (N-O) cm^{-1}

$^1\text{H-NMR}$: Çözünürlüğü DMSO ve CDCl_3 'da çok az olduğundan $^1\text{H-NMR}$ ile yapısı aydınlatılamadı.

Magnetik Ölçümler:

Hesaplanan değer : $\mu = 5.6$ B.M.

Bulunan değer : $\mu = 5.5 - 6.0$ B.M.

4.1.2.4 1,10-Fenantrolino-5,6-bis (2,3-dihidroksiimino-1-aza)propan (L_2)

1.6 mmol (0.336g) 5,6 diamino-1,10-fenantrolinin 100 ml mutlak etenoldeki çözeltisine aşırı katı NaHCO₃ katılır. 30 dak. karıştırılır. Bu karışımı 0.874 g anti-klorometilglioksim 10 ml etanoldeki çözeltisi damlalıkla 1 saat içinde katılır. Yaklaşık 65 °C de 1.5 saat karıştırılır. Oda sıcaklığına soğutulur ve süzülür. Etanolde fraksiyonlu kristallendirmeye tabi tutularak saflaştırılır. 40°C'de vakum etüvünde kurutulur. Sentez reaksiyonu Şekil Ek 1.17'de görülmektedir.

Formülü : C₁₈H₁₈N₈O₄

Verim : % 36.4

Erime noktası : >350°C

Çözünürlük : Ürünün etanol, DMSO ve kloroformda çözünürlüğü oldukça az.

IR (KBr tablet) : $\nu = 3452$ (OH), 3030 (Ar-CH), 1625 (C=N), 961 (N-O) cm⁻¹.

¹H-NMR (DMSO-d6) : $\delta = 11.90$ ve 12.45 (s, N-OH), 9.24 (s, C-NH), 7.9 (m, Ar-H), 2.20(s,CH₃),

Elementel Analiz : C₁₈H₁₈N₈O₄ (410 g/mol)

Hesaplanan : C, 52.6 ; H, 4.4 ; N, 27

Bulunan : C, 53.2 ; H, 4.8 ; N, 27.8

4.1.2.5 1,10-Fenantrolino-5,6-bis (2,3-dihidroksiimino-1-aza)propan kobalt (II) kompleksinin sentezi (L_2 -Co)

1 mmol (0.294 g) L_2 ligantı 60 °C'de 200 ml etanolde reflüx yaptırılarak çözünür. 1 mmol (0.238 g) $CoCl_2 \cdot 6 H_2O$ 10 ml mutlak alkoldeki çözeltisi ilave edilir. 60°C'de 30 dak. karışım reflüx edilir. pH=6'ya gelene kadar 0.05 N NaOH ilave edilerek Co(II) kompleksinin tamamen çökmesi sağlanır. Çökelti etil alkol ile saflaştırılır.

Formülü : $C_{36}H_{32}N_{16}O_8Co_3$

Verim : %25,8

Erime noktası : >350°C

Çözünürlük : Ürünün alkol, DMSO ve kloroformda çözünürlüğü oldukça az.

IR (KBr tablet): $\nu = 3560$ (NH), 3090 (Ar-CH), 1651 (C=N), 1422 (OH---O), 1110 (N- O) cm^{-1} .

Magnetik Ölçümler:

Hesaplanan değer : $\mu = 11.4$ B.M.

Bulunan değer : $\mu = 11.78$ B.M.

4.1.1.6 1,10-Fenantrolino-5,6-bis (2,3-dihidroksiimino-1-aza)propan nikel(II) kompleksinin sentezi (L_2 -Ni)

Formülü : $C_{36}H_{32}N_{16}O_8Ni_3$

Verim : %23.2

Erime noktası : >350°C

Çözünürlük : Ürünün alkol, DMSO ve kloroformda çözünürlüğü oldukça az.

IR (KBr tablet) : $\nu = 3650$ (NH), 1630(C=N), 1038 (N-O), 1421 (OH---O)

Magnetik Ölçümler :

Hesaplanan değer : $\mu = 8.4$ B.M.

Bulunan değer : $\mu = 8.81$ B.M.

5. TARTIŞMA ve SONUÇLAR

Deneysel çalışmaya 1,10-fenantrolinin der. sülfirik asit ve dumanlı nitrik asit ile nitrolama reaksiyonu sonucunda, 5-nitro-1,10-fenantrolin (**4.1**) sentezi ile başlanmıştır, daha sonra, 5-nitro-1,10-fenantrolin KOH'lu ortamda, hidroksilamin hidroklorürün etanoldeki çözeltisi ile aminlenmiş 5-nitro-6-amino-1,10-fenantrolin (**4.2**) elde edilmiş ve 5-nitro-6-amino-1,10-fenantrolin hidrazin hidrat ve Pd/C ile indirgenerek, 5,6-Diamino-fenantrolin (**4.3**) literatürde belirtildiği gibi sentezlenmiştir (Smith vd., 1947 ; Amouyal vd., 1990 ; Bolger vd., 1996 ; Camren vd., 1996). 5,6-diamino-fenantrolin ile laboratuvarımızda literatürde belirtildiği gibi sentezlenen (Uçan, İ. ve Karataş İ., 1993; Hesse, G. and Krehbiel, G., 1955; Panzio, G., 1930; Brintzinger, H., 1952) oksim türevleri olan, anti-dikloroglioksim (E,E-dikloroglioksim) ve anti-klorometilglioksimin reaksiyonundan, teşekkür eden HCl'i nötürleştirmek için karışma aşırı NaHCO₃ katılarak %54 verimle koyu kahve renkte, kristalize halde **1,10-fenantrolino(5,6-b)2,3-dihidroksiimino(1,4)diazin (L₁)** ve %49 verimle açık kahve renkte kristalize halde **1,10-fenantrolino-5,6-bis(2,3-dihidroksiimino-1-aza)propan (L₂)** ligandları sentezlenmiştir. Ligantlar etil alkol ile fraksiyonlu kristalizasyon yardımı ile saflaştırılmış, hidroskopik özelliğe sahip olduklarıdan 60°C'de vakum etüvünde kurutulmuştur. Elde edilen her iki ligand da vic-dioxim yapısındadır ve yaptığımız literatür taramasına göre, sentezi ve özellikleri ile ilgili herhangi bir yayına rastlanmamıştır.

L₁ ve L₂ ligandları ile CoCl₂.6H₂O ve Ni(CH₃COO)₂'ın mutlak etanoldeki çözeltilerinin reflux işlemi sonunda, 0.05M NaOH (etanol'de) ile uygun pH'a getirilerek Co(II) ve Ni(II) kompleksleri elde edildi.

Ligandlar ve kompleksleri, elementel analiz, UV-Vis, FTIR, ¹H NMR ve MS spektrofotometri, magnetik süszeptibilite ve potansiyometrik tetkikler ile tanımlanmıştır.

Elementel Analiz Değerleri

Çizelge Ek 2.1'de sentezlenen maddelere ait elementel analiz ve saptanan fiziksel değerler görülmektedir. L_1 ve L_2 ligandlarının elementel analiz değerleri ile teorik değerlerinin uygunluk gösterdiği saptanmıştır. Ancak, Co(II) ve Ni(II) komplekslerinin, elementel analiz değerleri teorik değerlerden farklıdır. Bu farklılığın, komplekslerin nem çekici özelliğinden, verimin çok düşük oluşandan ve safsızlıkların varlığından kaynaklandığını düşünmektedir.

^1H NMR Değerleri

Komplekslerin çözünürlükleri CHCl_3 ve DMSO'da denediğimiz diğer solventlere göre biraz daha fazla ancak ^1H NMR ölçümü için yetersiz kaldığından L_1 ve L_2 komplekslerinin, ^1H NMR tetkikleri yapılamamıştır.

L_1 ligandının ^1H NMR spektromundan 3 çeşit proton tespit edilmiş, 9.81 ppm'de N-OH'a ait singlet, 7.80-8.99 ppm de iki farklı yerde Ar-H'e ait multiplet ve 9.22 ppm'de C-NH'e ait singlet görülmüştür. D_2O ilavesinden sonra N-OH ve NH protonlarına ait piklerin kaybolduğu gözlenmiştir (Şekil Ek 1.13, Çizelge Ek 2.2)

L_2 ligandının ^1H NMR spektromundan 4 çeşit proton tespit edilmiş, 11.90 ve 12.45 ppm'de iki farklı yerde asimetrik N-OH'a ait siglet, 7.9-9.10 ppm'de , Ar-H'e ait multiple 2.2 ppm de $-\text{CH}_3$ ait singlet ve 9.20 ppm'de C-NH'a ait singlet görülmüştür. D_2O ilavesinden sonra -NH, N-OH protolarına ait piklerin kaybolduğu gözlenmiştir (Şekil Ek 1.25, Çizelge Ek 2.2)

UV-Vis Spektrum Değerleri

Ligandların ve kompleks gruplarının UV spektrofotometrik tetkiki için uygun çözücüler saptandı. L_1 ligandi için, DMSO, etanol ve kloroform çözücü olarak denendi. L_1 ligandının ve L_1 -Co kompleksinin, seçilen çözüçülerdeki doymuş çözeltilerinin UV spektrumlarının tetkikinden, DMSO'daki çözeltinin daha şiddetli ve ayrıntılı absorbsiyon

vermesi nedeni ile çözücü olarak DMSO seçildi. L_1 ligandi, L_1 -Co ve L_1 -Ni komplekslerinin DMSO'lu ortamda UV spektrumları incelendiğinde çözünürlüklerinden dolayı L_1 , L_1 -Co ve L_1 -Ni sırasına göre absorbanslarının düştüğü gözlenmiş, ligandın ve komplekslerinin yük-transfer geçişleri aynı dalga boyuna rastladığından bu geçişlerin belirgin bir farklılık gözlenmemiştir (Şekil Ek 1.8, Ek 1.9). L_2 ligandi ve kompleksleri için DMSO ve etanol çözümleri denendi en uygun çözümcünün etanol olduğu görüldü. L_2 , L_2 -Co, L_2 -Ni komplekslerinin etanoldeki UV spektrumları karşılaştırıldığında L_1 'de olduğu gibi L_2 ve kompleksleri aynı renkte olduğundan, spektrumlarında belirgin bir farklılık gözlenmedi (Şekil Ek 1.20, Ek 1.21).

Sentezlenen ligandların ve komplekslerinin UV-Vis spektrum değerleri, literatürde belirtilen benzer oksim ligandi ve komplekslerine ait spektrum değerlerine benzemektedir. UV spektrofotometrik tetkiklerden ligand ve komplekslerde yer alan C=N' a ait 350 nm'den aşağıda ($n-\pi^*$) ve ($\pi-\pi^*$) geçişlerine ait kuvvetli bantlar görülmektedir (Çizelge Ek 2.4).

IR Değerleri

L_1 liganda ait KBr'lü tabletlerinin IR spektrumunda NOH'a ait pik 3200 cm^{-1} , NH'a ait 3400 cm^{-1} de, Ar-CH'e ait pik 3040 cm^{-1} , C=N'e ait pik 1625 cm^{-1} , C-N'e ait pik 1089 cm^{-1} , N-O'e ait pik 961 cm^{-1} gözlenmiştir (Şekil Ek 1.10, Çizelge Ek 2.3). Ligandın oluşumu, 5,6-diamino-1,10-fenantroline ait Şekil Ek 1.3'de görülen 3200 - 3400 cm^{-1} aralığında NH₂'ye ait pikin simetrik ve asimetrik titreşimlerinin kaybolup, 1625 cm^{-1} de oldukça belirgin C=N ait pikin ortaya çıkması ile karakterize edildi.

L_2 ligandının IR spektrumunda NOH'a ait pik 3452 cm^{-1} , Ar-CH'e ait pik 3030 cm^{-1} , CH'a ait pik 2960 - 2883 cm^{-1} , C=N'e ait pik 1651 cm^{-1} , N-O'ya ait pik 1010 cm^{-1} de gözlenmiştir (Şekil Ek 1.22, Çizelge Ek 2.3).

L_1 ve L_2 komplekslerinin IR spektrumunda C=N, N-O gibi karakteristik gruplara ait absorbsiyon bandlarının yerlerinin hemen hemen hiç değişmedi. Ancak, 3200 - 3400 cm^{-1} deki O-H gerilim bandı zayıflayıp, 1421 cm^{-1} de belirginleşti ve 3565 cm^{-1} de N-H bandı kuvvetlendi. Yaptığımız literatür araştırmasına göre, gözlenen değişim moleküller

arası hidrojen bağından (intermoleküler) kaynaklanmaktadır (Silverstein vd., 1974 ; Sutherland, 1940) (Şekil Ek 1.11, Ek 1.12, Ek 1.23, Ek 1.24).

MS Değerleri

Şekil Ek 1.14'de görülen, L₁-Co kompleksinin FAB (hızlı atom bombardımanı) yöntemi ile elde edilen kütle spektrumu incelendiğinde moleküller iyona ait pik, m/z: 758.9 (M+1) olarak belirlenmiştir. L₁-Co kompleksinin molekül formulünün, daha ziyade MS ve magnetik özelliklerini dikkate alarak geometrik şeklinin Şekil B2'da görüldüğü gibi, kapalı formülünün: C₂₈H₂₂O₂₄N₁₂O₇Co₂, buradan da molekül ağırlığının 758 olduğunu düşünmekteyiz.

Magnetik Süsseptibilite Değerleri

Sentez edilen komplekslerin magnetik süsseptibiliteri ölçüleerek elde edilen değerlerden magnetik özellikler saptandı. Hesaplanan değerler teorik değerlerle karşılaştırılarak metallerin değerlik tabakasındaki eşleşmemiş elektron sayıları, hibrit türü, koordinasyon sayısı ve geometrisi bulunmaya çalışıldı (Çizelge Ek 2.5).

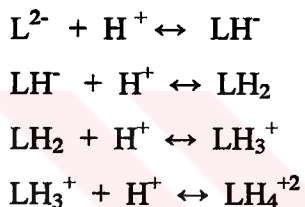
Magnetik tetkiklerden sonra elde edilen sonuçlara göre, her bir Co(II) atomu üç, Ni(II) atomu iki eşleşmemiş elektrona sahiptir. Eşleşmemiş elektron sayılarından, L₁ ligandının, Co(II) ve Ni(II) komplekslerinin high spin yapıda, sp³ hibritini oluşturacak şekilde tetrahedral geometride olduğu saptanmıştır (Şekil Ek 1.6, Ek 1.7).

L₂ ligandının Co(II) ve Ni(II) komplekslerinin sentezinde verim çok düşük olduğundan, magnetik süsseptibilite ölçümleri için yeterli olan miktara ulaşılamamış, ancak, her iki kompleksin'de paramagnetik olusundan, Ni(II) kompleksin sp³ hibritini oluşturacak şekilde tetrahedral geometride olduğu saptanmış, Co(II) kompleksinin geometrisi diğer verilere göre tahmin edilmeye çalışılmıştır (Şekil Ek 1.18, Ek 1.19).

Potansiyometrik Tetkikler

Ligandların Co(II) ve Ni(II) komplekslerinin stabilité ve protonasyon sabiti değerleri potansiyometrik titrasyon metodu kullanılarak, TITFIT bilgisayar programı ile hesaplanmıştır. Bu titrasyon ortamının iyonik şiddetini sabit tutmak için 0.1M NaNO₃ çözeltisi, titrasyon sırasında pH ölçümleri için kombine cam elektrod kullanılmıştır. pH tetkiklerinde, kalibrasyon işlemleri pH: 4 ve 7 tamponları ile yapılmıştır.

L₁ ligandi için protonasyon sabitlerinin değerleri logK₁= 10.67, logK₂= 6.31, logK₃= 4.87 ve logK₄= 4.44 olarak hesaplanmıştır (Şekil Ek 1.15, Çizelge Ek 2.6). Bunlarla ilgili denklemler aşağıdaki gibidir.



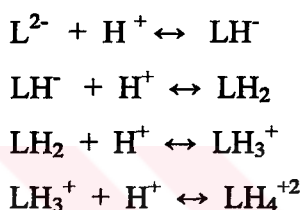
Şekil Ek 1.15'deki dağılım diyagramı incelendiğinde, H₄L²⁺ ligand türü pH: 2–6 arasında oluşmaktadır. H₃L⁺ ligand türü pH: 2–7 arasında oluşmaktadır. En iyi olduğu pH şartları ise yaklaşık pH: 5'dir. H₂L ligand türü pH: 4–8.5 arasında oluşmaktadır. En iyi olduğu pH şartları ise yaklaşık pH: 6'dır. pH arttıkça ortadan kaybolmakta ve en son pH : 8.5'de yok olmaktadır. HL⁻ ligand türü pH: 5-12 arasında oluşmaktadır. En iyi olduğu pH şartları ise yaklaşık pH: 9'dır. pH arttıkça ortadan kaybolmakta ve en son pH: 12'de yok olmaktadır. L₁ ligand türü pH: 8.5'de oluşmakta ve artan pH ile birlikte konsantrasyonu artmaktadır.

Co(II) ile L₁'nin titrasyondatalarından TITFIT programı yardımıyla protonlu, nötral ve hidrokso komplekslerinin oluşum özellikleri incelenmiştir. L₁-Co(II) kompleksinin değişik pH'lardaki oluşumlarına ait dağılım diagramları, Şekil Ek 1.16 ve Çizelge Ek 2.7'de görülmektedir. Co²⁺, pH: 2–8 arasında mevcut bulunmakta. Artan pH ile birlikte ortamda azalmaktadır. CoLH kompleksi pH: 4–8.5 arasında oluşmaktadır. En iyi olduğu pH şartları ise yaklaşık pH: 6'dır. pH arttıkça ortadan kaybolmakta ve en son pH: 8.5'de yok olmaktadır. CoL kompleksi pH: 5-10 arasında oluşmaktadır. En iyi olduğu pH şartları ise yaklaşık pH: 8'dır. pH arttıkça ortadan kaybolmakta ve en son pH: 10'da yok olmaktadır.

CoL(OH)_2 kompleksi pH: 8'de oluşmakta ve artan pH ile birlikte konsantrasyonuda büyümektedir.

$\text{L}_1\text{-Ni}$ 'nin titrasyondatalarından TITFIT programı yardımıyla protonlu, nötral ve hidroksocomplekslerinin oluşum özellikleri incelenmiştir. Değişik pH'lardaki kompleks oluşum değerleri belirlenmiş ve Çizelge Ek 2.8'de gösterilmiştir.

L_2 ligandi için protonlaşma sabitlerinin değerleri $\log K_1 = 9.64$, $\log K_2 = 7.36$, $\log K_3 = 6$ ve $\log K_4 = 5$ olarak hesaplanmıştır (Çizelge Ek 2.9). Bunlarla ilgili denklemler aşağıdaki gibidir.



Şekil Ek 1.26 incelendiğinde, H_4L^{2+} ligand türü pH: 2–6.5 arasında oluşmaktadır. H_3L^+ ligand türü pH: 2–8 arasında oluşmaktadır. En iyi olduğu pH şartları ise yaklaşık pH: 5.5'dir. H_2L ligand türü pH: 4–9.5 arasında oluşmaktadır. En iyi olduğu pH şartları ise yaklaşık pH: 7'dir. pH arttıkça ortadan kaybolmakta ve en son pH: 9'da yok olmaktadır. HL^- ligand türü pH: 5.5–12 arasında oluşmaktadır. En iyi olduğu pH şartları ise yaklaşık pH: 9'dır. pH arttıkça ortadan kaybolmakta ve en son pH: 12'de yok olmaktadır. L_2 ligand türü pH: 7.5'de oluşmakta ve artan pH ile birlikte konsantrasyonunda büyümektedir.

Co(II) ile L_2 'nin titrasyon datalarından TITFIT programı yardımıyla protonlu, nötral ve hidroksocomplekslerinin oluşum özellikleri incelenmiştir. $\text{L}_1\text{-Co(II)}$ kompleksinin değişik pH'lardaki oluşumlarına ait dağılım diagramları, Şekil Ek 1.27 ve Çizelge Ek 2.10'da görülmektedir. Co_2L pH: 5–12 arasında mevcut bulunmaktadır. Artan pH ile birlikte ortamda azalmaktadır. Co_2LH kompleksi pH: 4–7 arasında oluşmaktadır. En iyi olduğu pH şartları ise yaklaşık pH: 5.5'dir. Co_2LH_2 kompleksi pH: 3.5–6 arasında oluşmaktadır. En iyi olduğu pH şartları ise yaklaşık pH: 4.5'dir. Co_3L_2 kompleksi pH: 5.5–8'de oluşmakta ve En iyi olduğu pH şartları ise yaklaşık pH: 7'dir.

L_2 ve $L_2\text{-Ni(II)}$ kompleksinin titrasyon datalarından TITFIT programı yardımıyla protonlu, nötral ve hidrokso komplekslerinin oluşum özellikleri incelenmiştir. Değişik pH'lardaki kompleks oluşum değerleri belirlenmiş ve Çizelge Ek 2.11'de gösterilmiştir.

Diğer Bulgular

L_1 ligandının Co(II), Ni(II) komplekslerinin M/L oranlarının, sırası ile 1/1, 1/1 olduğu MS ve magnetik tetkikler yardımı ile bulunmuştur. Bu oranların saptanmasında Devamlı Değişim ve AAS yöntemleri, ligantların ve komplekslerinin aynı renkte, görünür bölgedeki absorbanslarının çok zayıf, ligandların molekül ağırlığının çok büyük, nem çekici oluşundan ve belirli molaritede çözeltisinin hazırlanamamış olmasından uygulanamamıştır.

L_1 ligantı, N_4 donör atomlarına sahiptir. Ligandın, 1H NMR ve potansiyometrik tetkiklerinden LH_2 yapısında ve iki değiştirilebilen protona sahip olduğu saptanmıştır.

L_2 ligandi N_6 donör atomlarına sahiptir. Ligandın, 1H -NMR ve potansiyometrik tetkiklerinden LH_4 yapısında ve dört değiştirilebilen protona sahip olduğu saptanmıştır.

$L_1\text{-Co(II)}$, $L_1\text{-Ni(II)}$, $L_2\text{-Co(II)}$ ve $L_2\text{-Ni(II)}$ kompleksleri, iyonik komplekslerdir . Etil alkol çözücü olarak kullanılıp, iletkenlik değerleri bulunmaya çalışılmıştır. İletkenlik özelliklerinin olduğu ancak, komplekslerin çözünürlüklerini çok küçük oluşundan, iletkenliğin sayısal değerleri net olarak belirlenmemiştir.

KAYNAKLAR

- Amouyal, E., Hamsi, A., Chambron, J.C. ve Sauvage, J.P. (1990), "The 5-NO₂-phen. Obtained was recrystallized", J.Chem. Soc. Dalt. Trans., 1841-1845.
- Angeli, A. (1890), Ber. Dtsch. Chem. Ges., 23, 1358.
- Bamberger, E. and Seligman, R. (1903), Ber. Dtsch. Chem. Ges. , 36, 3831.
- Bekaroğlu, Ö. (1972), Koordinasyon Kimyası, İ.Ü.Kimya Fakültesi, İstanbul.
- Bischoff, A.C., Nastvogel, O. (1890), Ber. Dtsch. Chem. Ges., 23. 2027.
- Brintzinger, H., Titzmann, R. (1952), "Some Halogenated Aliphatic Oximes" Chem. Ber., 85,344-345.
- Bolger, J., Gourdon, A., Ishow, E., Lavray, J.P. (1996), "Tetrapyrido Phenazine Rhenium and Osmium Complexes" Inorg. Chem., 35, 2937.
- Bovey, F.A. (1967), "NMR Data Tables For Organik Compounds", John-Wiley & Sons, Interscience, 1, 168.
- Boyer, J.H., Toggweller, U., Stoner, G.A. (1957), "Spektrophotometric Reletions Between Furoxans and Nitroso Compounds" J.Am. Chem. Soc., 79, 1748-1751.
- Boyer, J.H. (1969), "The Chemistry of the Nitro and Nitroso Group" H.Feuer, Ed., Interscience, New York, 235.
- Butler, R.N, Scott, F.L. and D'mahony T.A.F. (1973), "Reactions of Lead Tetraasetate with Substituted Azomethines", Chemical Reviews, 73, 97-98.
-
- Camren, H., Chang, M.Y., Zeng, L., Mc Gure, M.E. (1996), "Synthesis of Novel Substituted 1,10-Phenanthrolines", Synth. Commun., 26(6), 1247-1252.
-
- Chakravorty, A. (1974), "Structual Chemistry of Transition Metal Complexes of Oximes" Coord. Chem. Rev., 13. 1-46.
- David, A. S. (1966), Organic Chemistry, 318-319.
- Donald, J.C., Hammond, G.S. (1964), Organic Chemistry, Mc Graw-Hill Book Company, 378-379.
- Elliot, R.A. (1950), Principles of Ionic Organic Reactions, John Wiley & Sons, New York, 72-75.
- Feigl, F. (1946), Chemistry of Spesifik Selektive on Sensetive Reactions, Academic Press, New York. 5, 408.
- Feist, F. (1894), Ber.Dtsch. Chem. Ges., 27 , 213.

Finar, T.L., B.Sc., Ph.D (london), A.R.I.C. (1973), Organic Chemistry, 1, 754-755.

Forster, M.O. (1915), J.Chem.Soc., 107, 260.

Freeman, J.P. (1973), "Less Familiar Reaction of Oximes", Chem. Rew., 73, 283-292.

Gnichtel, H. , Walentowski, R , ve Scuhuster, K.E. (1972), Chem. Ber., 105, 1701.

Godyckl, E. ve Rundle, R.E. (1953), Acta Cryst., 6, 487.

Grundmann, C., Mini, V., Dean, J.M. ve Frommell, H. D. (1965), Ann. Chem. 687, 191-21.

Grundmann , C. (1966), "VI Some Novel Addition Reactions of Aromatic Nitrile Oxides. J.Org. Chem., 31, 157-162.

Hantzsch, A. (1892), Ber.Dtsch. Chem. Ges., 25, 708-709.

Hense, G. ve Krehbiel, G. (1955), Chem. Ber., 88, 130.

Houben, J. ve Kaufmann, H. (1913), "Chloroglyoximes, Oxime Derivatives of Oxalyl Chloride and Oxalyl Hemichloride and Cyanoformyl Chloride Oxime" Ber. Dtsch. Chem. Ges., 46, 2821-2824.

Jeremian, P. (1973), Frieeman Chemical Reviews, 4, 73.

Just, G. ve Dahl, K. (1968), "Bis(phenylsulfonyl) Diazomethane was obtained by LTA Oxidation of The Corresponding Hydrazone" Tetrahedron, 24, 5251.

Kotera, K. ve Kitahonoki, K. (1969), Org. Prep. Proced., 1, 305.

Layer, R. W. (1962), The Chemistry of Imines, 490-491,

Layton, M.E., Kross, D. R. ve Fassel, A.V. (1956), "Correlation of Bond Length with Stretching Frequency for Carbon–Oxygen and Carbon–Nitrogen Systems" Journal of Chemical Physics, 25, 135-138.

Manning, D.T. ve Stansbury, H.A. (1959), J.Amer.Chem.Soc., 81, 4885.

Nakamoto, K. (1970), "Infrared Spectra of Inorganik and Coordination Compounds", 2nd Edit., John-Wiley & Sons Interscience, New York.

Nesmeyanov, A.N. (1981), Fundamentals of Organik Chemistry ,3,167-181,Moscow

Noller, R.C. (1960), Chemistry of Organik Compounds, W.B.Saunders Company, 210-211.

Panzio, G. ve Baldracco, F. (1930), "Dioximes" Gazz. Chem. Ital., 60, 415-429

Patai, S. (1975), The Chemistry of The Hydrazo, Azo and Azoxy Groups, John-Wiley & Sons, Inc., 212-213.

Pilgrim, K. (1970), J. Org. Chem., 35, 1165.

Ploty, O. ve Steinback, H. (1894), Ber. Dtsch. Chem. Ges., 27, 2193-2201.

Ploty, O. ve Steinback, H. (1902), Ber. Dtsch. Chem. Ges., 35, 313.

Riemsomer, J. L. (1945), Chem. Rev., 36, 157.

Schrauzer, G.N. ve Kohne, J. (1964), Ber. Dtsch. Chem. Ges. 97, 3056.

Serin, S. (1980), "1,3-Difenil-2-Tio-4,5-Bishidroksimino1,2,4,5,-Tetrahidro İmidazol Eldesi, Geometrik İzomerleri ve Bazı Transisyon Metalleri İle Kompleks Formasyonları" K.T.Ü. Doktora Tezi.

Silverstein, R.M., Bassler, G.C., Morrill, T.C. (1974), Spektrometric Identification of Organik Compound, John Wiley Sons. Inc., New York.

Smith, P.A.S. (1966), The Chemistry of Open-Chain Organik Nitrogen Compounds Benjamin New York, 2, 29-68.

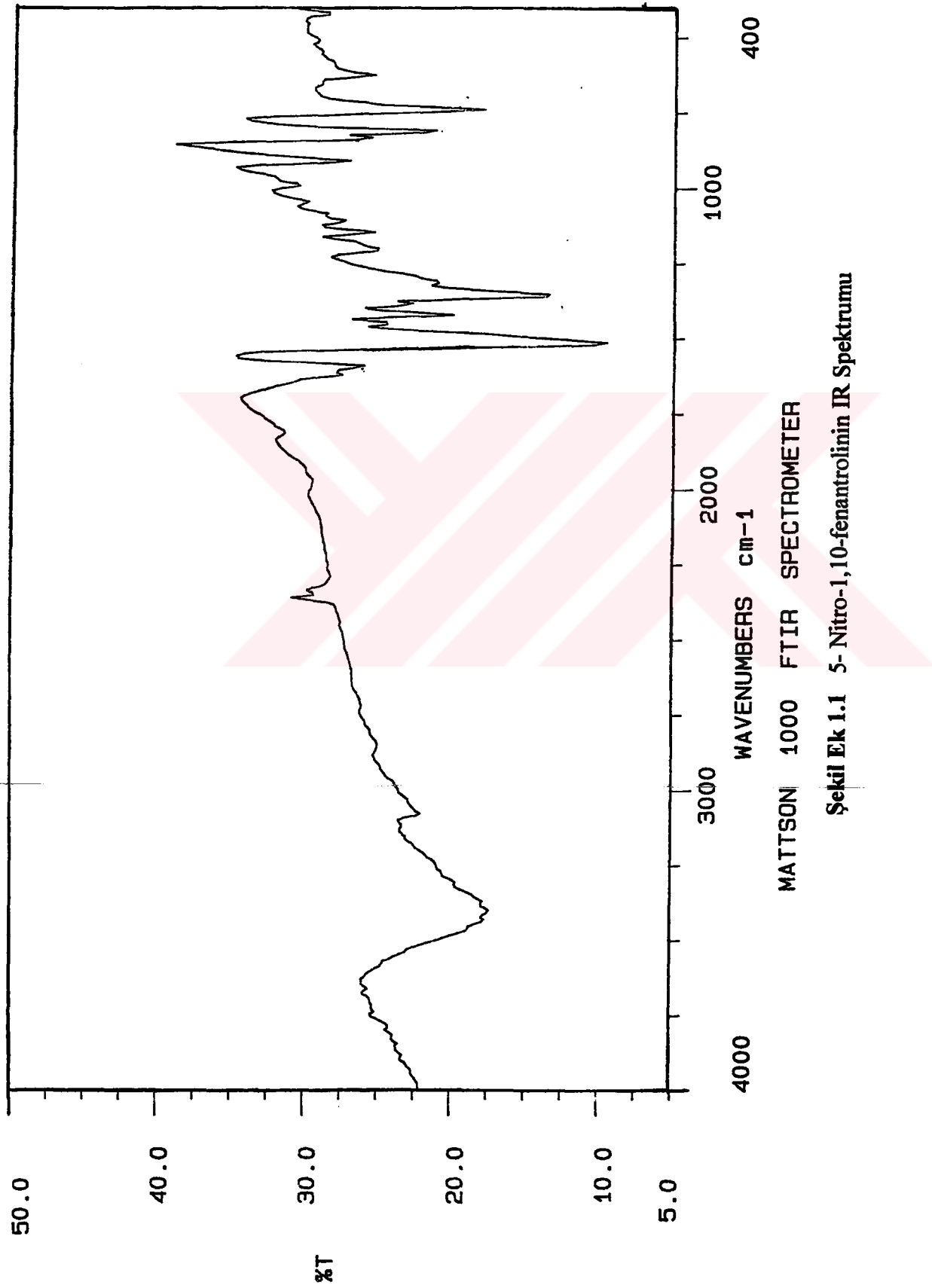
Smith, G.F. , Cagle, F.W. (1947), J. Org. Chem., 12, 781.

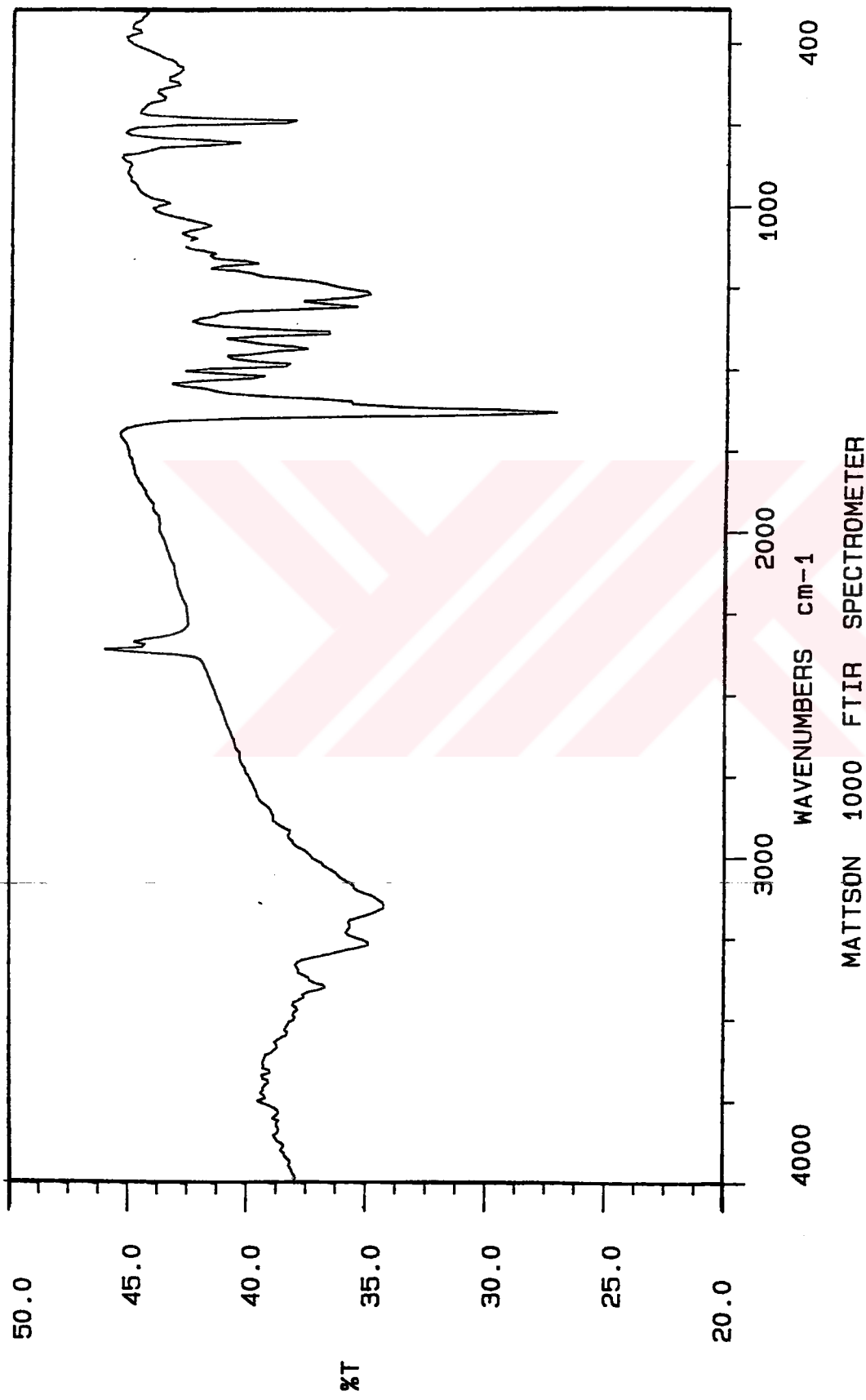
Sutherland, B.G. (1940), Trans. Faraday. Soc.,36.

Thöm, V.J. ve Hancock, T.R. (1977), "The Stability of Nickel (II)Complexes of Tetra-aza Macrocycles", J.Chem. Soc. Dalton Trans., 1877.

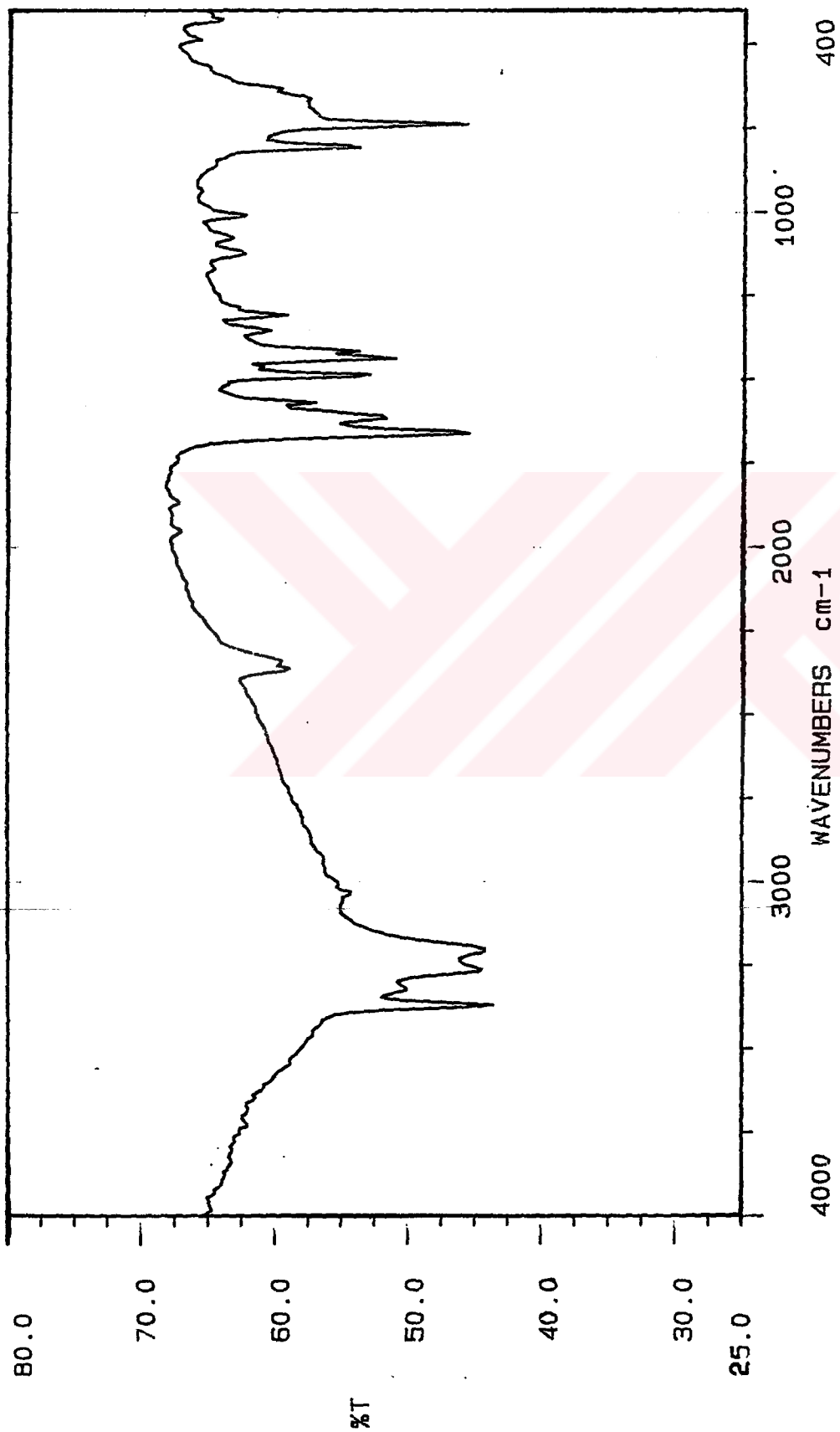
Uçan, H.İ. ve Karataş, İ. (1993), "Syntesis of Six New Substituted Aminomethyl Glyoximes and Some of Their Transition Metal Complexes Synth. React.", Inorg. Met. Org. Chem., 23(10), 1781-1791.

Wright, J.B. (1964), J.Org.Chem., 29, 1620.

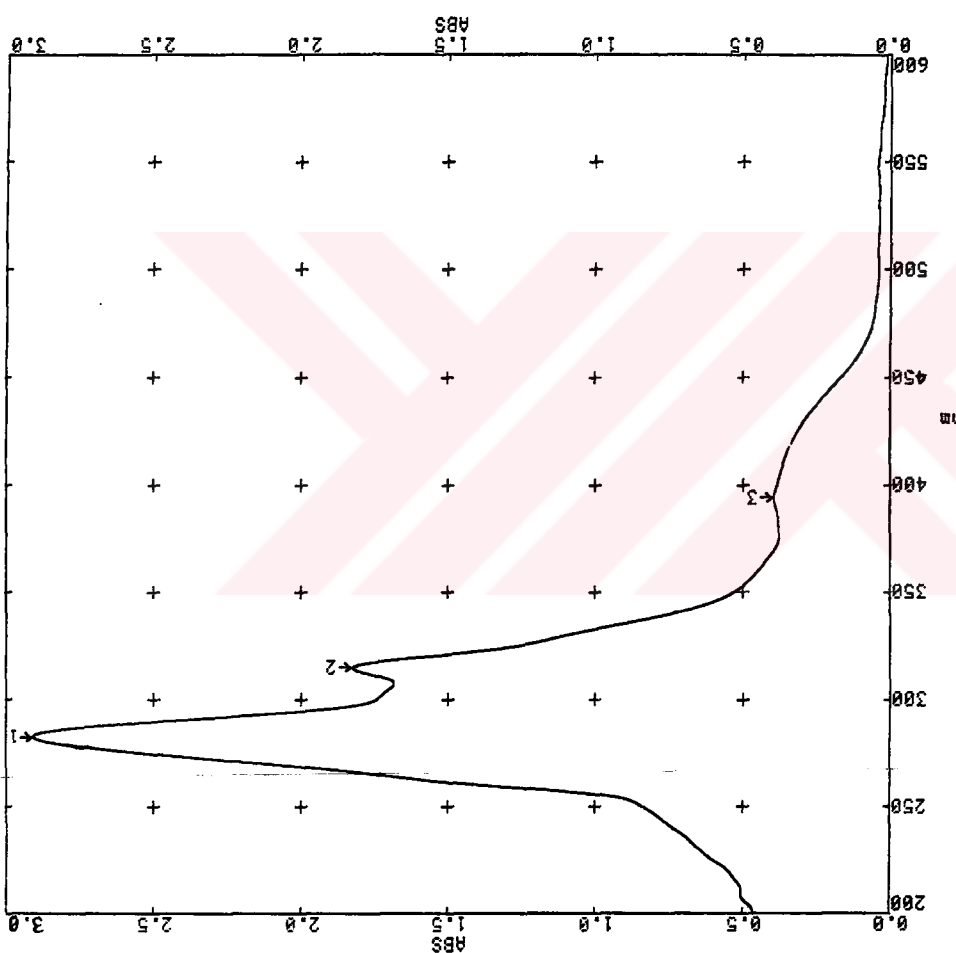
EK 1 ŞEKİLLER



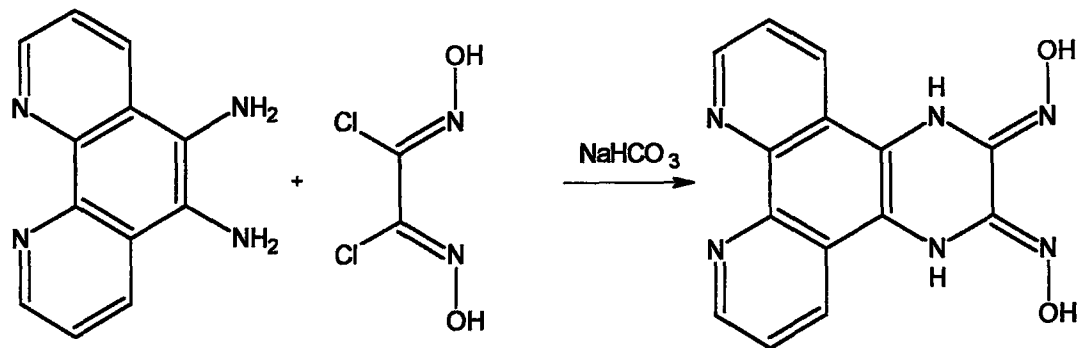
Şekil Ek 1.2 5-Nitro-6-amino-1,10-fenantrolinin IR Spektrumu



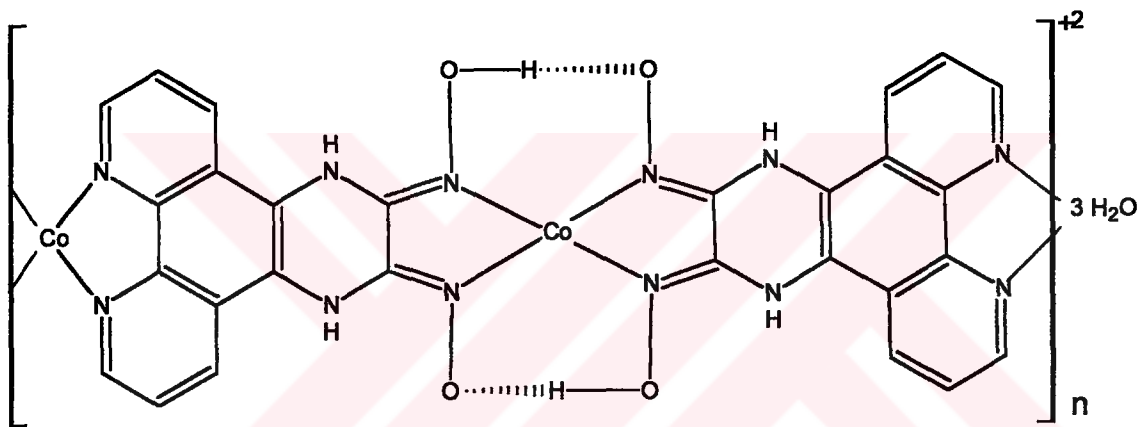
Sekil Ek 1.3 5,6-Diamino-1,10-fenantrolinin IR Spektrumu
MATTSON 1000 FTIR SPECTROMETER



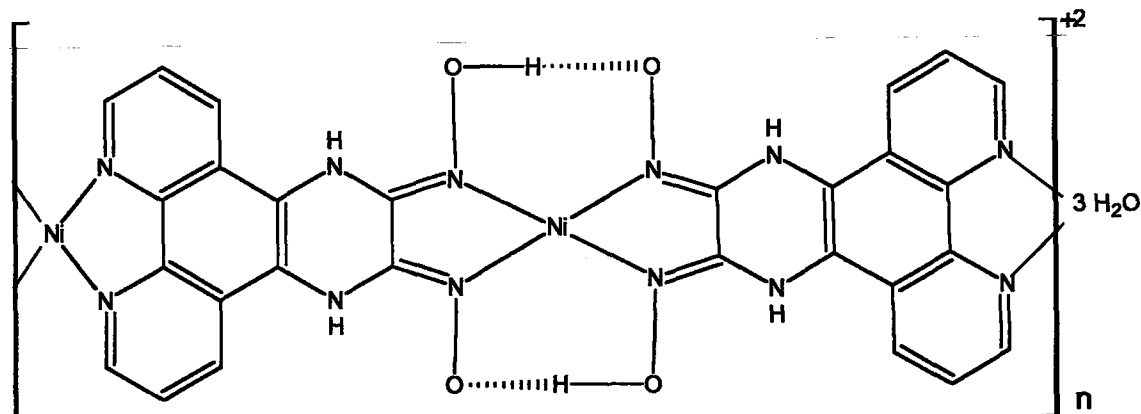
Sekil Ek 1.4 5,6-Diamino-1,10-fenantrolinin UV Spektrumu



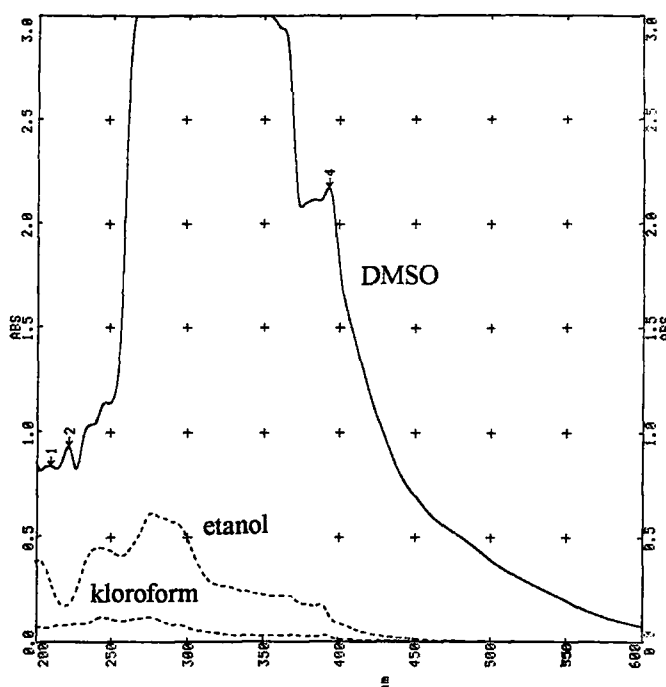
Şekil Ek 1.5 L₁ Ligandının Sentezi



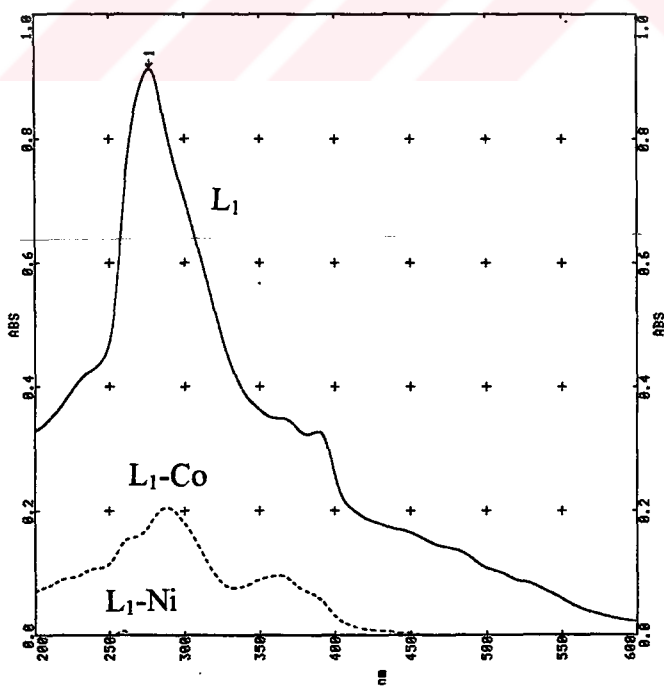
Şekil Ek 1.6 L₁-Co(II) Kompleksi



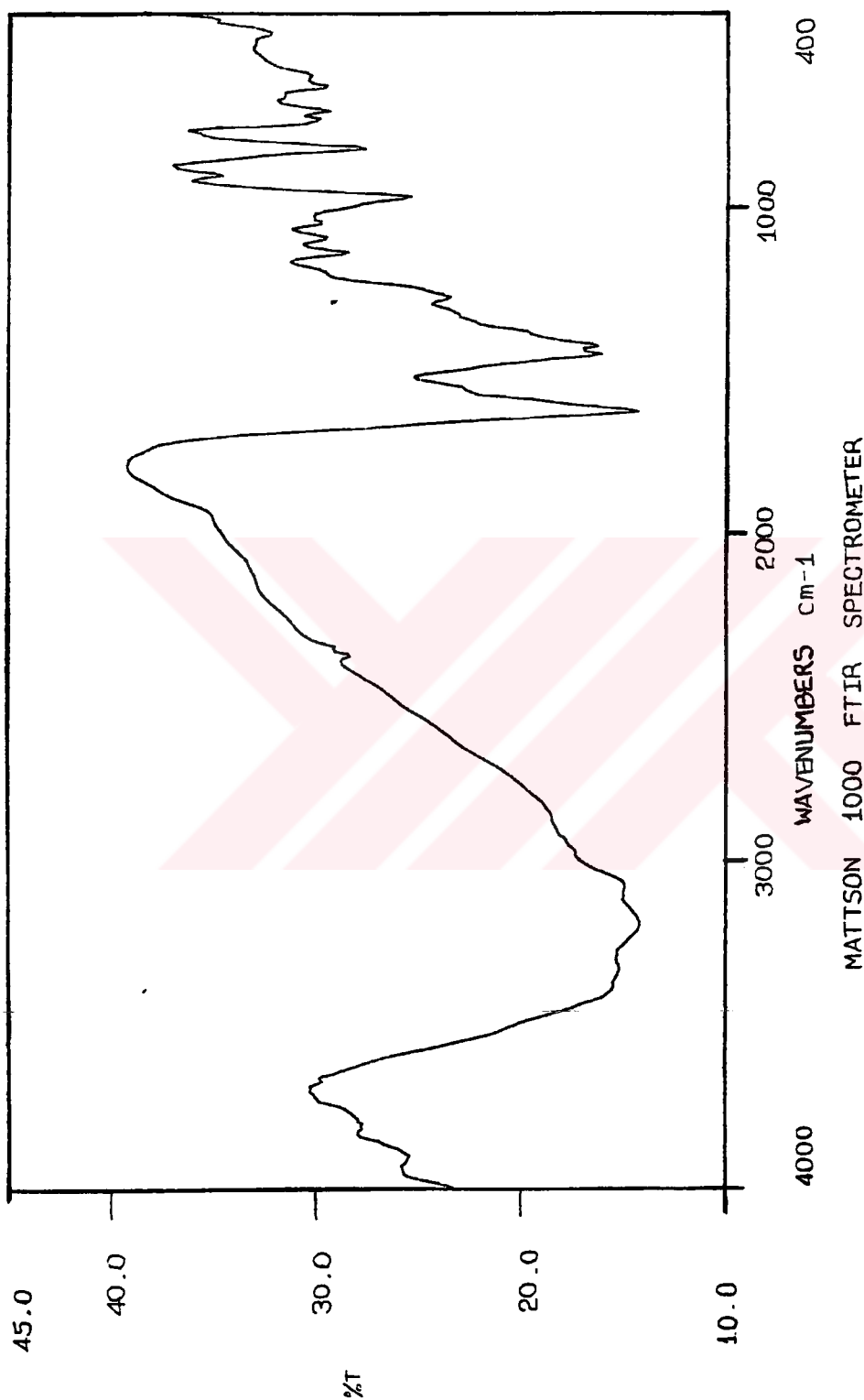
Şekil Ek 1.7 L₁-Ni(II) Kompleksi



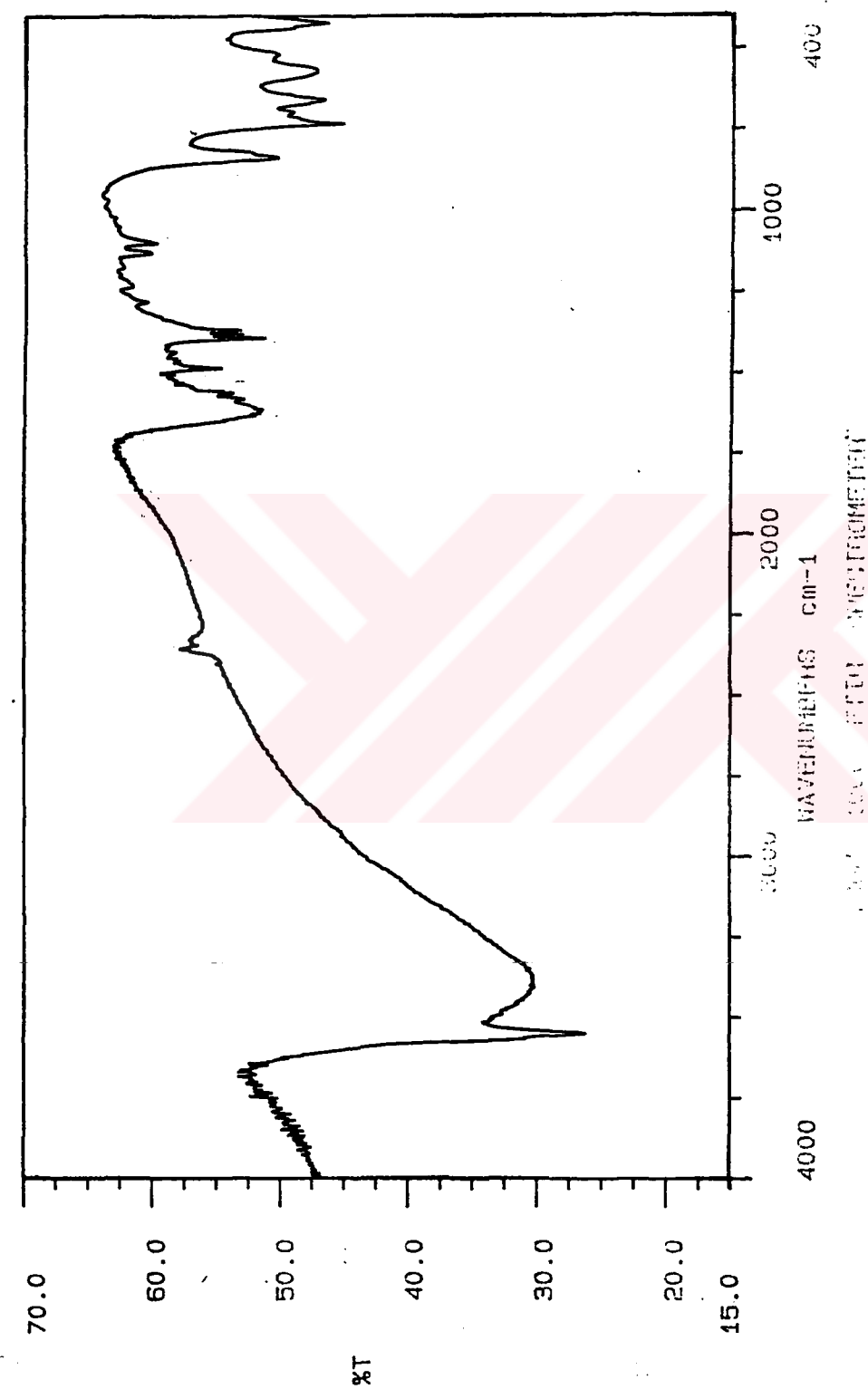
Şekil Ek 1.8 L_1 Ligandının UV Spektrumu



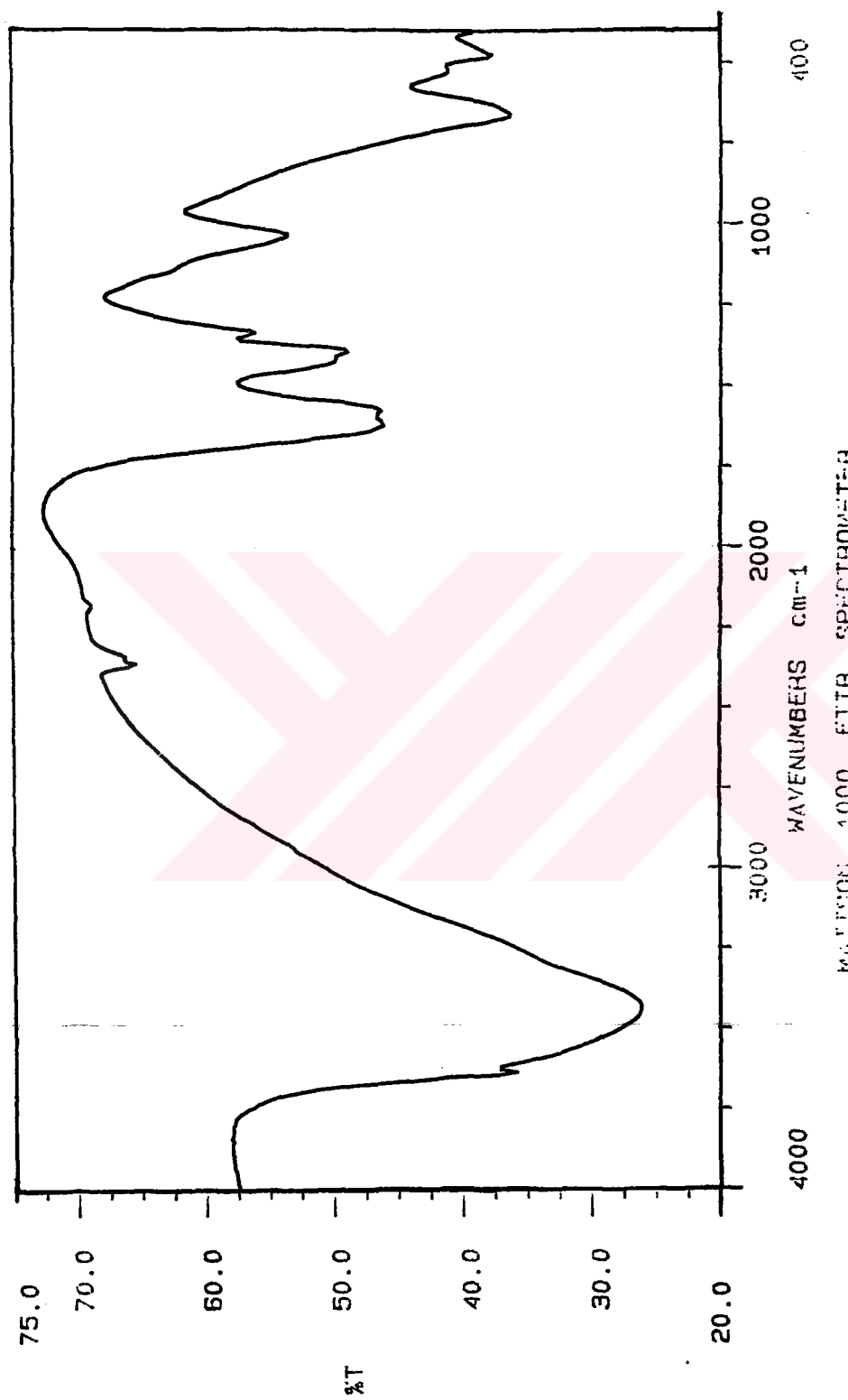
Şekil Ek 1.9 L_1 Ligandının ve $L_1\text{-Co(II)}$, $L_1\text{-Ni(II)}$ Komplekslerinin UV Spektrumu



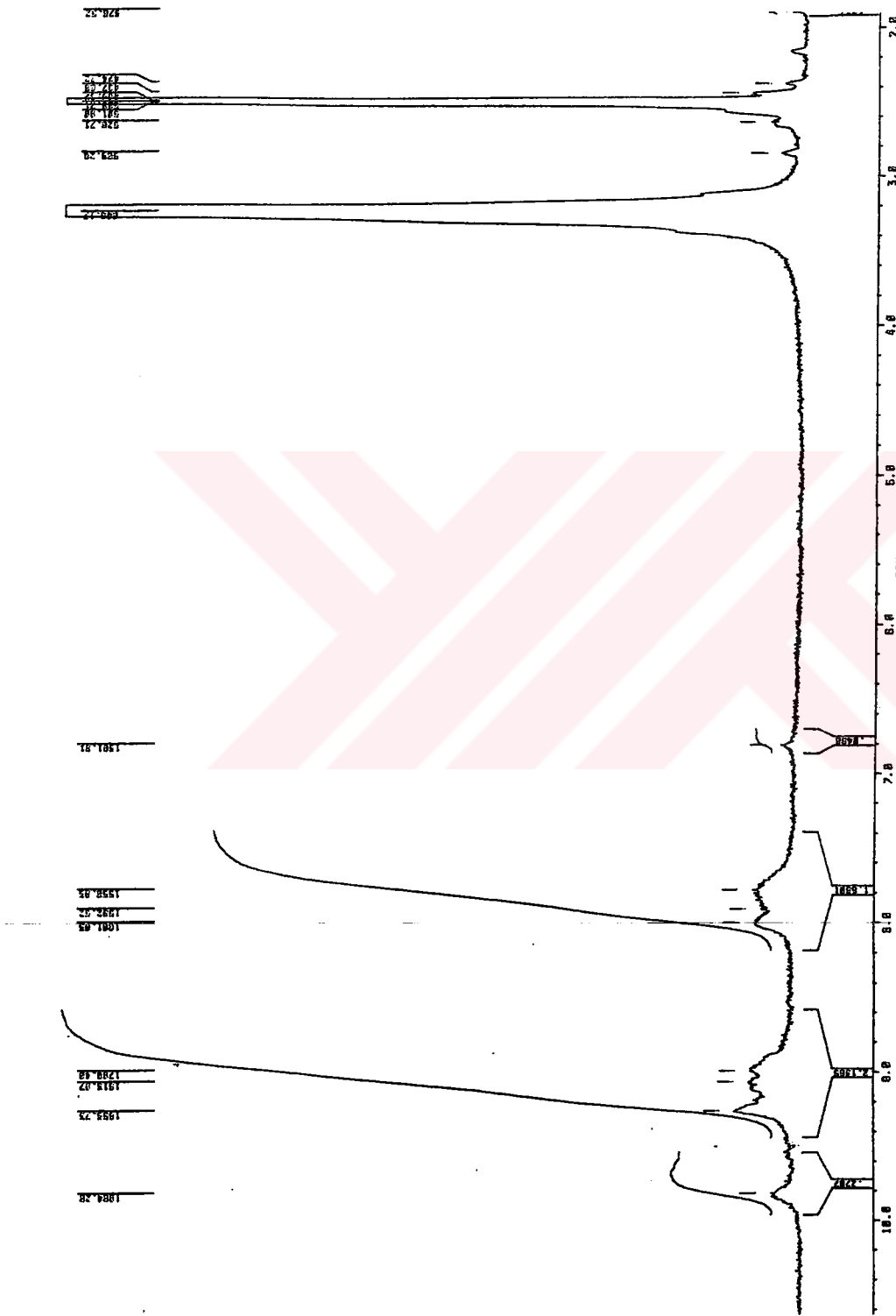
Şekil Ek 1.10 L₁ Ligandının IR Spektrumu



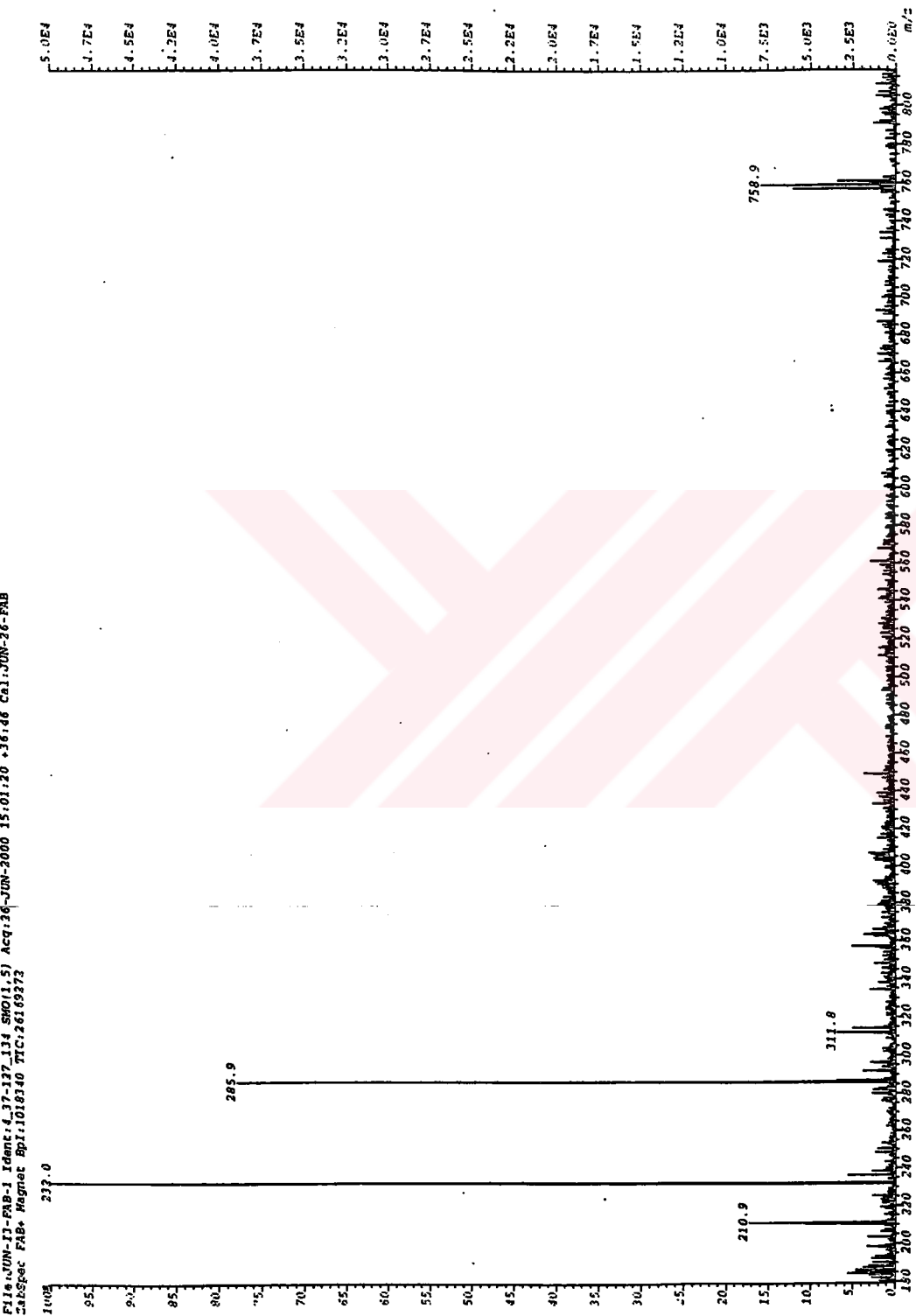
Sekil Ek 1.11 L₁-Co(II) Kompleksinin IR Spektrumu



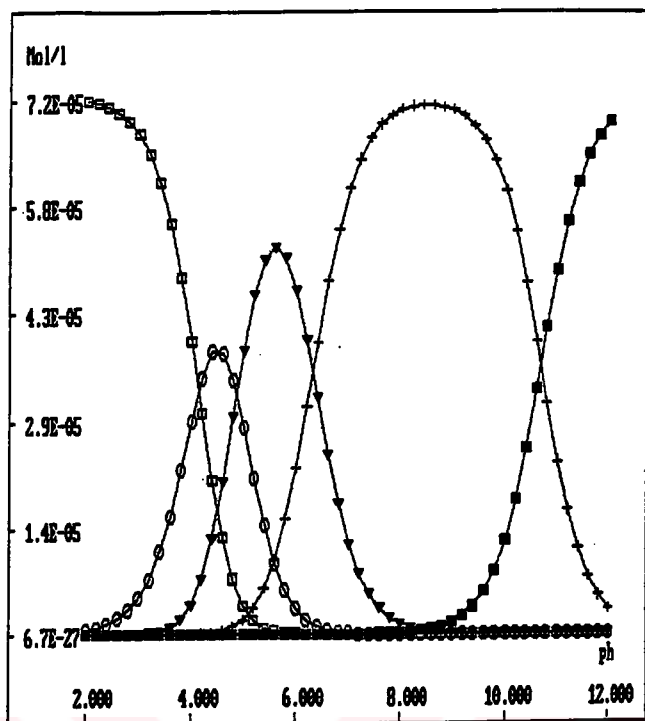
Sekil Ek 1.12 $\text{Li}-\text{Ni}(\text{II})$ Kompleksinin IR Spektrumu



Şekil Ek 1.13 L₁ Ligandının ¹H NMR Spektrumu

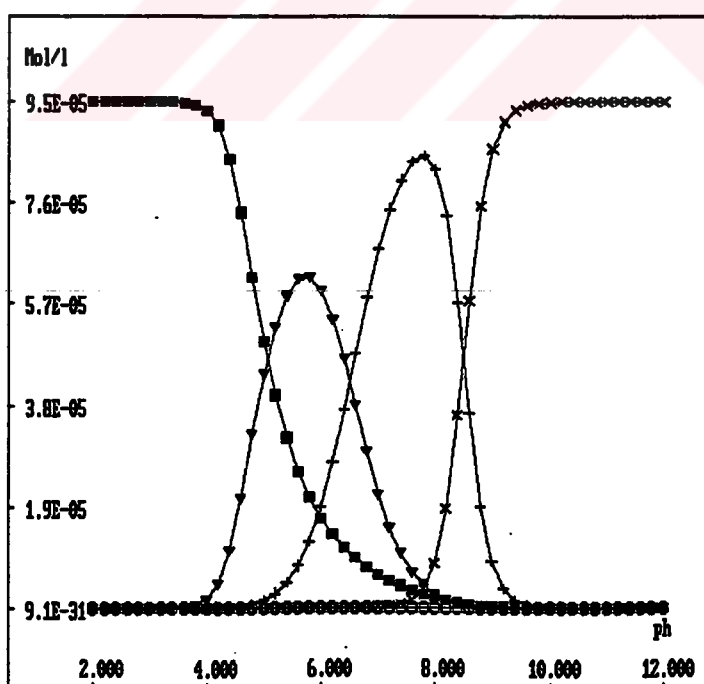


Sekil Ek 1.14 L₁-Co(II) Kompleksinin MS Spektrumu



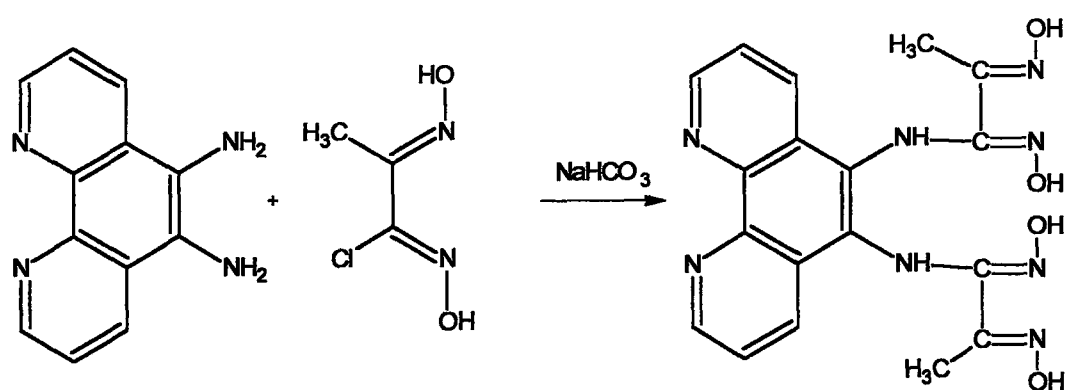
Şekil Ek 1.15 L_1 Ligandinin Dağılım Diyagramı

($\square\Box H_4L_1^{2+}$, $\circ\circ H_3L_1^+$, $\blacktriangledown\blacktriangledown H_2L_1^-$, $++ HL_1^-$, $\blacksquare\blacksquare L^{2-}$)

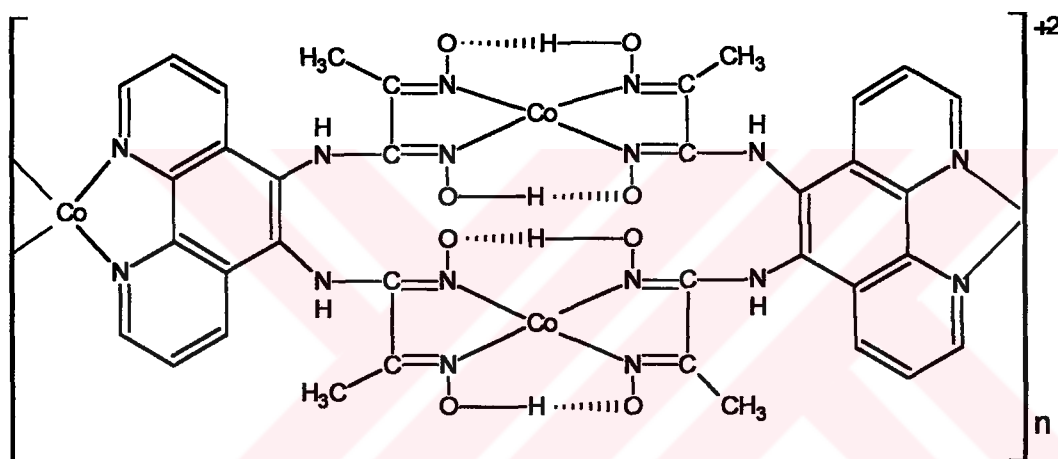


Şekil Ek 1.16 L_1 -Co(II) Kompleksinin Dağılım Diyagramı

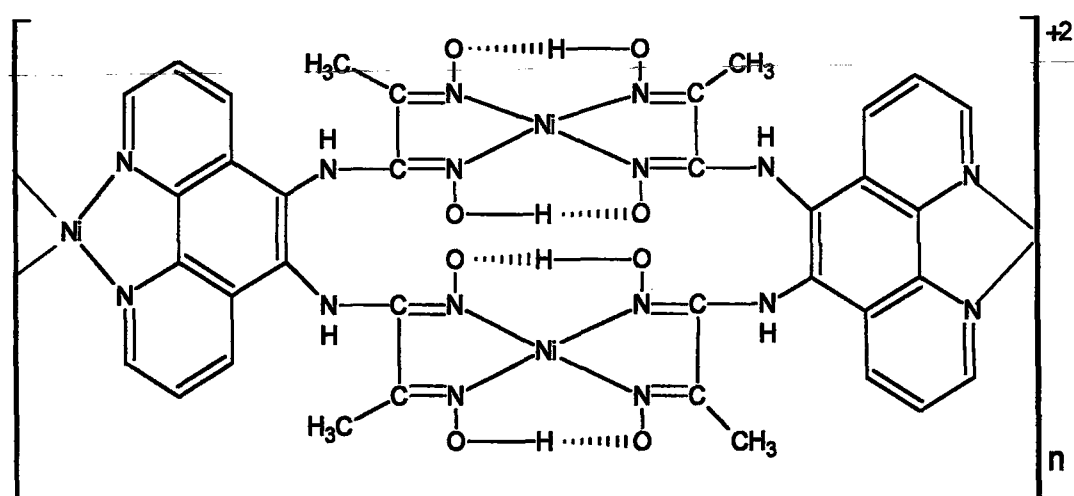
($\blacktriangledown\blacktriangledown CoLH$, $++ CoL^-$, $xx CoL(OH)_2$)



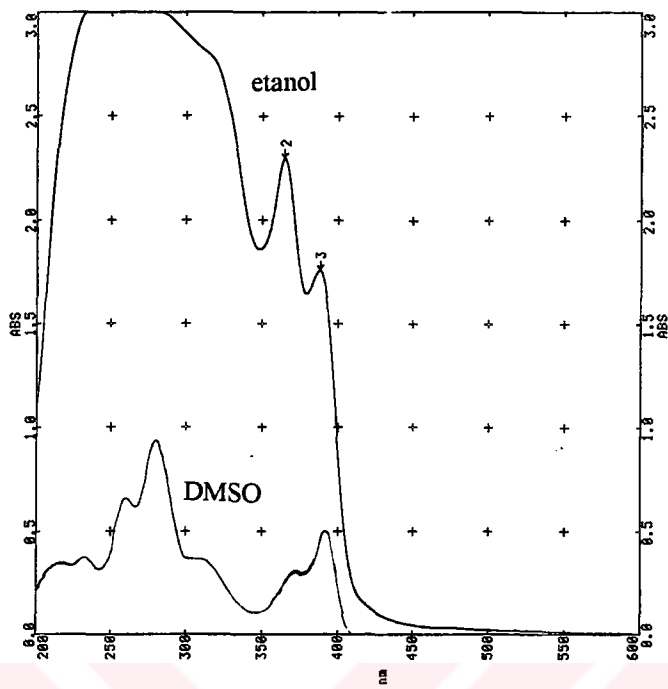
Sekil Ek 1.17 L₂ Ligandının Sentezi



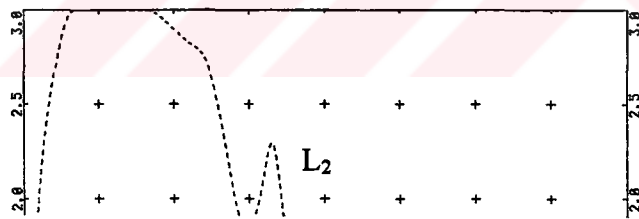
Sekil Ek 1 .18 L₂ - Co(II) Kompleksi

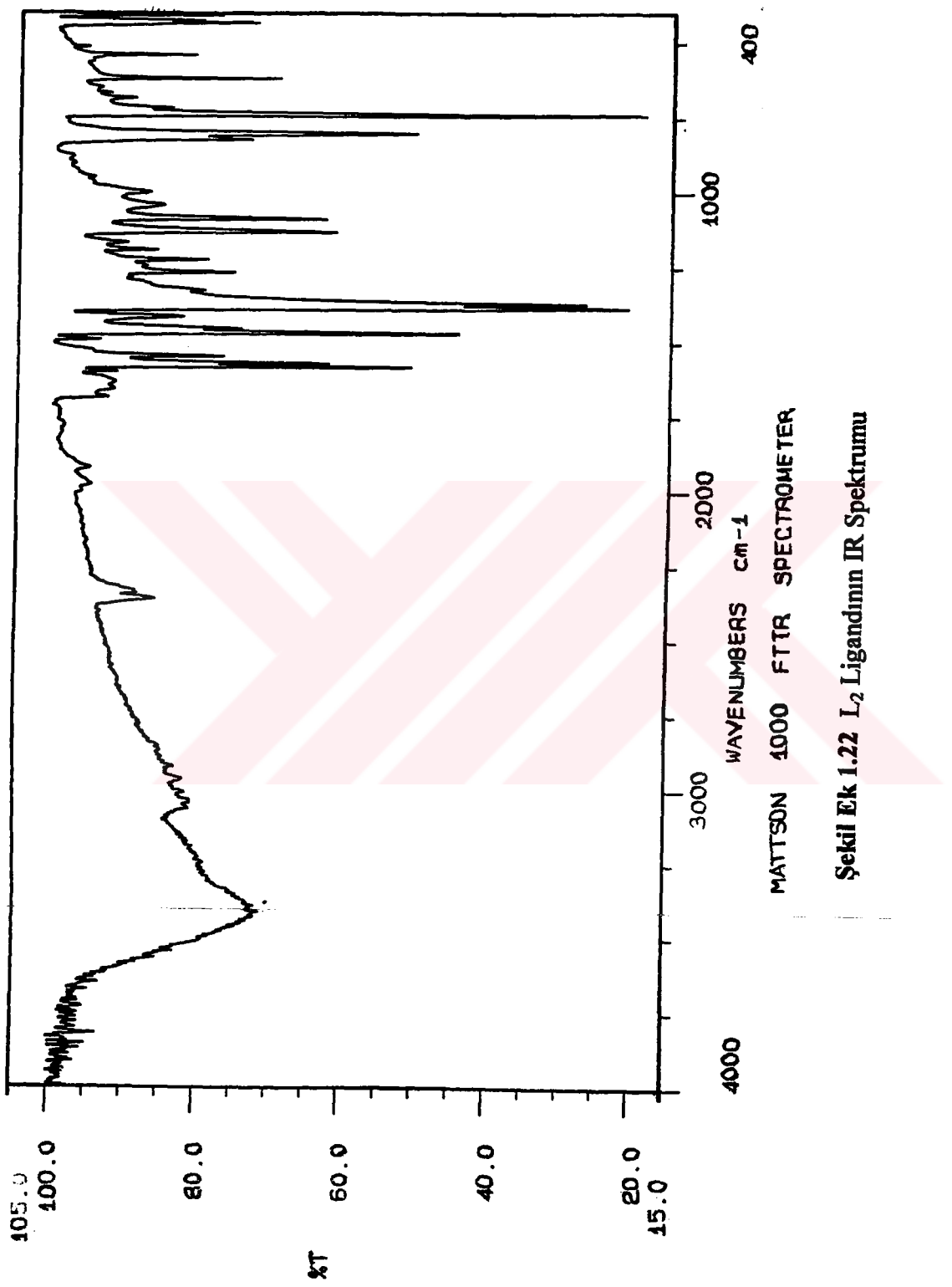


Sekil Ek 1.19 L₂ -Ni(II) Kompleksi

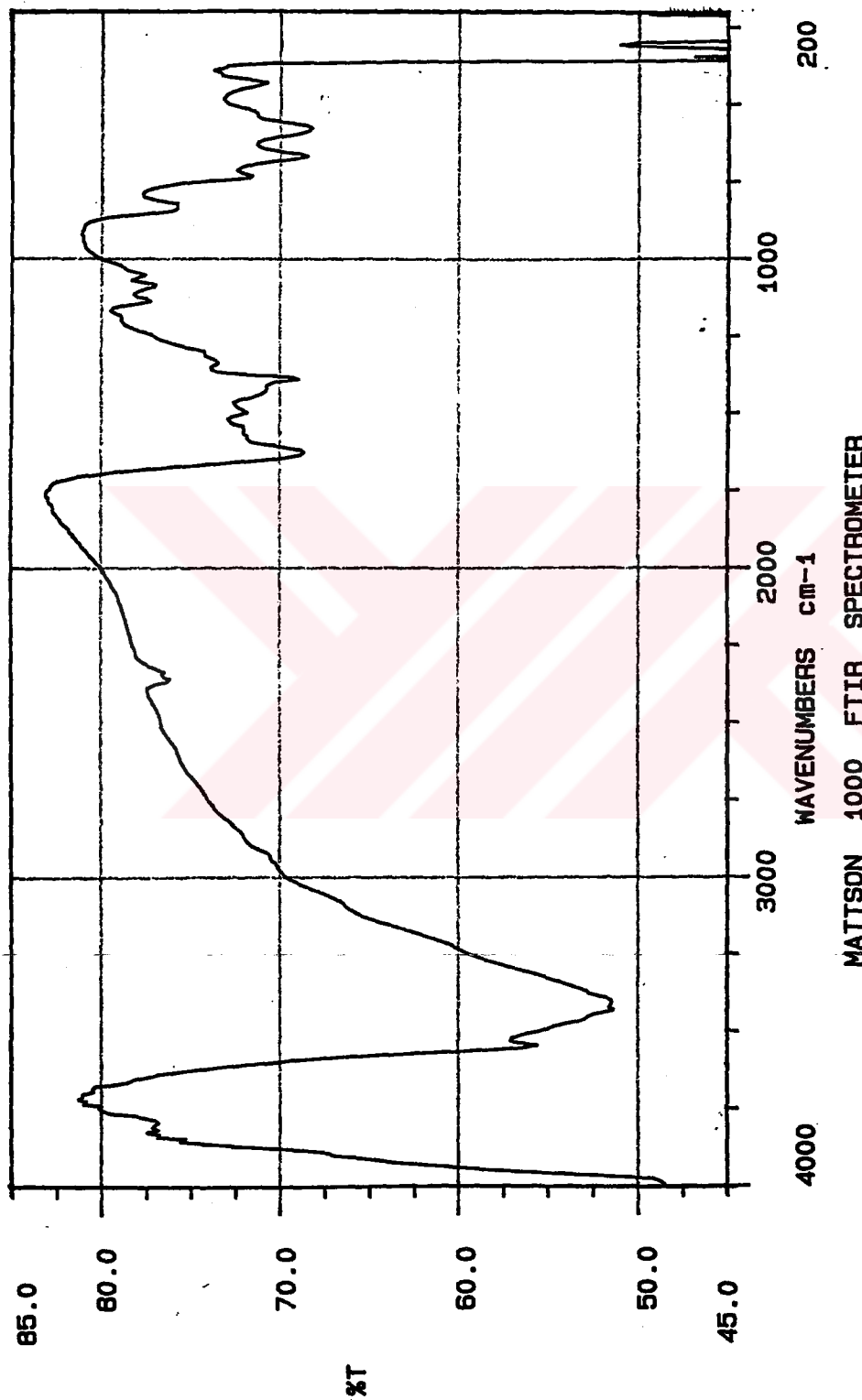


Şekil Ek 1.20 L_2 Ligandının UV Spektrumu

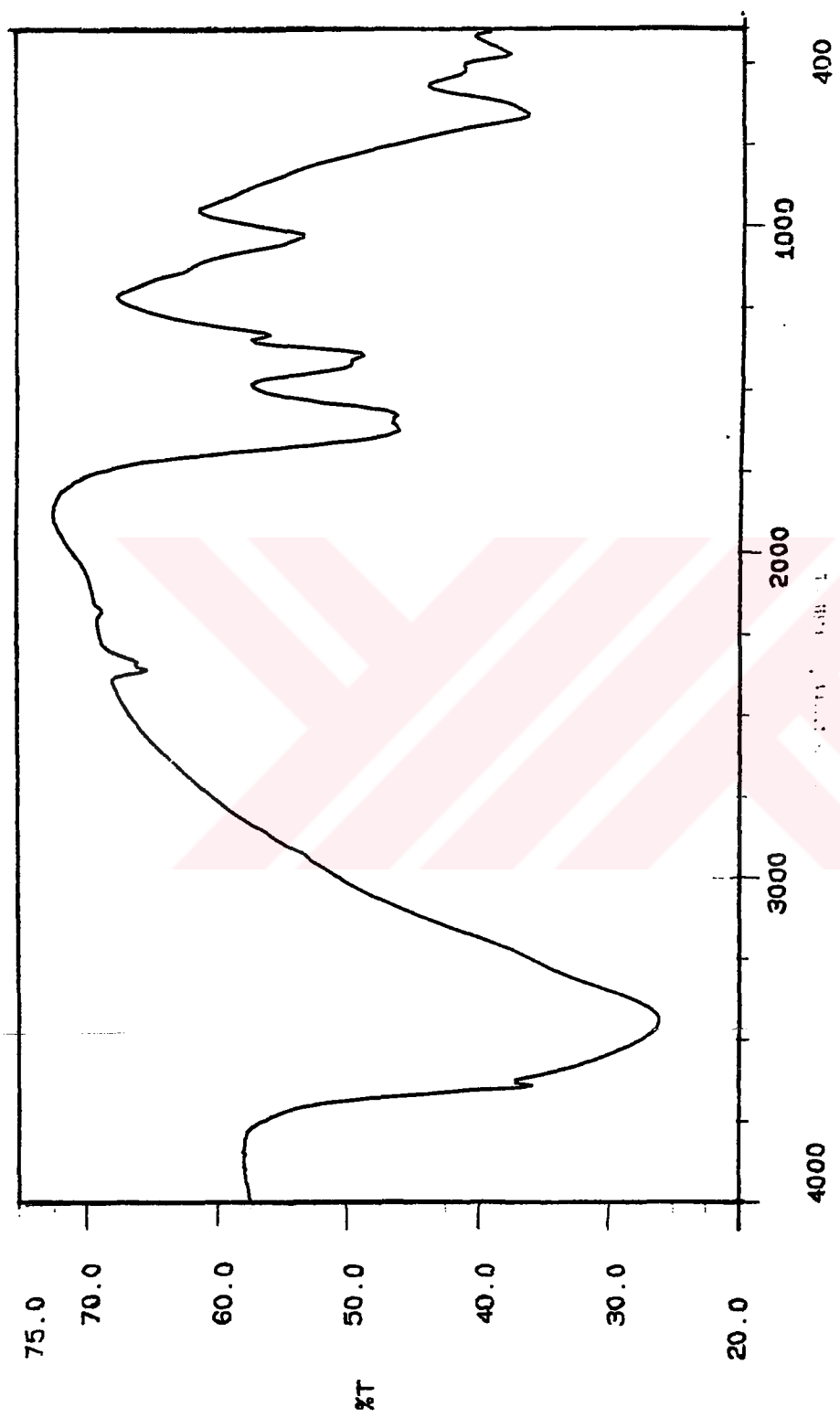




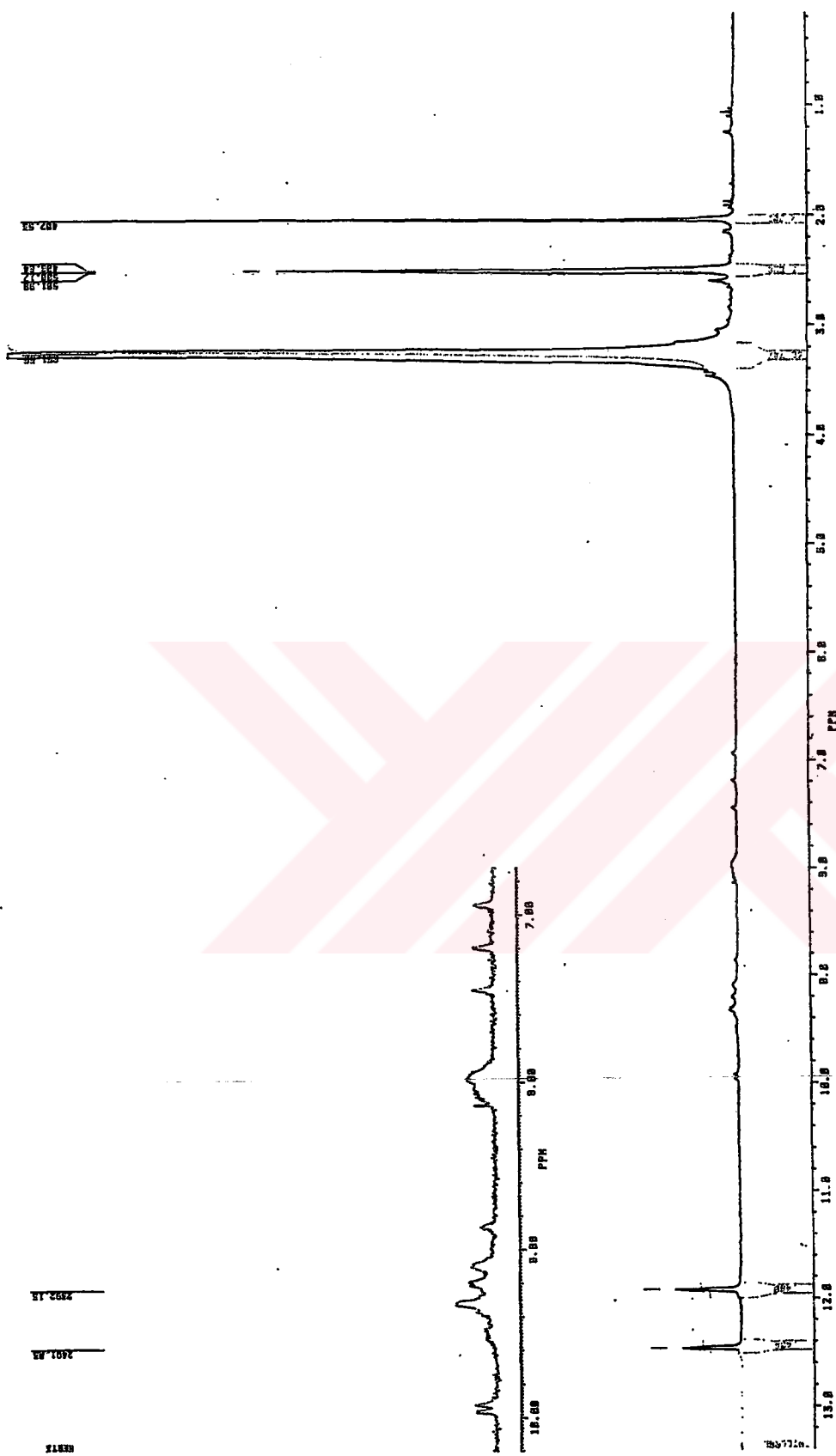
Şekil Ek 1.22 L₂ Ligandimin IR Spektrumu



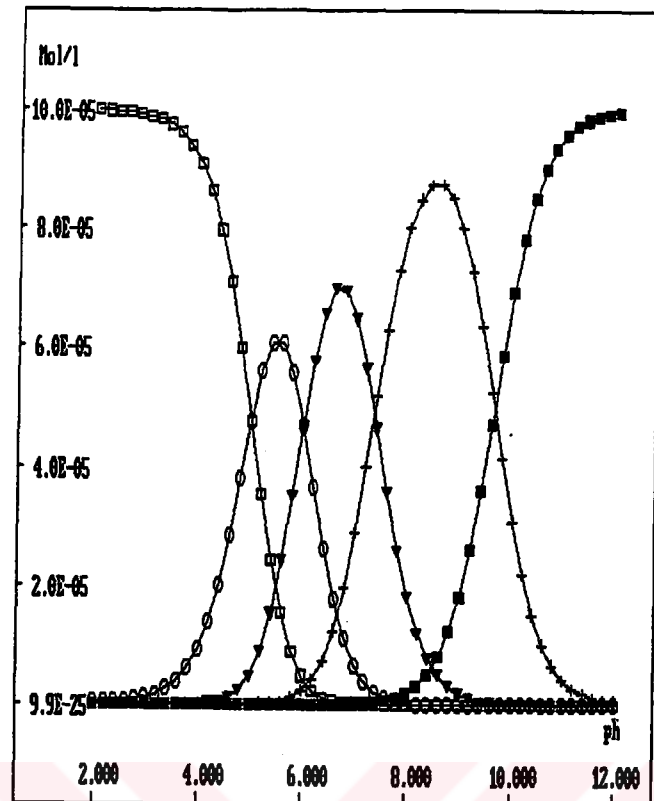
Sekil Ek 1.23 L₂-Co(II) Kompleksinin IR Spektrumu



Şekil Ek 1.24 $L_2\text{-Ni}(\text{II})$ Kompleksinin IR Spektrumu

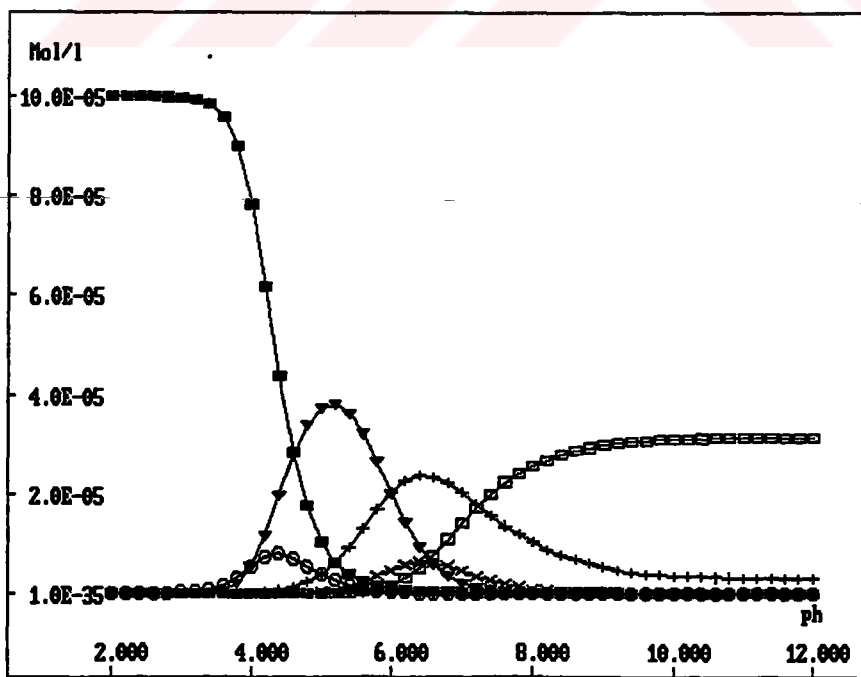


Şekil Ek 1.25 L_2 Ligandının ^1H NMR Spektrumu



Şekil Ek 1.25 L_2 Ligandinin Dağılım Diyagramı

(□□ $H_4L_2^{2+}$, ○○ $H_3L_2^+$, ▼▼ H_2L_2 , ++ HL_2^- , ■■ L^{2-})



Şekil Ek 1.26 L_2 -Co(II) Kompleksinin Dağılım Diyagramı

(++ Co_2L , ▼▼ Co_2LH , ○○ Co_2LH_2 , xx Co_3L_2)

EK 2 ÇİZELGELER

Çizelge Ek 2.1 Ligandlar ve Co(II), Ni(II) Komplekslerinin Renk, Formül ağırlığı, Verim, Erime noktaları.

Bileşikler	Renk	Formül Ağırlığı	Verim %	E.N (°C)	Elementel Analiz		
					%C	% H	%N
L ₁	Koyu-Kah.	294	48	> 350°C	58.32 Hesap. (58.00)	3.58 (3.40)	27.25 (28.50)
L ₁ -Co	“ “	758	30.18	> 350°C	-----	-----	-----
L ₁ -Ni	“ “	704	28.69	> 350°C	-----	-----	-----
L ₂	Açık kahve	410	36.4	> 350°C	53.22 Hesap. (52.60)	4.87 (4.40)	27.83 (27.0)
L ₂ -Co	“ “	-----	25.8	> 350°C	-----	-----	-----
L ₂ -Ni	“ “	-----	23.2	> 350°C	-----	-----	-----

Çizelge Ek 2.2 L₁ ve L₂ Ligandlarının DMSO-d₆'da (ppm) Alınan 1H NMR Spektrumu

	-OH	-NH	Ar-CH	-CH ₃
L ₁	9.81 (s)	9.22 (s)	7.80-8.99(m)	-
L ₂	11.90, 12.45(s)	9.2 (s)	7.9-9.1(m)	2.20(s)

Çizelge Ek 2.3 Ligand ve Komplekslerin Karakteristik IR Bantları (λ : cm⁻¹) (KBr Tablet).

Bileşik	OH	N-H	C=N	N-O	OH.....H	C-H Arom.
L ₁	3200	3400	1625	961	-----	3040
L ₂	3452	-----	1651	1010	-----	3030
L ₁ -Co	-----	3640	1651	1100	1421	-----
L ₁ -Ni	-----	3650	1630	1038	1421	-----
L ₂ -Co	-----	3560	1651	1110	1422	-----
L ₂ -Ni	-----	3650	1630	1038	1421	-----

Çizelge Ek 2.4 L₁ ligandının ve Co(II), Ni(II) komplekslerinin DMSO'da, L₂ ligandının ve Co(II), Ni(II) komplekslerinin etanolde UV-Vis elektronik geçiş değerleri (λ : nm).

L ₁	267.8 $\pi - \pi^*$	-----	-----	392.5 yük-trans.
L ₁ -Co(II)	288.8 $\pi - \pi^*$	-----	-----	363.2 yük-trans.
L ₁ -Ni(II)	258.8 (düşük abs.)	-----	-----	-----
L ₂	236.1 $\pi - \pi^*$	365.2 n- π^*	-----	387.9 yük-trans.
L ₂ -Co(II)	212.4 $\pi - \pi^*$	277.6 n- π^*	364.8 n- π^*	383.9 yük-trans.
L ₂ -Ni(II)	219.6 $\pi - \pi^*$	274.9 n- π^*	-----	388.0 yük-trans.

Çizelge Ek 2.5 Sentezlenen Komplekslerin Magnetik Süssebtibilitelerine ait değerler

Bileşik	m	1	Rm	Rb	Ro	M _A	μ Den	μ Teo	n
L ₁ Ni	0.02	0.4	771	-52	868	758	5.55	5.65	4
L ₁ Co	0.0485	1.5	1533	-32	914	758	7.8	7.74	6

Çizelge Ek 2.6 L₁ ligandına Ait Stabilite Sabiti Değerleri.

Metal iyon	Species	log β	σ(standart sapma)
H ⁺	HL ⁻	10.67	0.05
	H ₂ L	16.98	0.08
	H ₃ L ⁺	21.85	0.02
	H ₄ L ²⁺	26.00	0.05

Çizelge Ek 2.7 L₁-Co Kompleksine Ait Stabilite Sabitlerinin Değerleri

Metal iyon	Species	log β	σ(standart sapma)
Co ²⁺	ML	9.99	0.08
	MLH	16.32	0.02
	ML(OH) ₂	-5.00	0.05

Çizelge Ek 2.8 L₁-Ni Kompleksine Ait Stabilite Sabitlerinin Değerleri

Metal iyon	Species	log β	σ(standart sapma)
Ni ²⁺	ML	10.28	0.05
	MLH	17.20	0.08
	ML(OH) ₂	-2.75	0.05

Çizelge Ek 2.9 L₂ ligandına Ait Stabilite Sabiti Değerleri.

Metal iyon	Species	$\log \beta$	σ (standart sapma)
H^+	HL^-	9.64	0.05
	H_2L	17	0.08
	H_3L^+	23	0.02
	H_4L^{2+}	28	0.05

Çizelge Ek 2.10 L₂-Co Kompleksine Ait Stabilite Sabitlerinin Değerleri

Metal iyon	Species	$\log \beta$	σ (standart sapma)
Co^{2+}	M_2L	17	0.016
	M_2LH	23	0.016
	M_2LH_2	27	0.016
	M_3L_2	31.5	0,016

Çizelge Ek 2.11 L₂-Ni Kompleksine Ait Stabilite Sabitlerinin Değerleri

Metal iyon	Species	$\log \beta$	σ (standart sapma)
Ni^{2+}	M_2L	17.5	0.019
	M_2LH	24.2	0.019
	M_2LH_2	27.5	0.019
	M_3L_2	32	0.019

ÖZGEÇMİŞ

Doğum tarihi	18.06.1975	
Doğum yeri	İstanbul	
Lise	1990-1993	Bağcılar Lisesi
Lisans	1993-1997	19 Mayıs Üniversitesi Fen-Edb.Fak. Kimya Bölümü
Yüksek lisans	1998-2001	Yıldız Teknik Üniversitesi Fen Bilimleri Enstitüsü Kimya Anabilim Dalı

Çalıştığı Kurum

1999-devam ediyor Yıldız Teknik Üniversitesi Fen Bilimleri
Enstitüsü Araştırma Görevlisi